

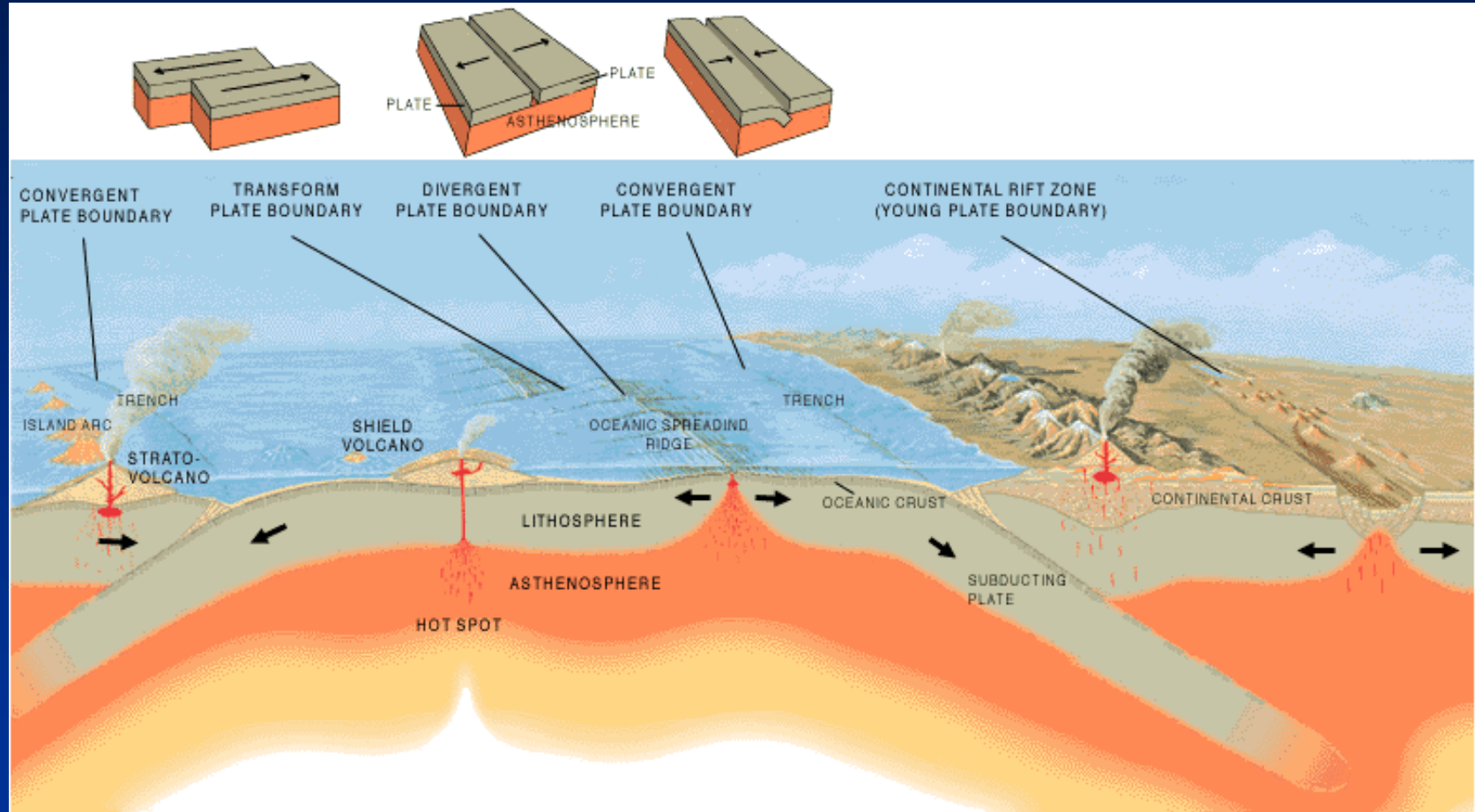
# **Associazioni di strutture tettoniche**

**Dalla scala  
dell'affioramento alla scala  
regionale**

Immagini e fotografie tratte da:

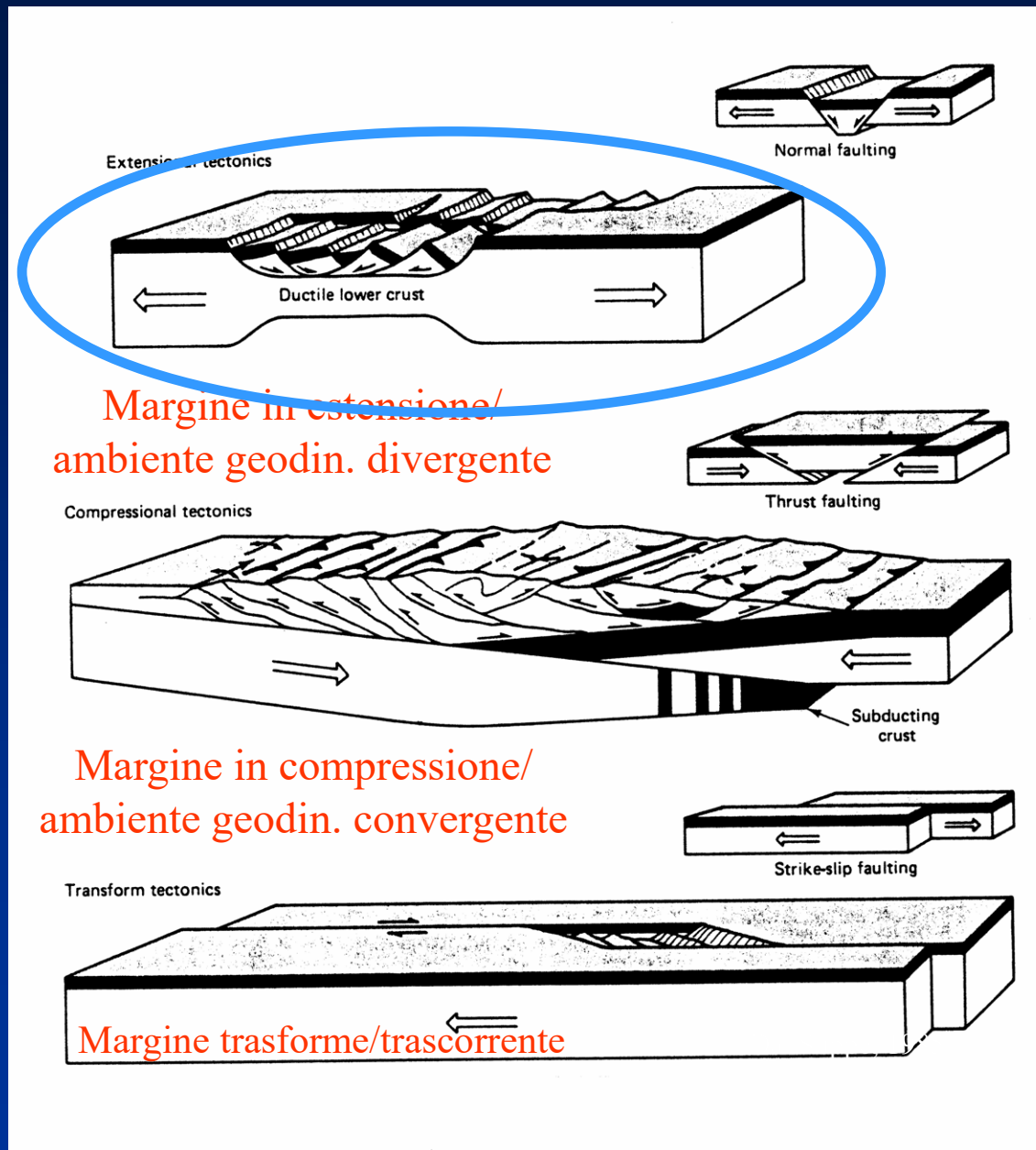
- Bally A.W., Catalano R., Oldow J.S., 1985. Elementi di tettonica regionale. Pitagora Editore.
- Buchanan P.G., McClay K.R., 1991. Sandbox experiments of inverted listric and planar fault systems. *Tectonophysics*, 188, 97-115.
- Chorowitz J., 2005. The East African rift system. *Journal of African Earth Sciences*, 43, 379–410.
- Dijkshoorn L, Clauser C., 2013. Relative importance of different physical processes on upper crustal specific heat flow in the Eifel-Maas region, Central Europe and ramifications for the production of geothermal energy. *Scientific Research*, 5, Article ID:28354.
- Guinot D., Segonzac M., 2018. A review of the brachyuran deep-sea vent community of the western Pacific, with two new species of Austinograea Hessler & Martin, 1989 (Crustacea, Decapoda, Brachyura, Bythograeidae) from the Lau and North Fiji Back-Arc Basins. *Zoosystema*, 40, 75-107.
- Hatcher R.D., 1995. Structural Geology: Principles Concepts and Problems. Prentice Hall International.
- Kuebler, S. 2013. Active Tectonics of the Lower Rhine Graben (NW Central Europe): Based on New Paleoseismological Constraints and Implications for Rupture Processes in Unconsolidated Gravels. PhD thesis, LMU Munich.
- Mantovani, E., Albarello, D., Babbucci, D., Tamburelli, C., Viti, M., 2002. Trench-Arc-BackArc systems in the Mediterranean area: examples of extrusion tectonics. *Journal of Virtual Explorer*, 8, 125–141.
- Mège D. et al., 2015. A major dyke swarm in the Ogaden region south of Afar and the early evolution of the Afar triple junction. In: Magmatic Rifting and Active Volcanism. Chapter: 7. Geological Society, London, Special Publications, 420.
- Mercier J., Vergely P., 1996. Tettonica. Pitagora Editore.
- Nicolas A., 1984. Principes de tectonique. Masson.
- Pini, materiale inedito.
- Ramsay J. G., Huber M. I., 1987. The Techniques of Modern Structural Geology. Volume 2: Folds and Fractures. Academic Press Inc.
- Stein S. et al., 2015. Challenges in assessing seismic hazard in intraplate Europe. In: Geological Society, London, Special Publications, 432.
- Suppe J., 1985. Principles of Structural Geology. Prentice-Hall Inc.
- van der Pluijm B., Marshak S., 2004. Earth Structure: An Introduction to Structural Geology and Tectonics, Second Edition. WW Norton & Company.

# Tipo di margini di placca e ambienti geodinamici



<http://factsanddetails.com/world/cat51/sub323/item2212.html>

# Tipo di margini di placca e ambienti geodinamici



Da Suppe, 1985

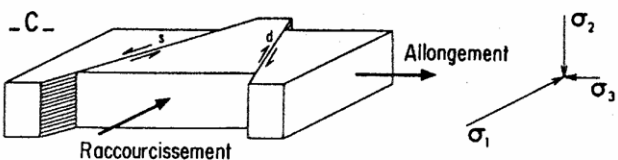
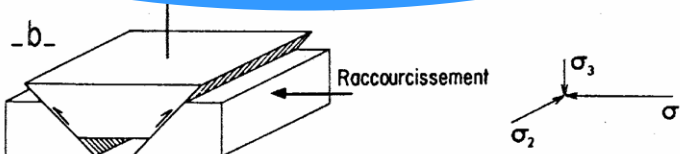
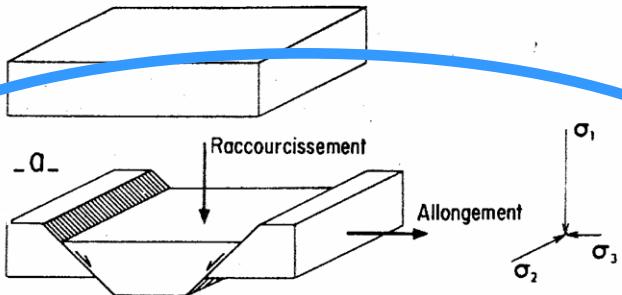
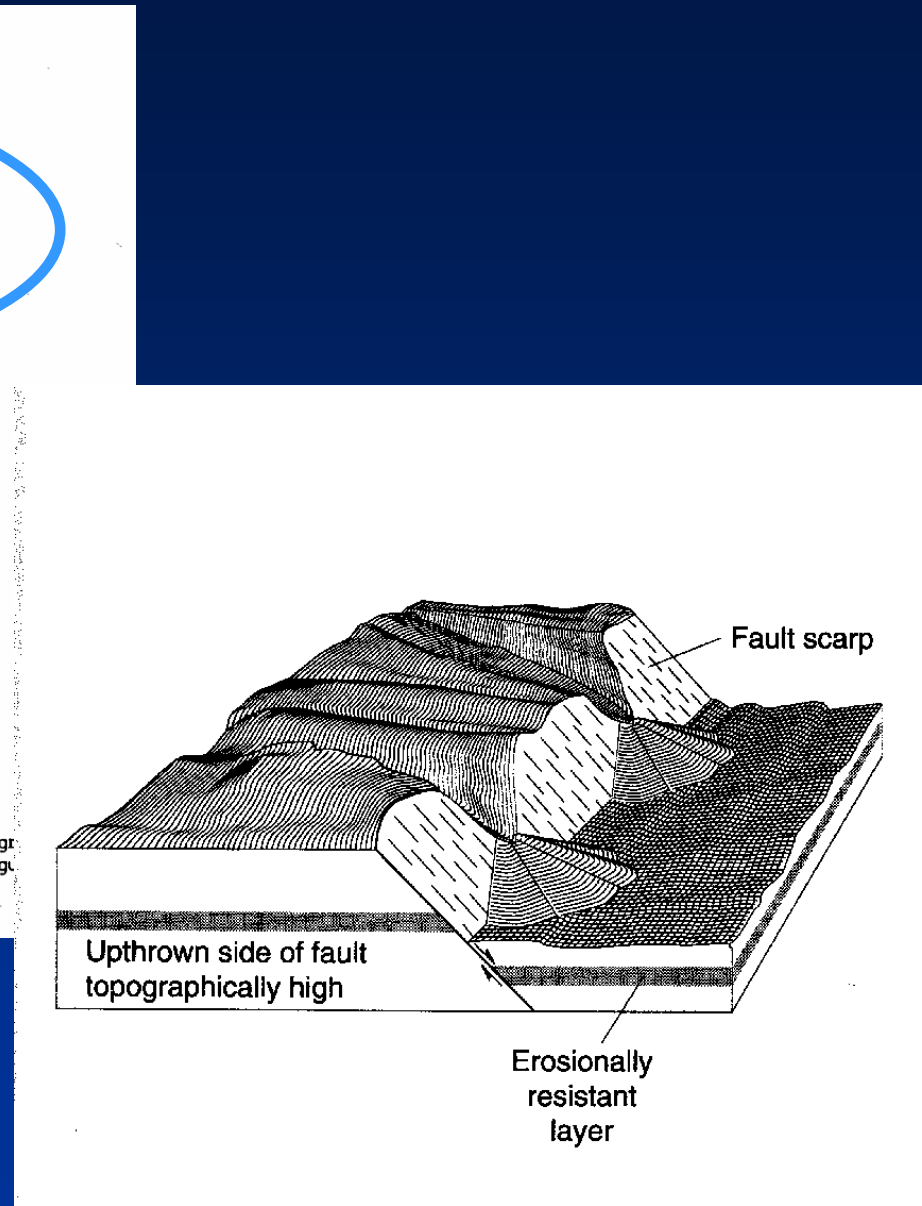


Fig. 5.12 - Systèmes de failles conjuguées. a- Failles normales conjuguées, gr. Feilles inverses conjuguées, horst. c- Décrochements dextre et senestre conjugué. ( Blès et Feuge, 1981. BRGM éd., Orléans).

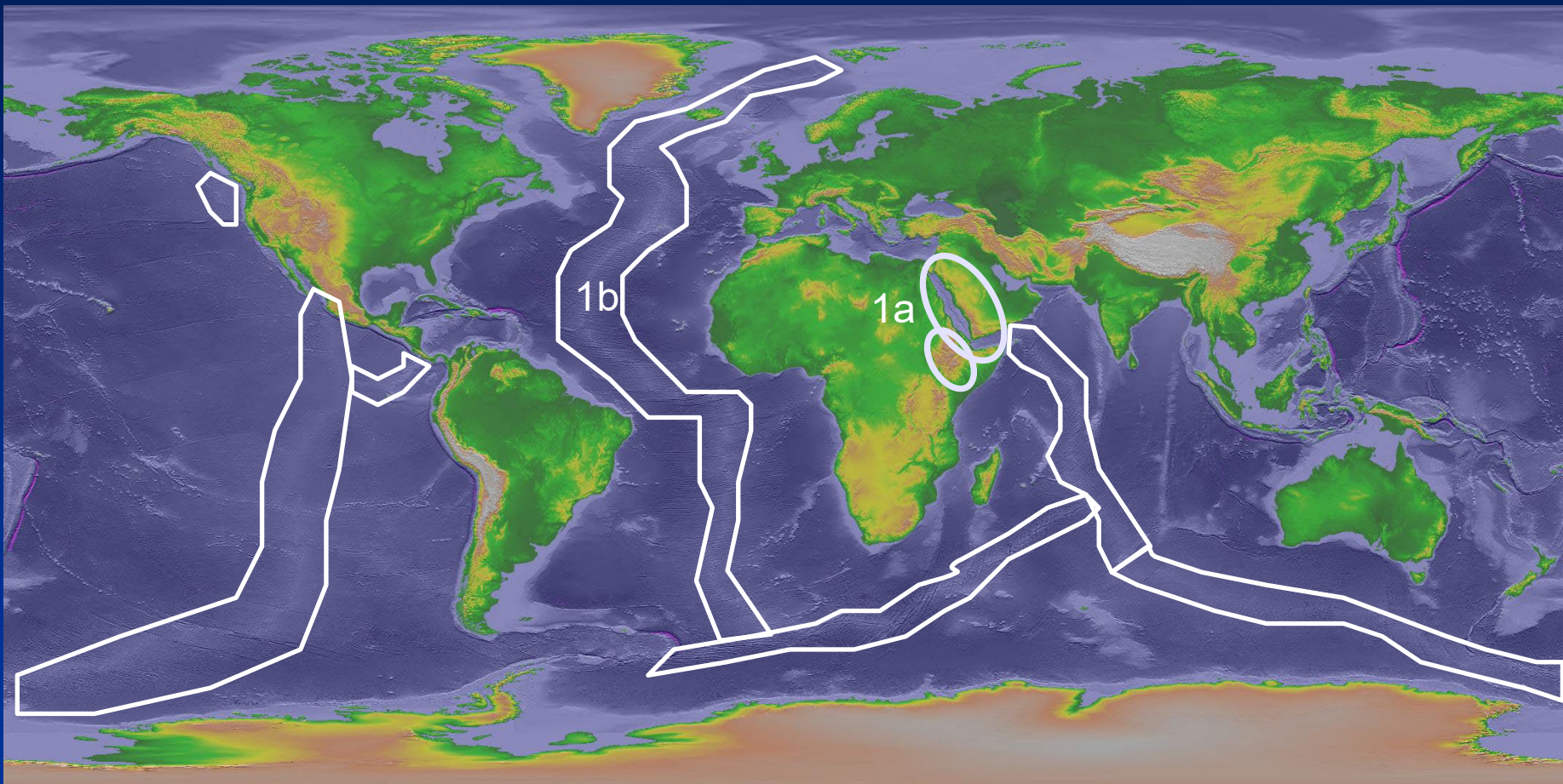
Da Nicolas, 1984



Da Hatcher, 1995

# Associazioni di faglie normali

## 1) associazioni estensionali in ambienti geodinamici divergenti

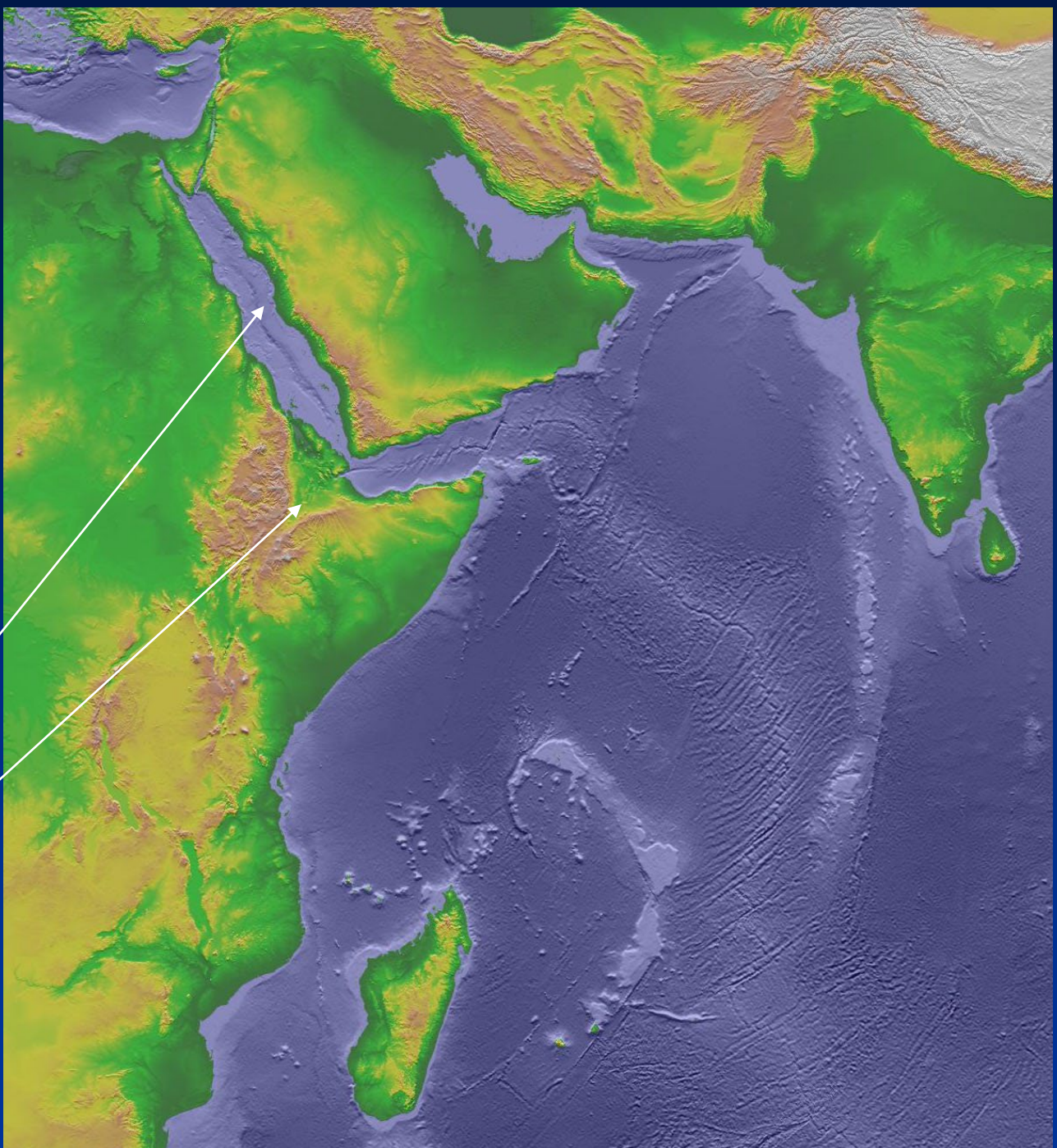


Shaded reliefs e batimetria da NOAA National Centers for Environmental Information (NCEI)

1a) estensione e  
assottigliamento  
di crosta  
continentale che  
porta a crosta  
oceànica (*from  
rift to drift*)

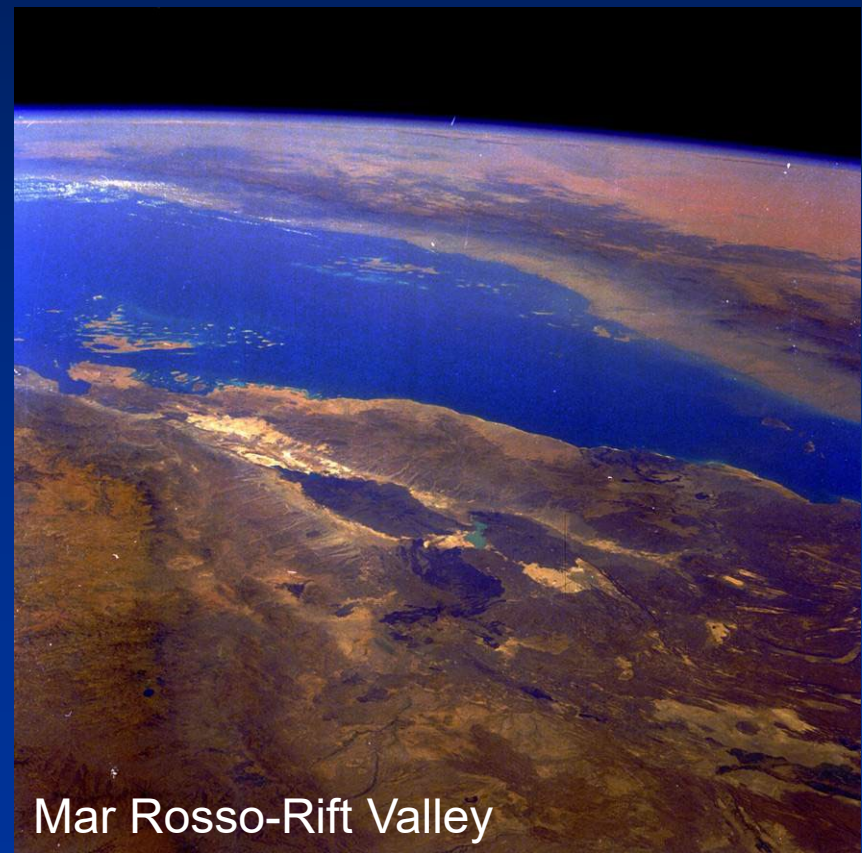
Mar Rosso

Afar, Etiopia, valle del Rift

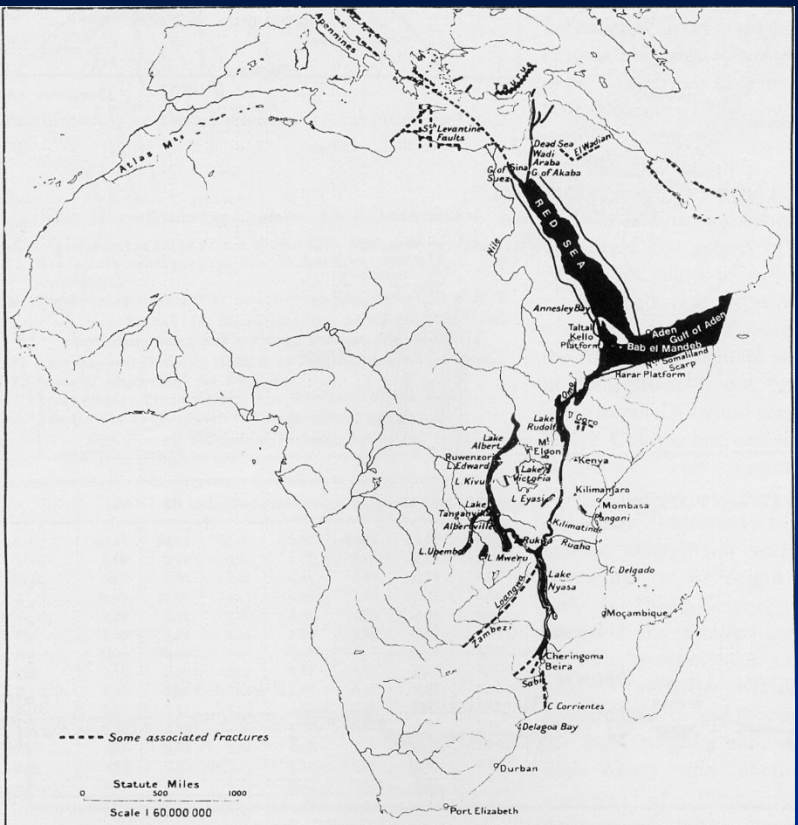


# Associazioni estensionali, ambienti geodinamici divergenti

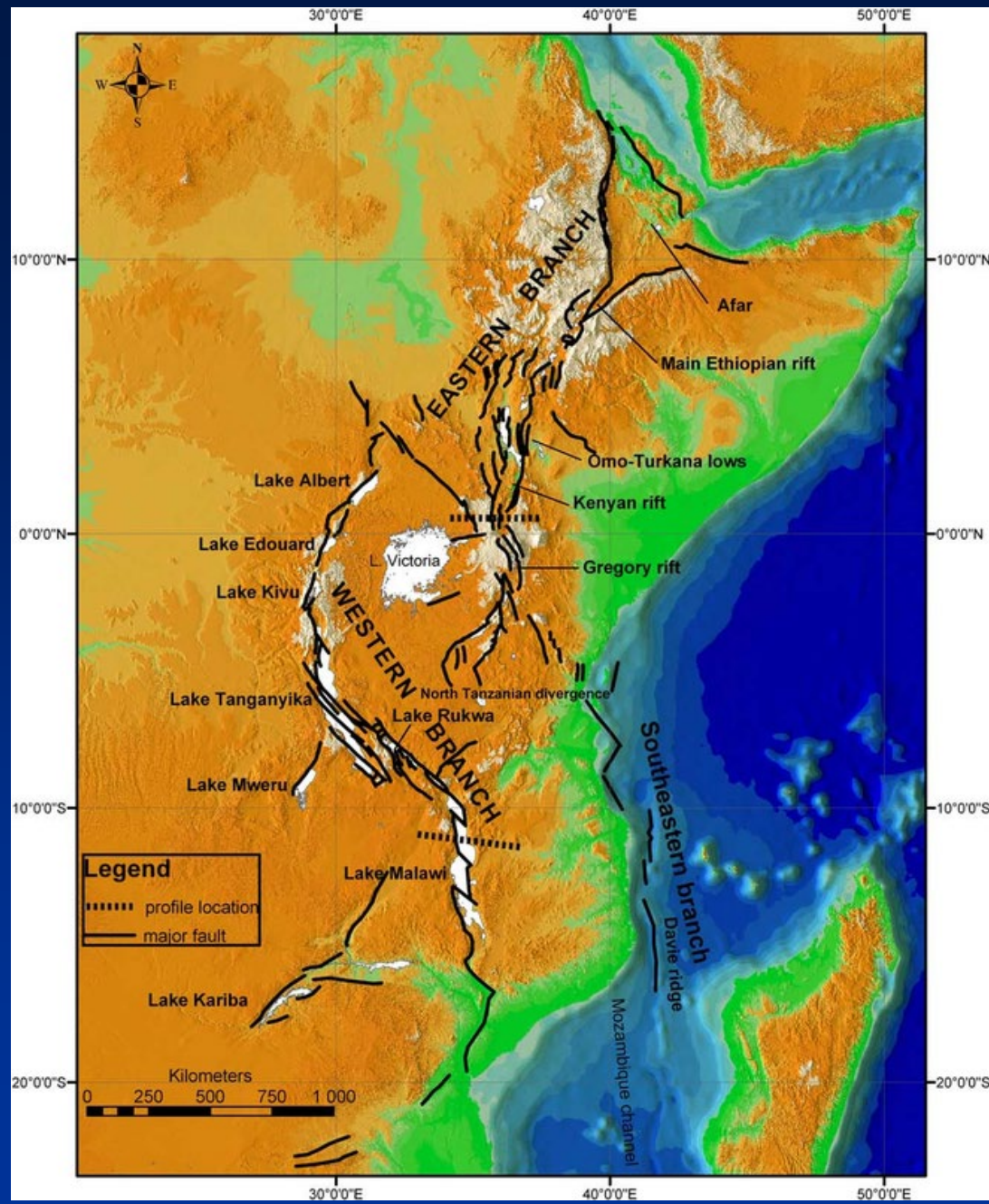
1a) estensione e assottigliamento crosta continentale che porta a crosta oceanica (*from rift to drift*)



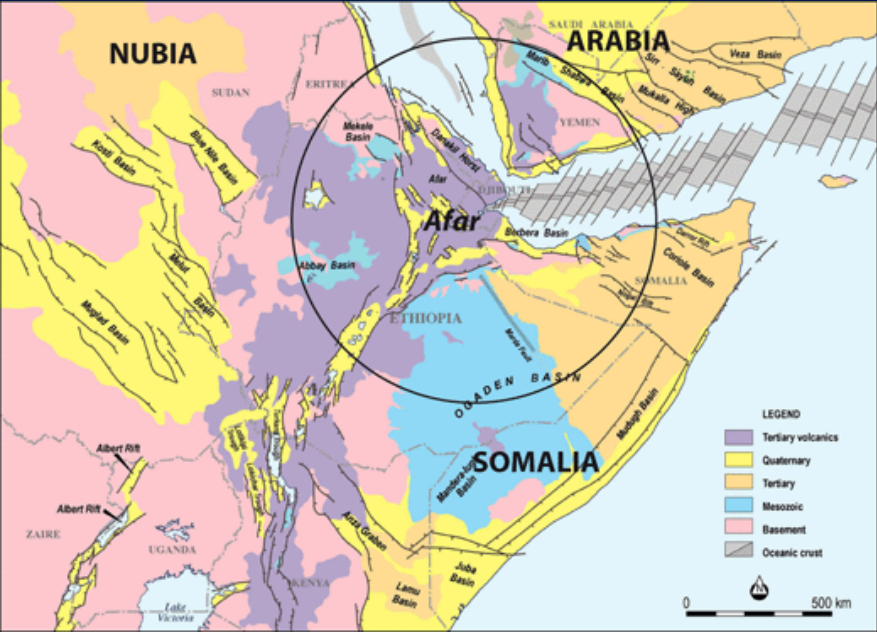
Mar Rosso-Rift Valley



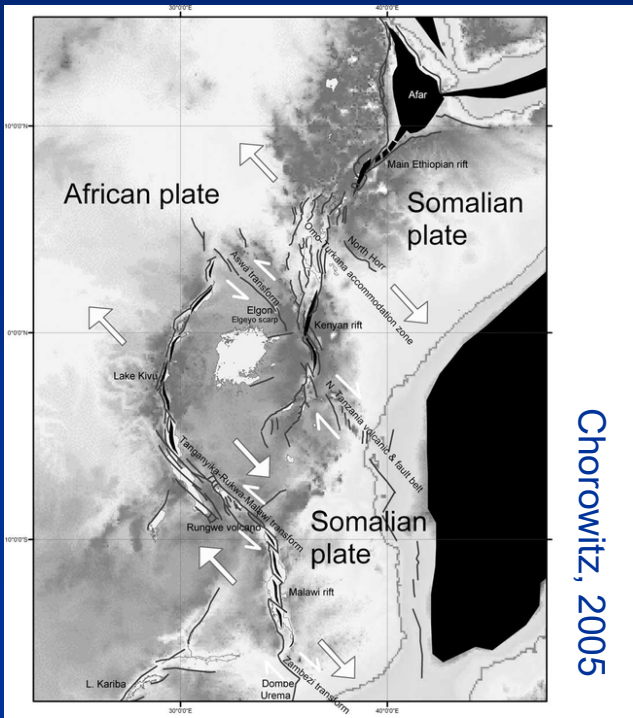
J. Gregory's 1920 map of the East African rift v.



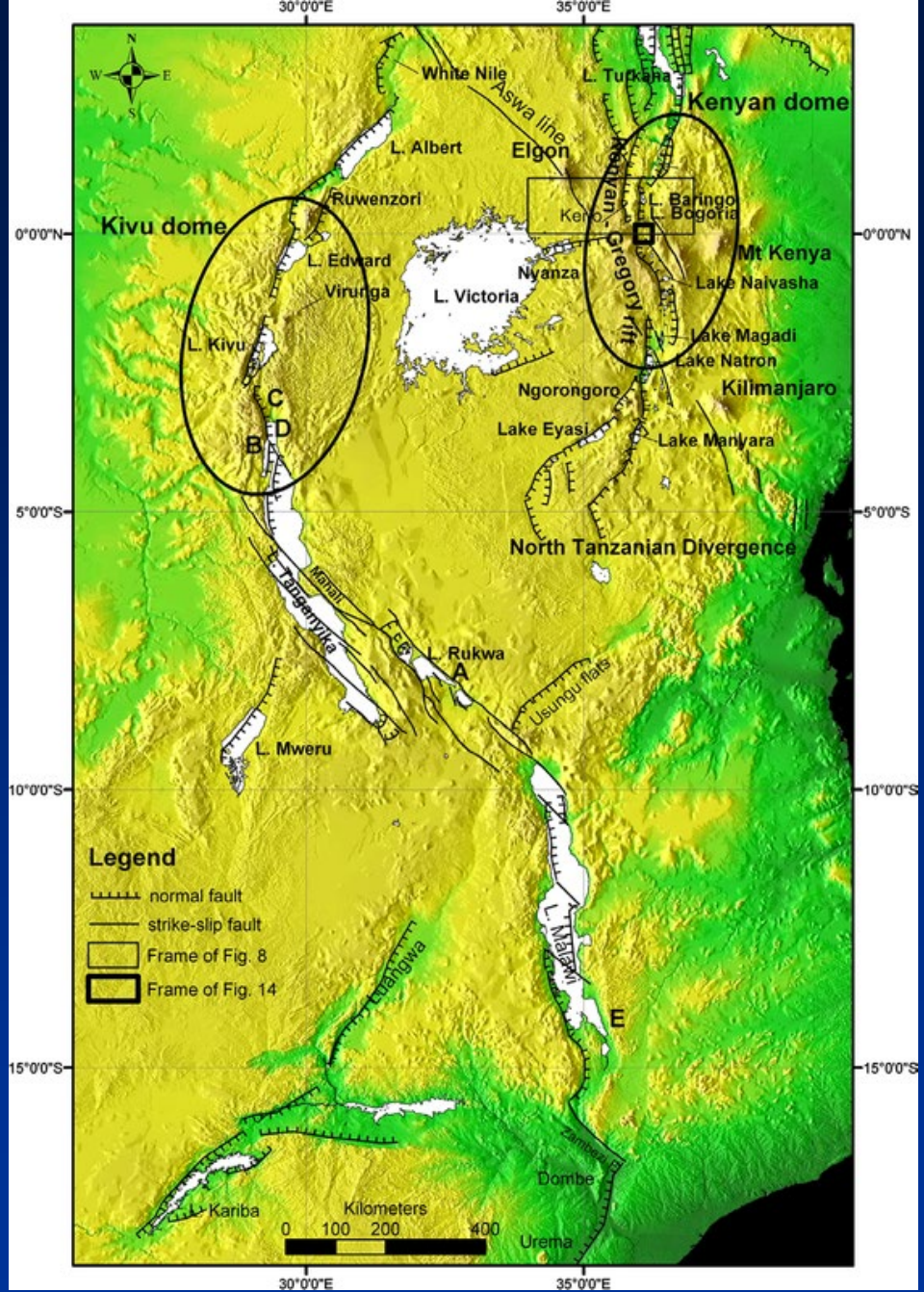
Chorowitz, 2005



Mège et al., 2015



Chorowitz, 2005



Chorowitz, 2005

# associazioni estensionali, ambienti geodinamici divergenti

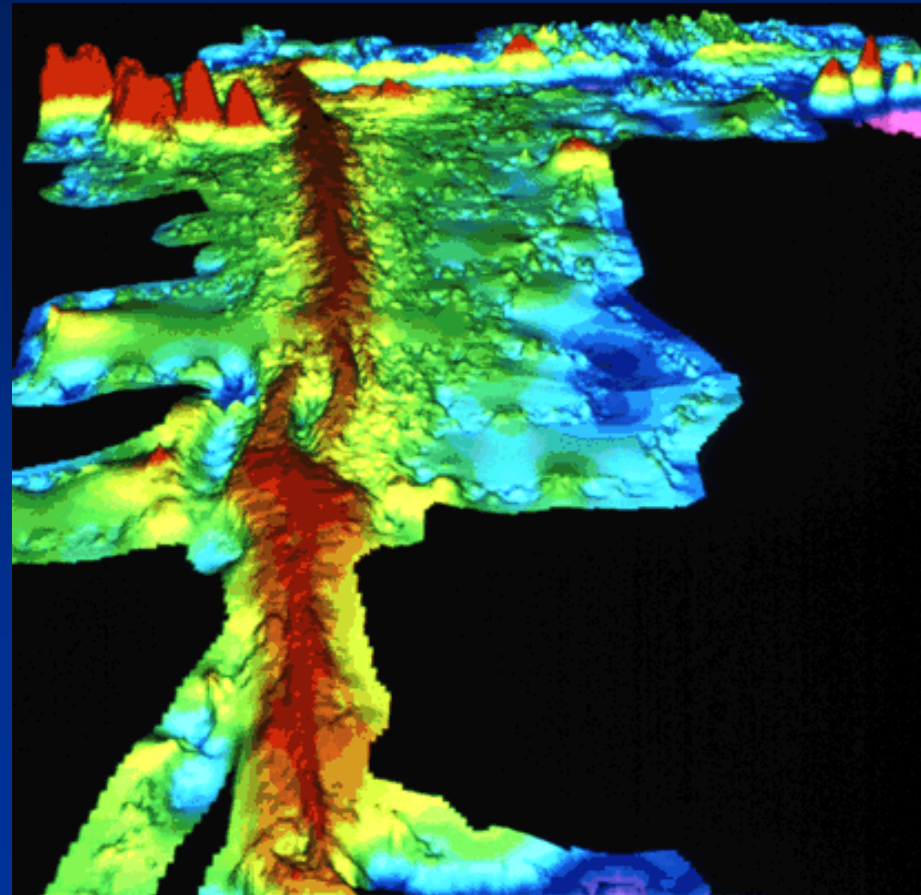
## 1b) formazione di crosta oceanica, dorsali !!

Islanda, zona di dorsale Thingvellir  
national park



Da Oddur Sigurdsson, National Energy Authority,  
Iceland

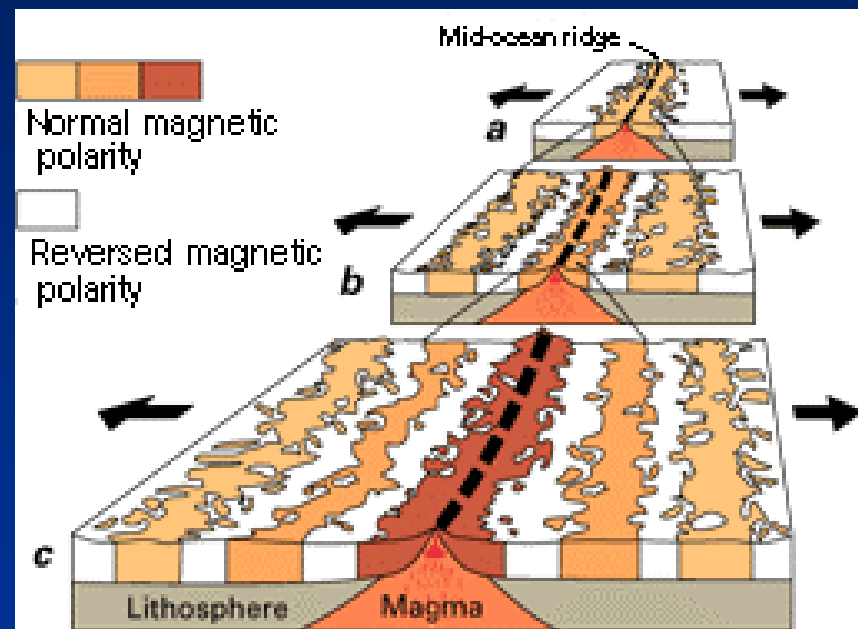
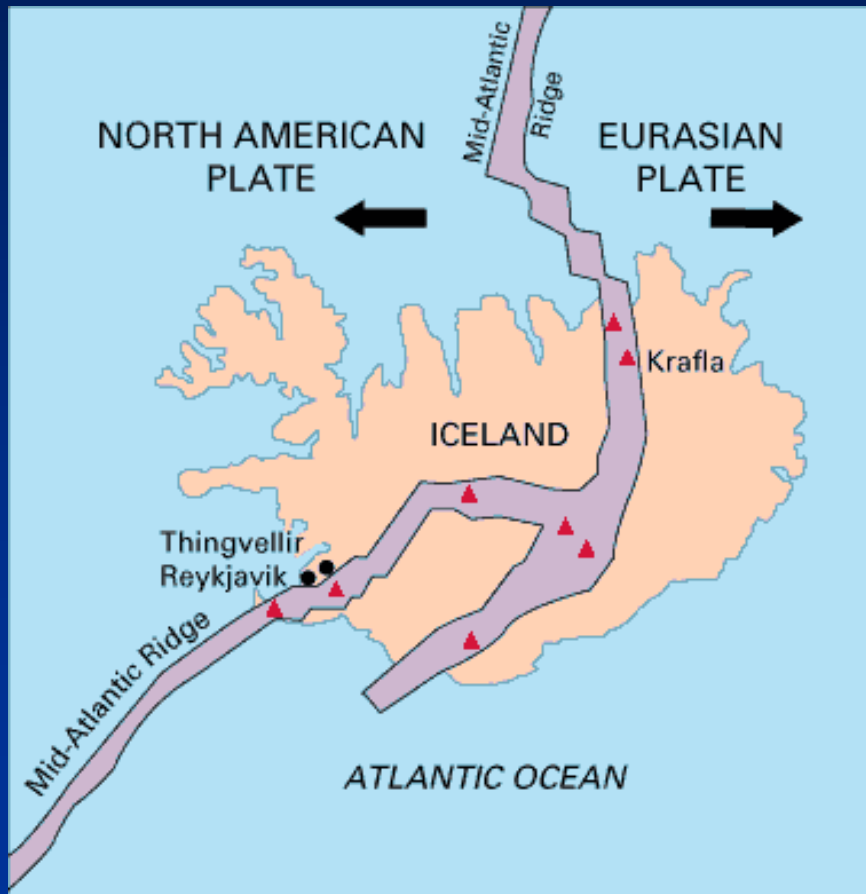
Zona di dorsale medio-oceanica pacifica



<https://pubs.usgs.gov/gip/dynamic/topomap.html> (from Stacey Tighe, University of Rhode Island)

# associazioni estensionali, ambienti geodinamici divergenti

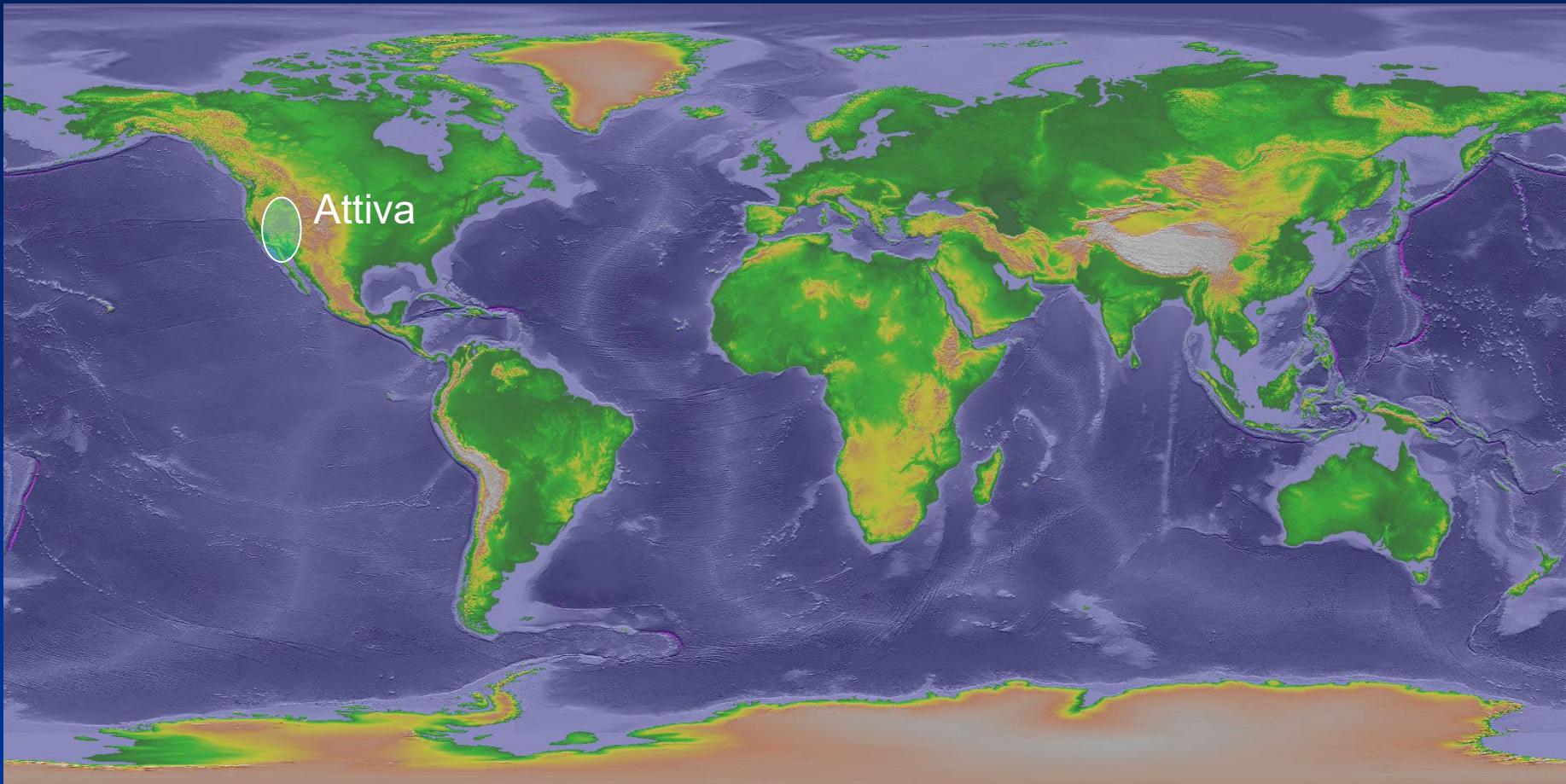
## Formazione di crosta oceanica, dorsali !!



<http://factsanddetails.com/world/cat51/sub323/item2212.html>

# Associazioni di faglie normali

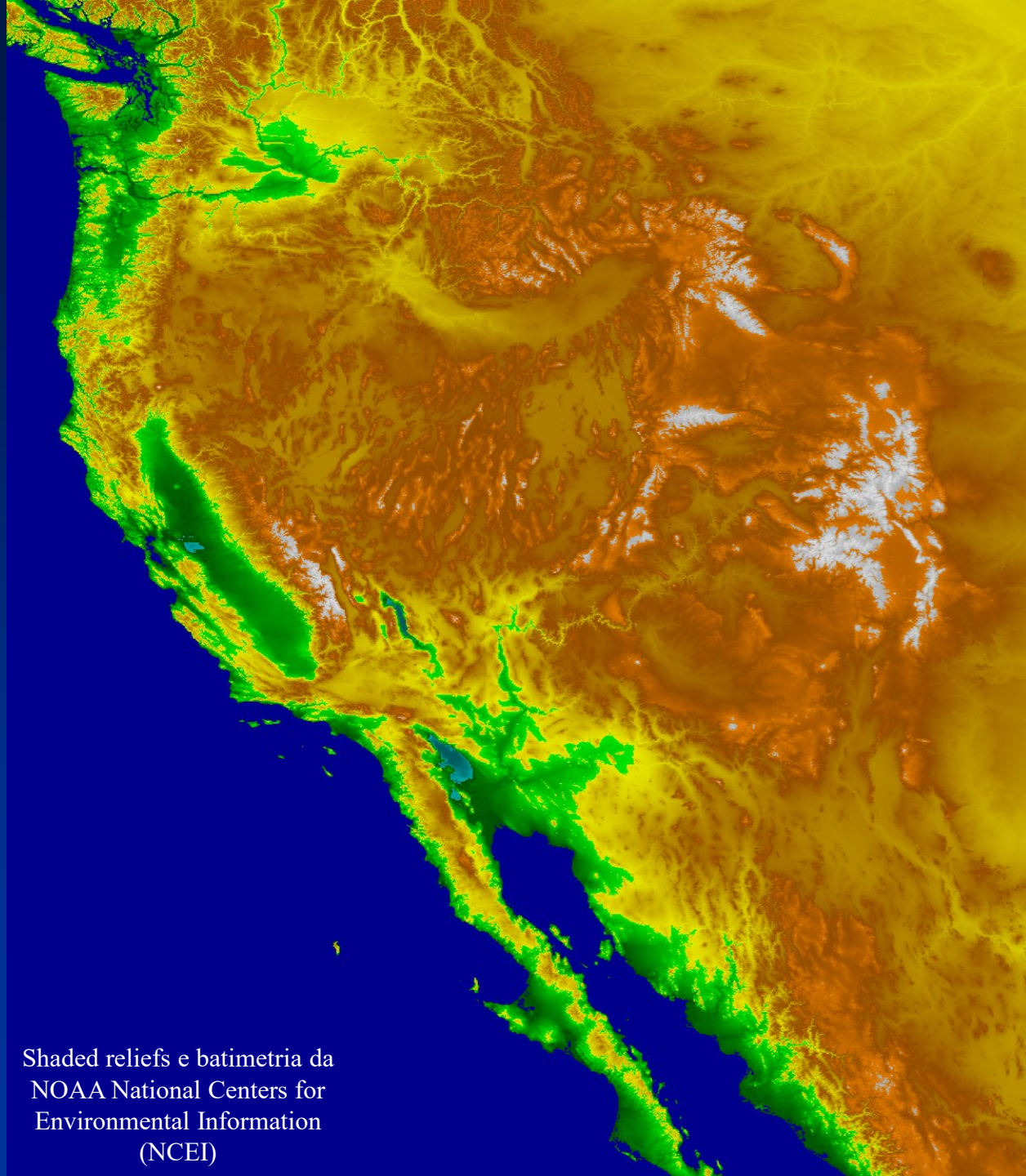
2a) associazioni estensionali in ambienti geodinamici divergenti prossimi a margini trascorrenti/convergenti

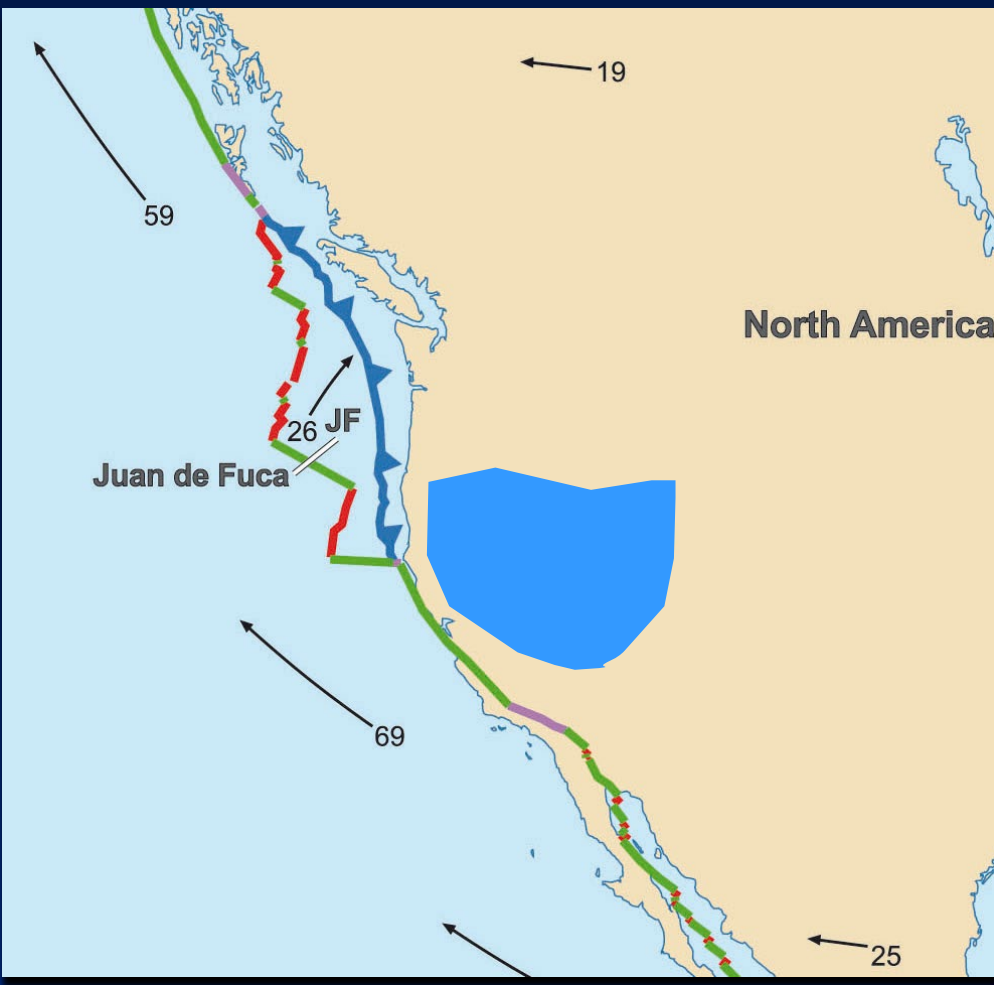


Shaded reliefs e batimetria da NOAA National Centers for Environmental Information (NCEI)

# Associazioni estensionali in ambienti geodinamici divergenti prossimi a margini trascorrenti/ convergenti

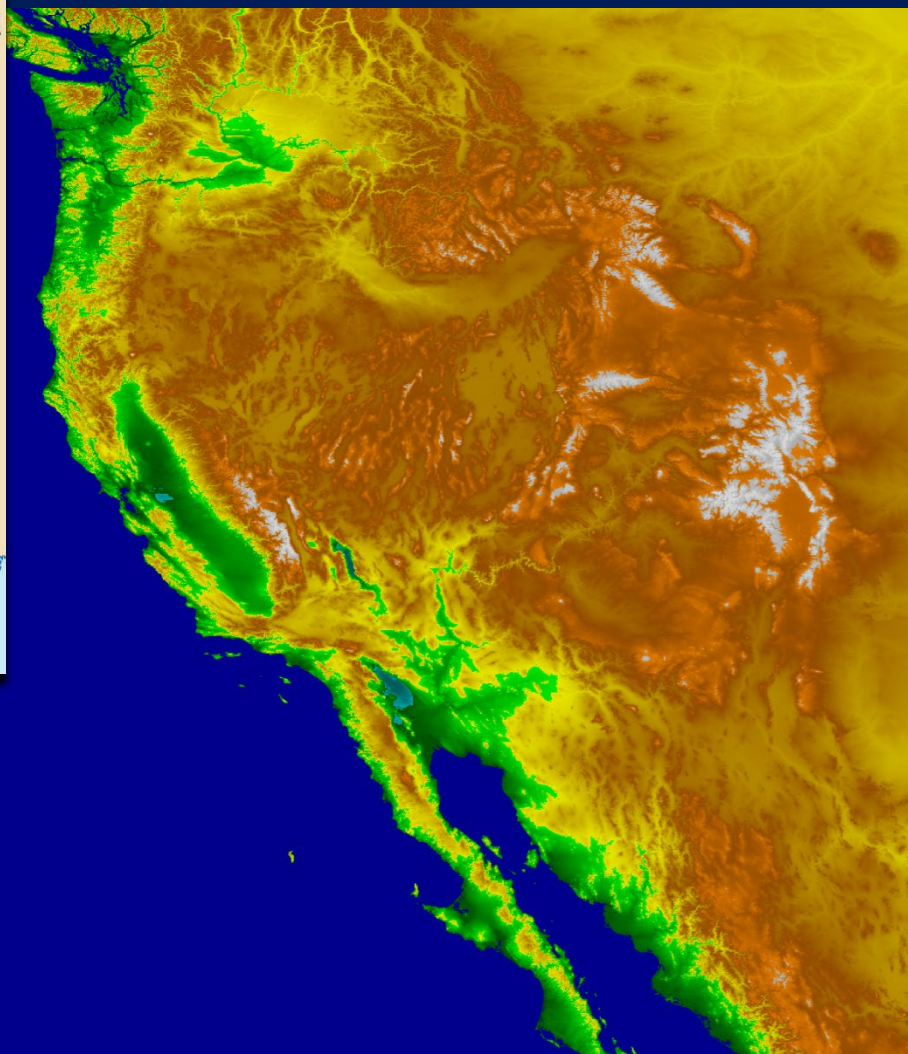
Basin & Range, estensione  
intra-continentale





[https://commons.wikimedia.org/wiki/  
File:Tectonic\\_plates\\_boundaries\\_detailed-en.svg](https://commons.wikimedia.org/wiki/File:Tectonic_plates_boundaries_detailed-en.svg)

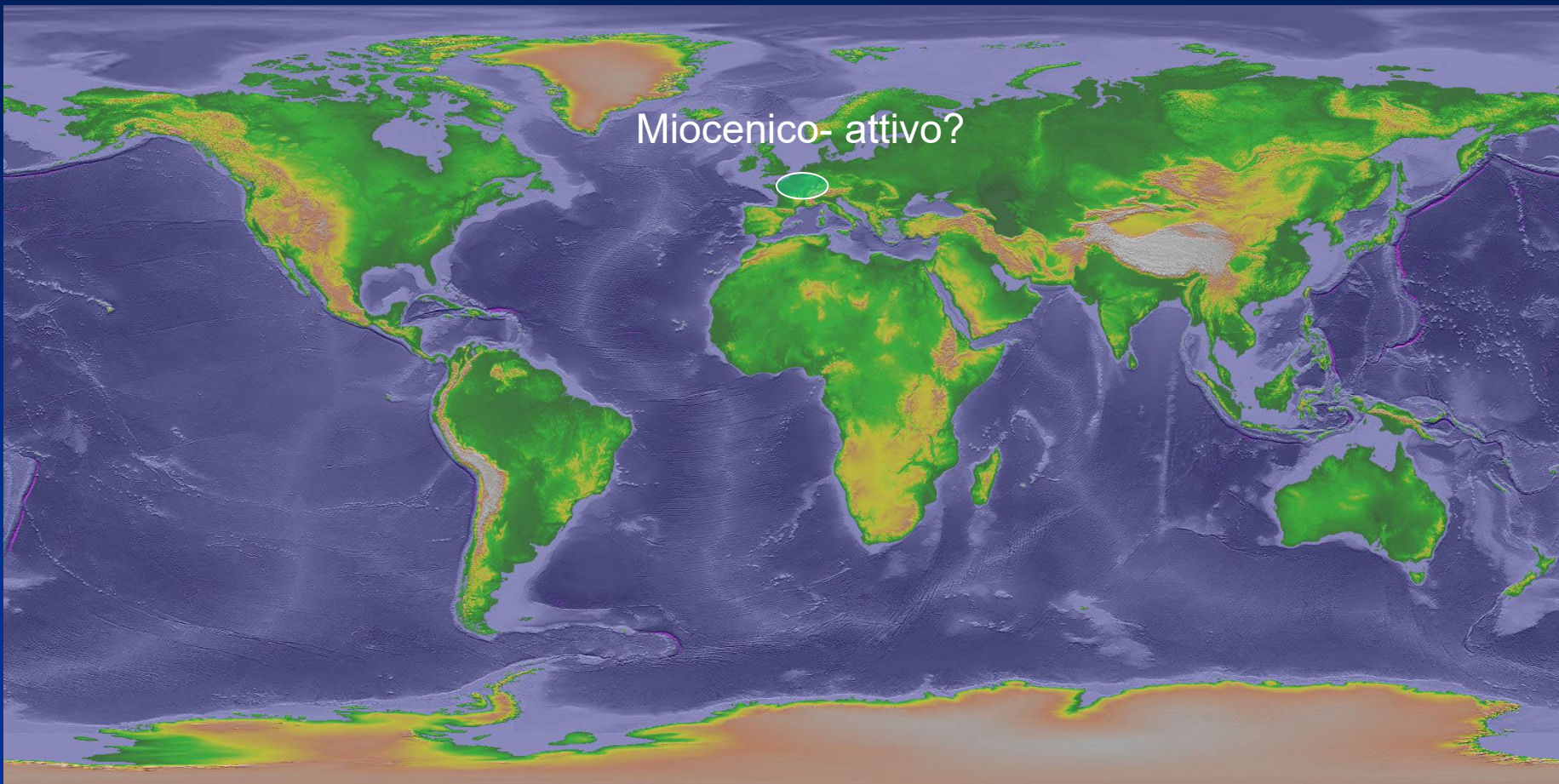
Shaded reliefs e batimetria da NOAA  
National Centers for Environmental  
Information (NCEI)



Basin & Range, estensione  
intra-continentale, situazione tettonica e  
geodinamica regionale

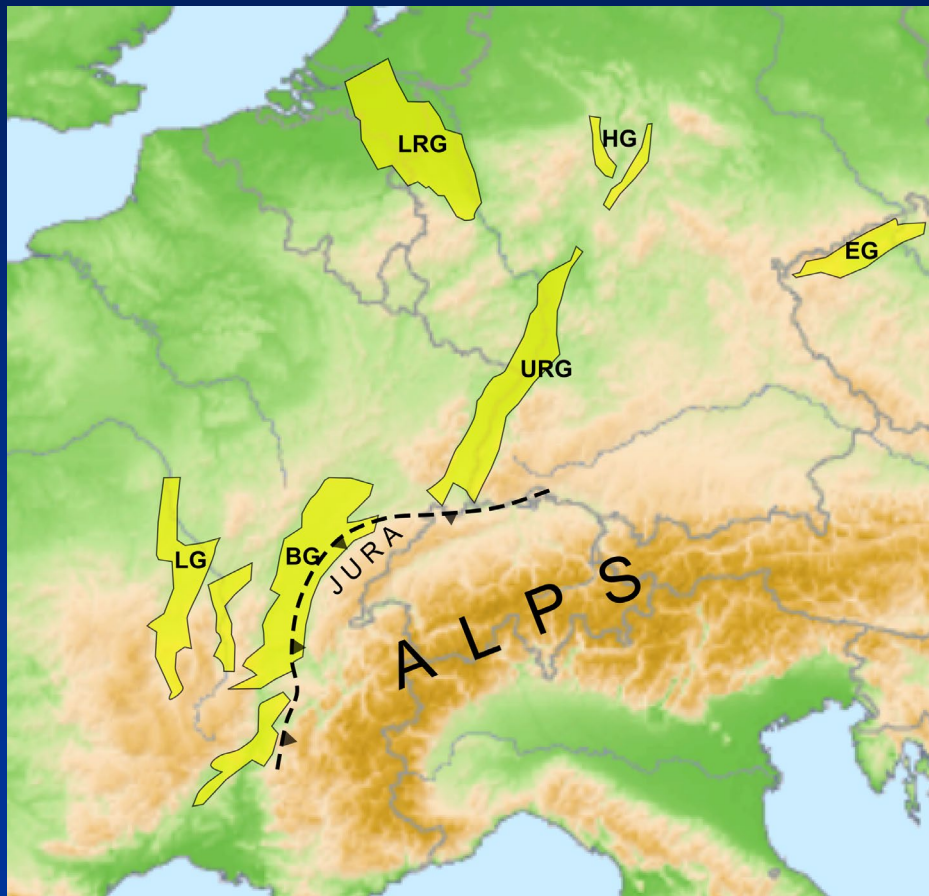
# Associazioni di faglie normali

2b) associazioni extensionali in ambienti geodinamici divergenti prossimi a margini convergenti



Shaded reliefs e batimetria da NOAA National Centers for Environmental Information (NCEI)

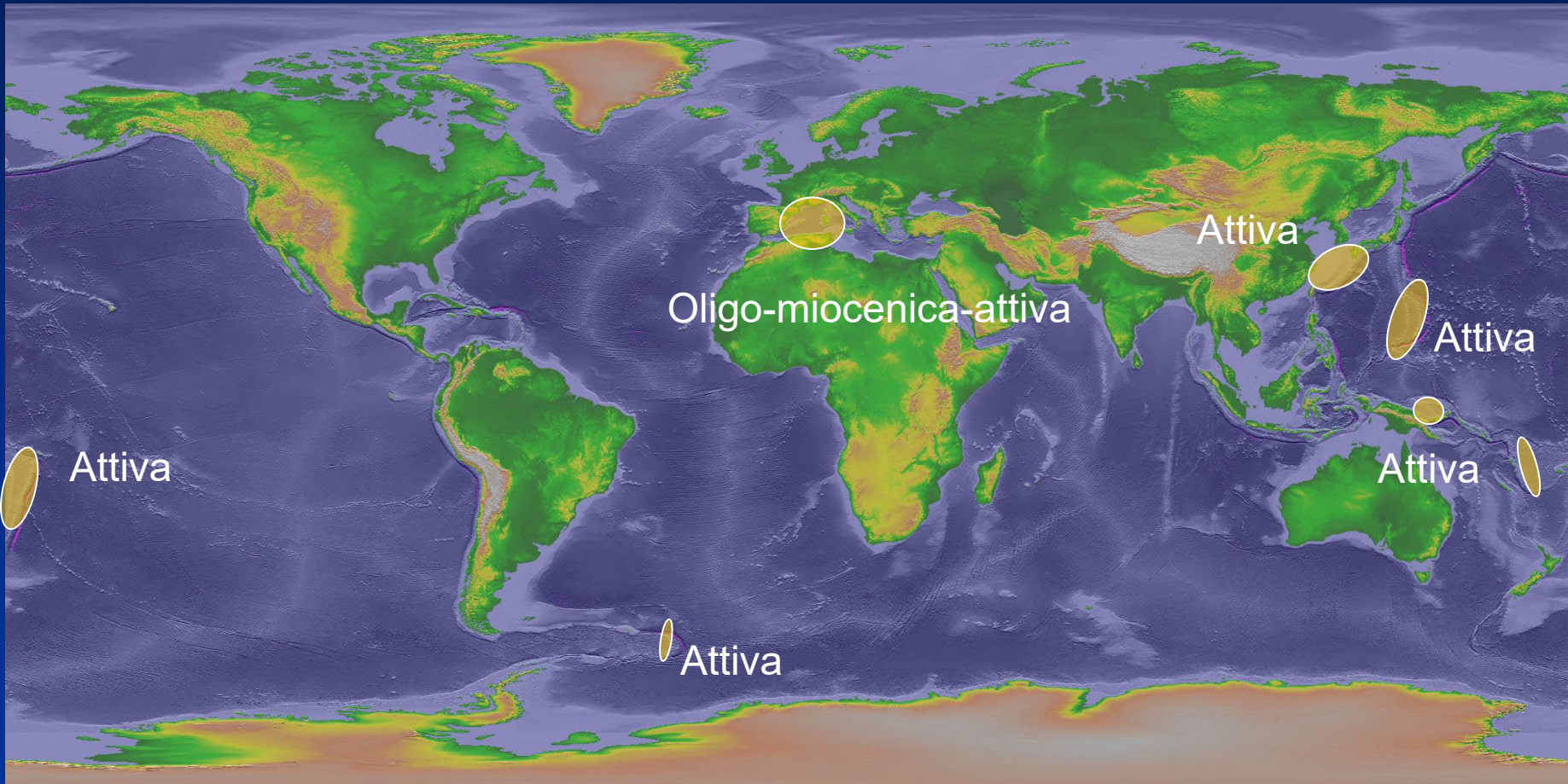
# Associazioni estensionali in ambienti geodinamici divergenti prossimi a margini convergenti



Sistema di graben centro-europeo:  
LG= g. di Limagne;  
BG= g. della Bresse;  
URG= Alto Reno;  
LRG= Basso Reno;  
HG= g. dell'Assia;  
EG= g. di Eger.

# Associazioni di faglie normali

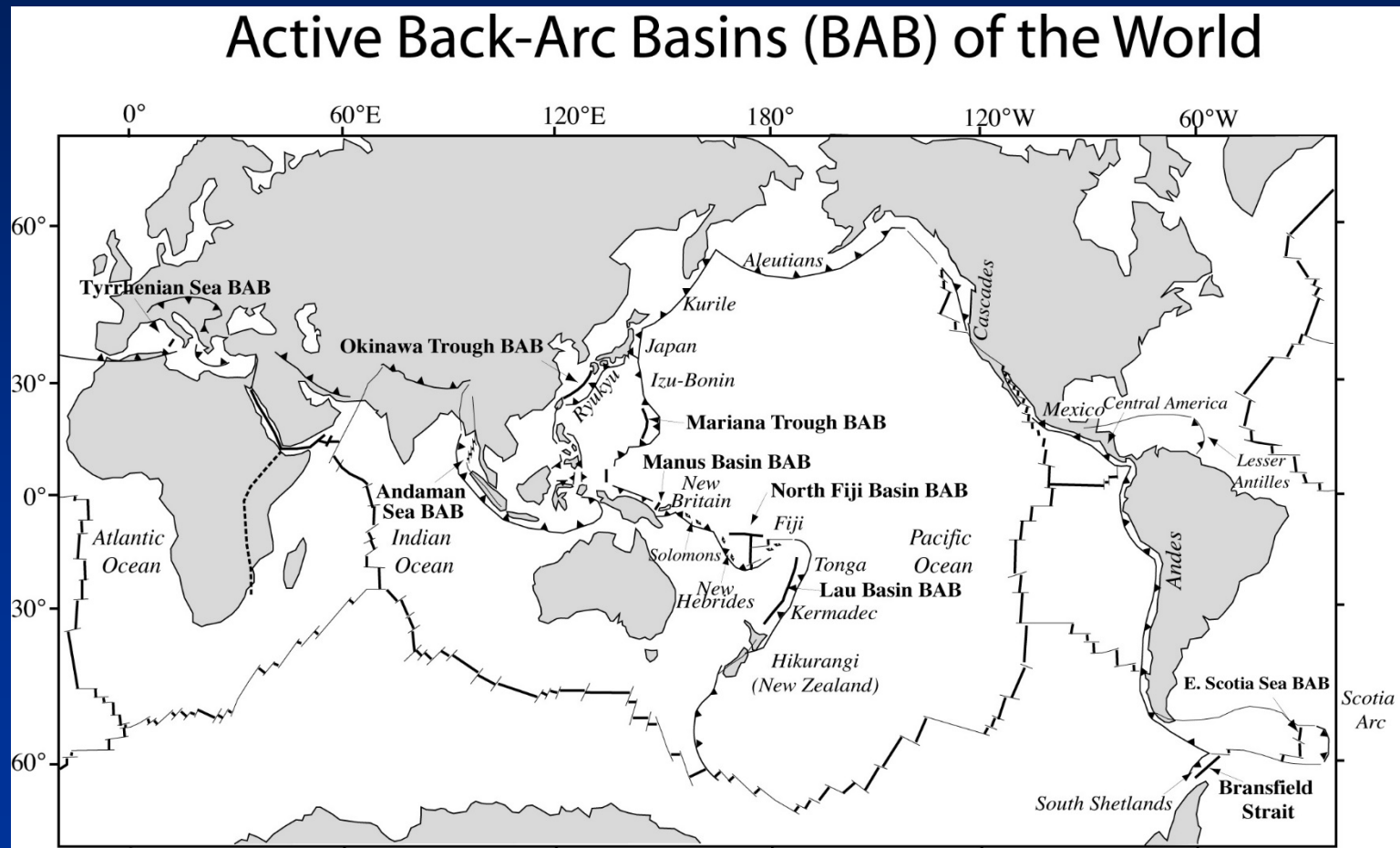
3) associazioni estensionali dovute ad ambienti geodinamici convergenti!!!



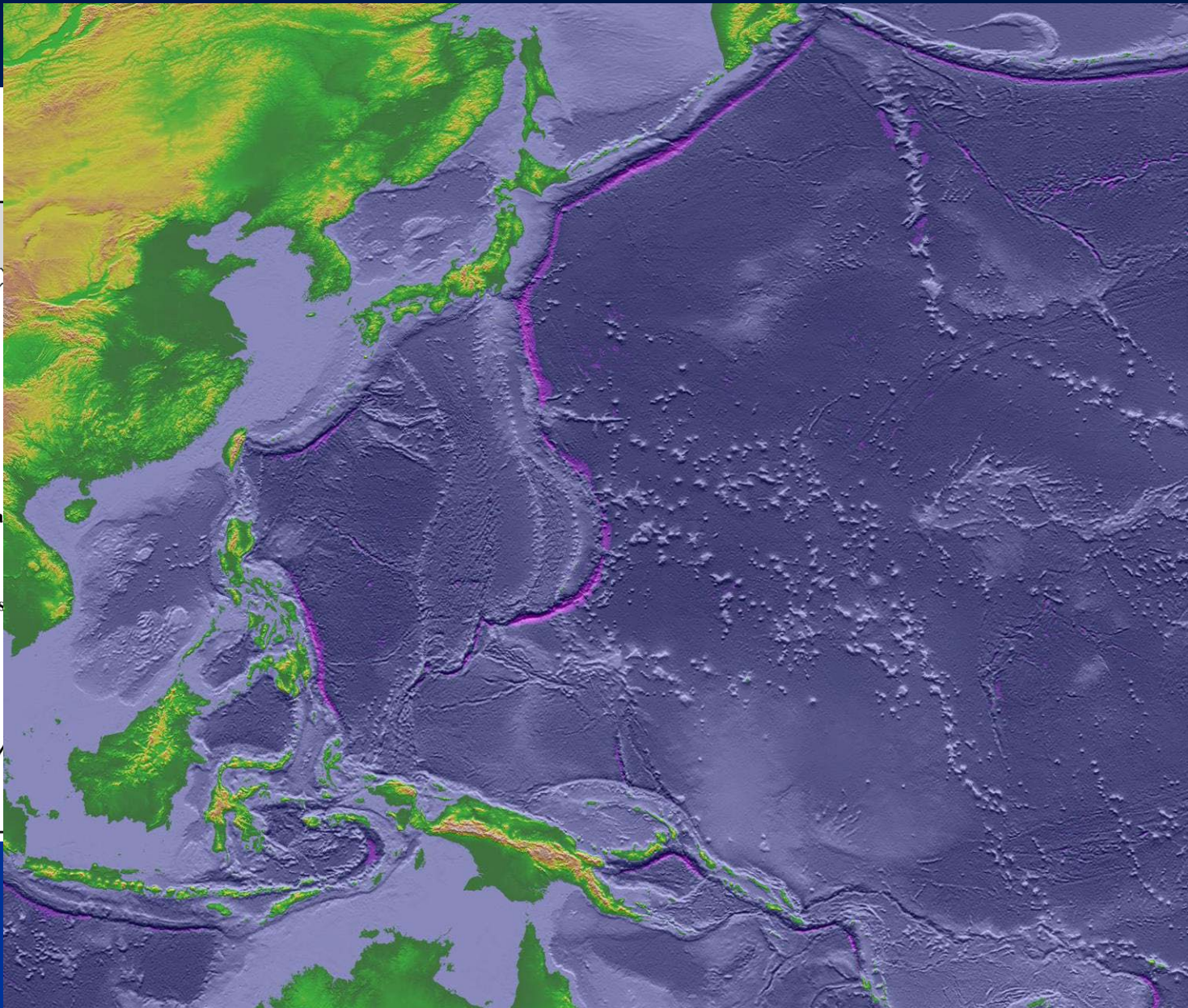
Shaded reliefs e batimetria da NOAA National Centers for Environmental Information (NCEI)

### 3) associazioni estensionali dovute ad ambienti geodinamici convergenti:

Estesi bacini di retroarco

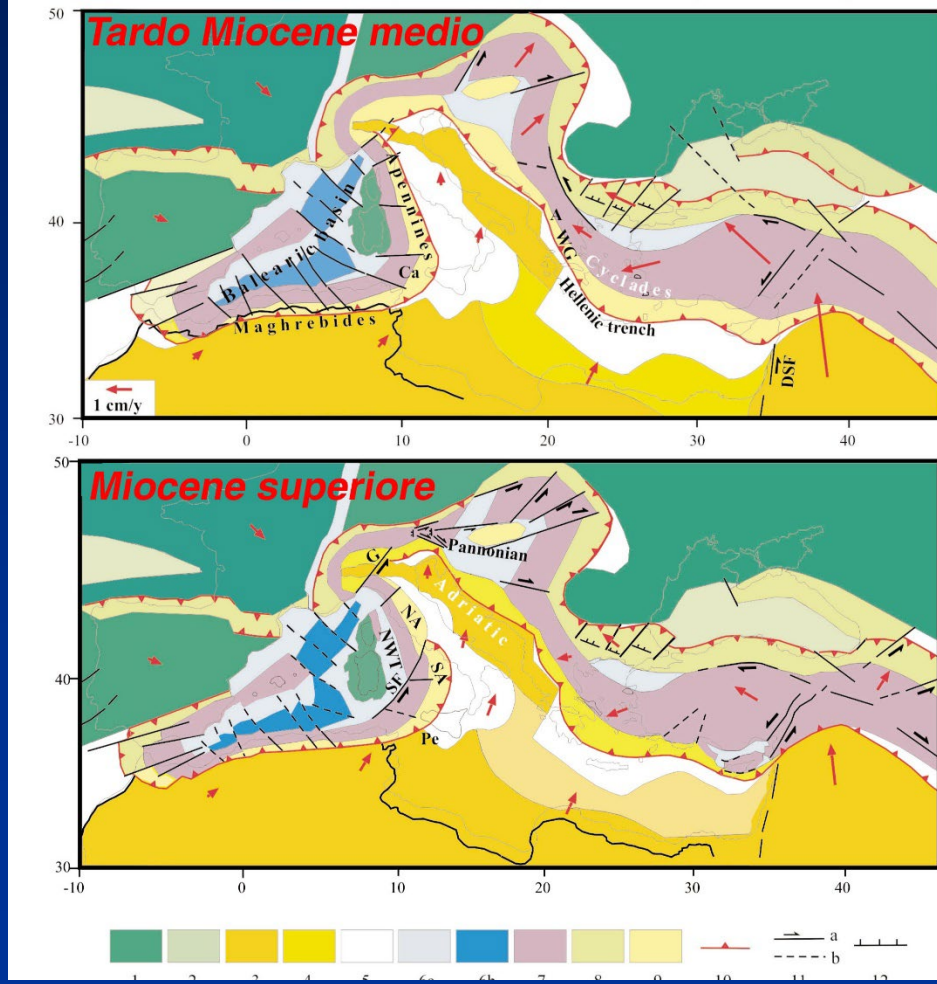
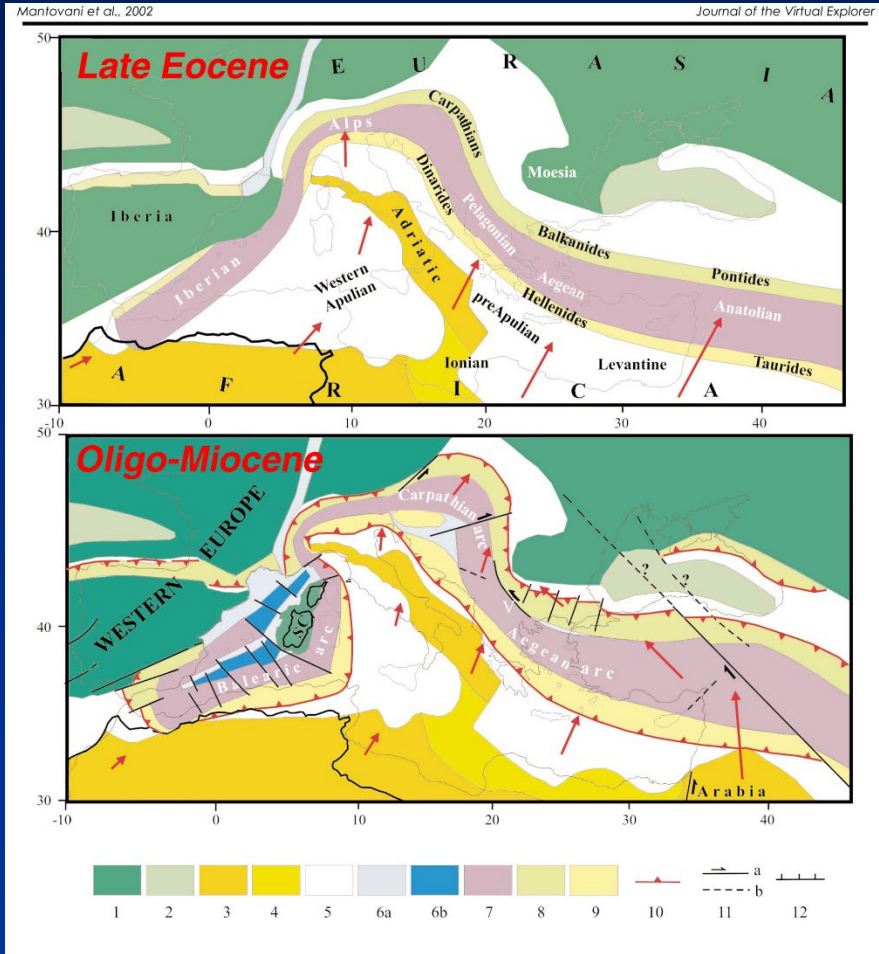


# Sub-Arc Basins (BAB)

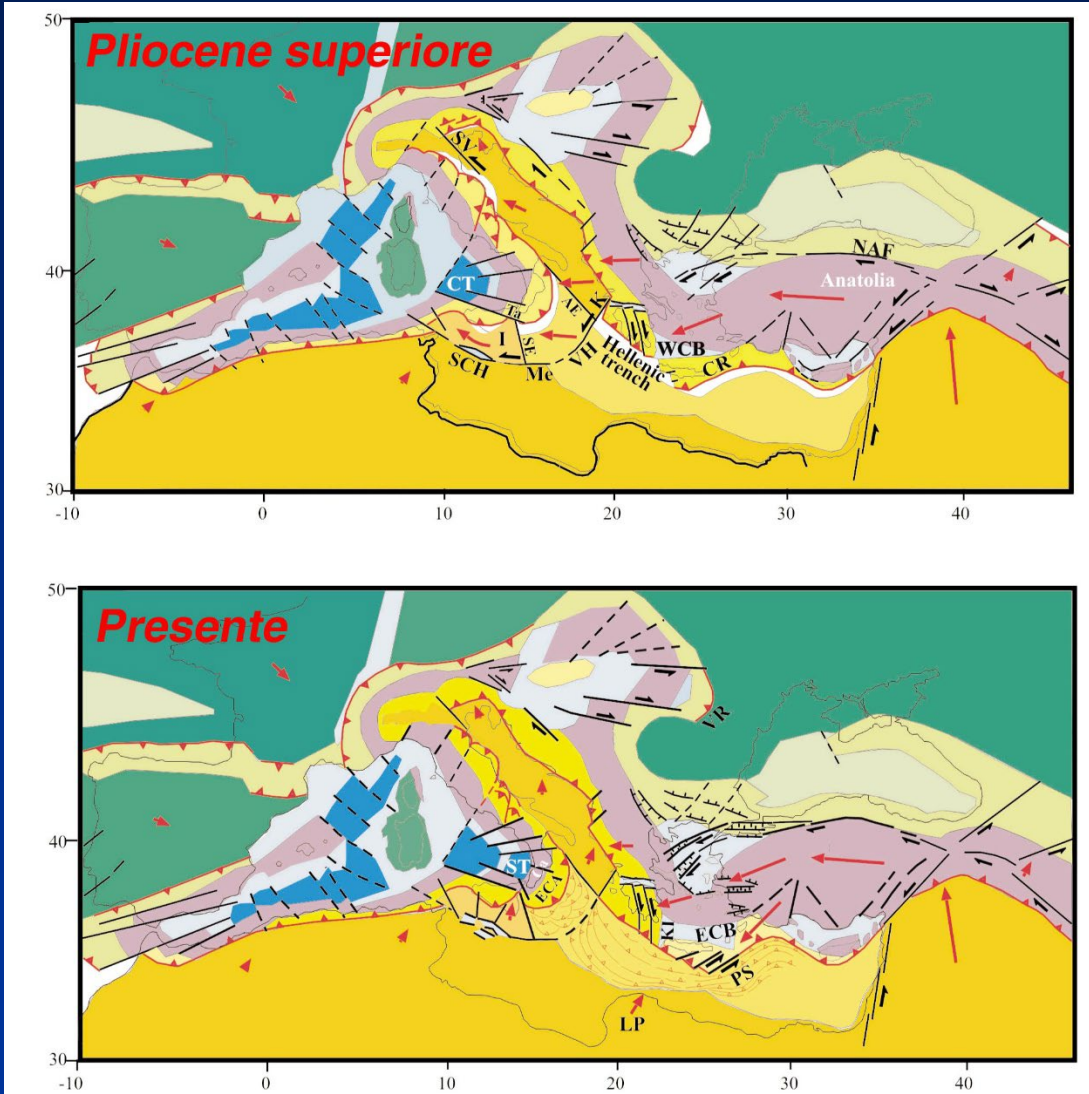


# associazioni estensionali dovute ad ambienti geodinamici convergenti: evoluzione oligo-miocenica sino all'Attuale dell'Appennino

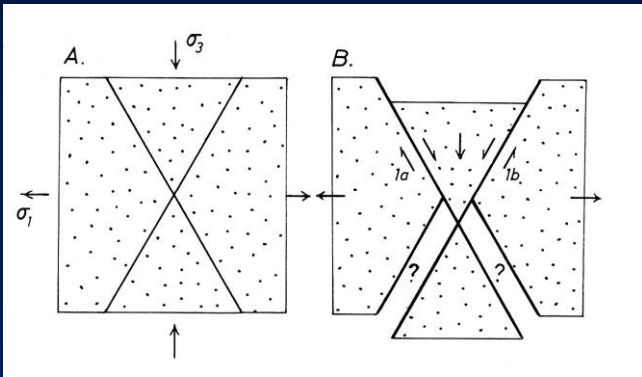
Da Mantovani et al., 2002



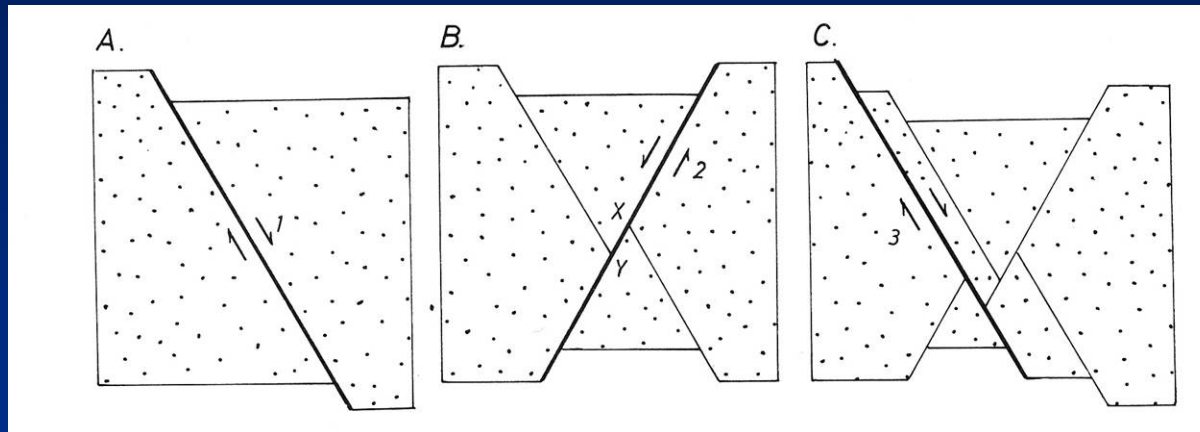
# associazioni estensionali dovute ad ambienti geodinamici convergenti: evoluzione oligo-miocenica sino all'Attuale dell'Appennino



Da Mantovani et al., 2002

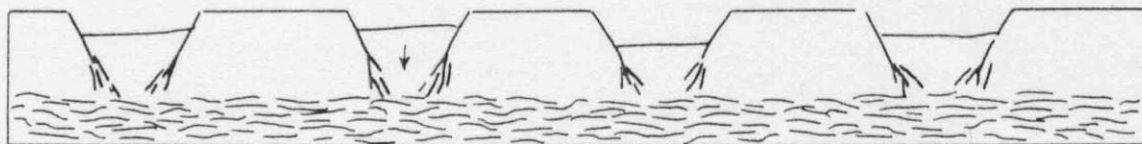


Da Ramsay and Huber, 1987



Solo le associazioni di faglie (coniugate) lavorano!!

FAGLIE NORMALI DIRITTE



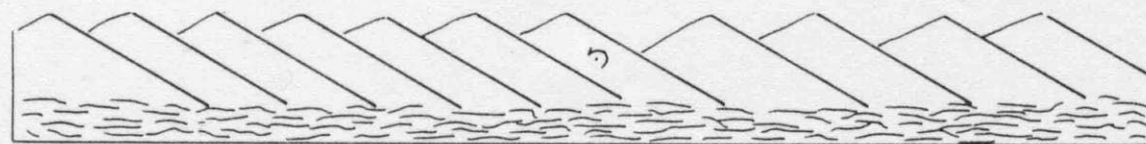
a)

FAGLIE NORMALI LISTRICHE



b)

FAGLIE A "DOMINO"



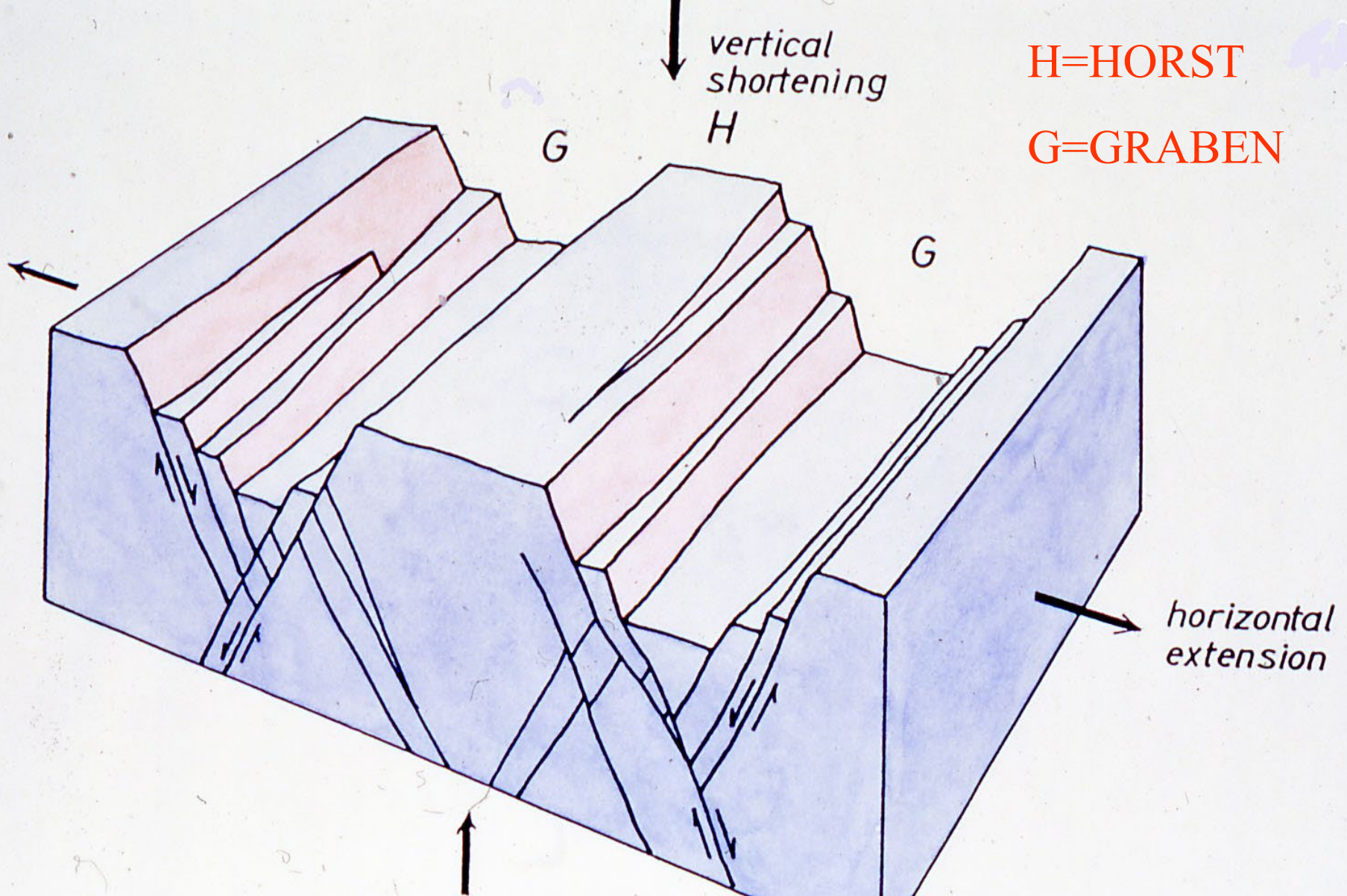
c)

FAGLIE DI DISTACCO (DETACHMENT) A BASSO ANGOLO



d)

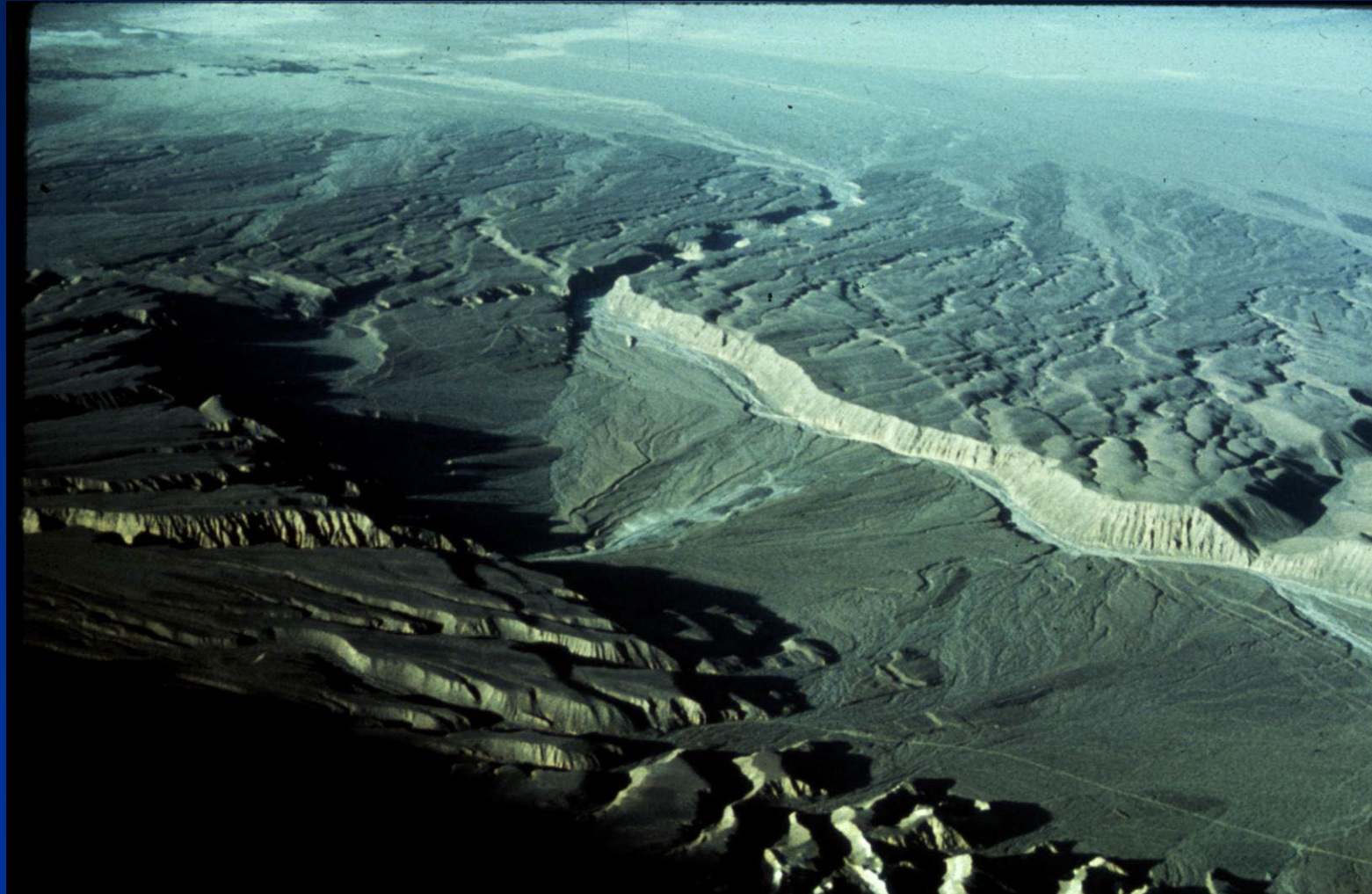
Sistemi di faglie normali:  
il problema della continuazione in profondità.  
Diverse geometrie in superficie e diversi modelli concettuali



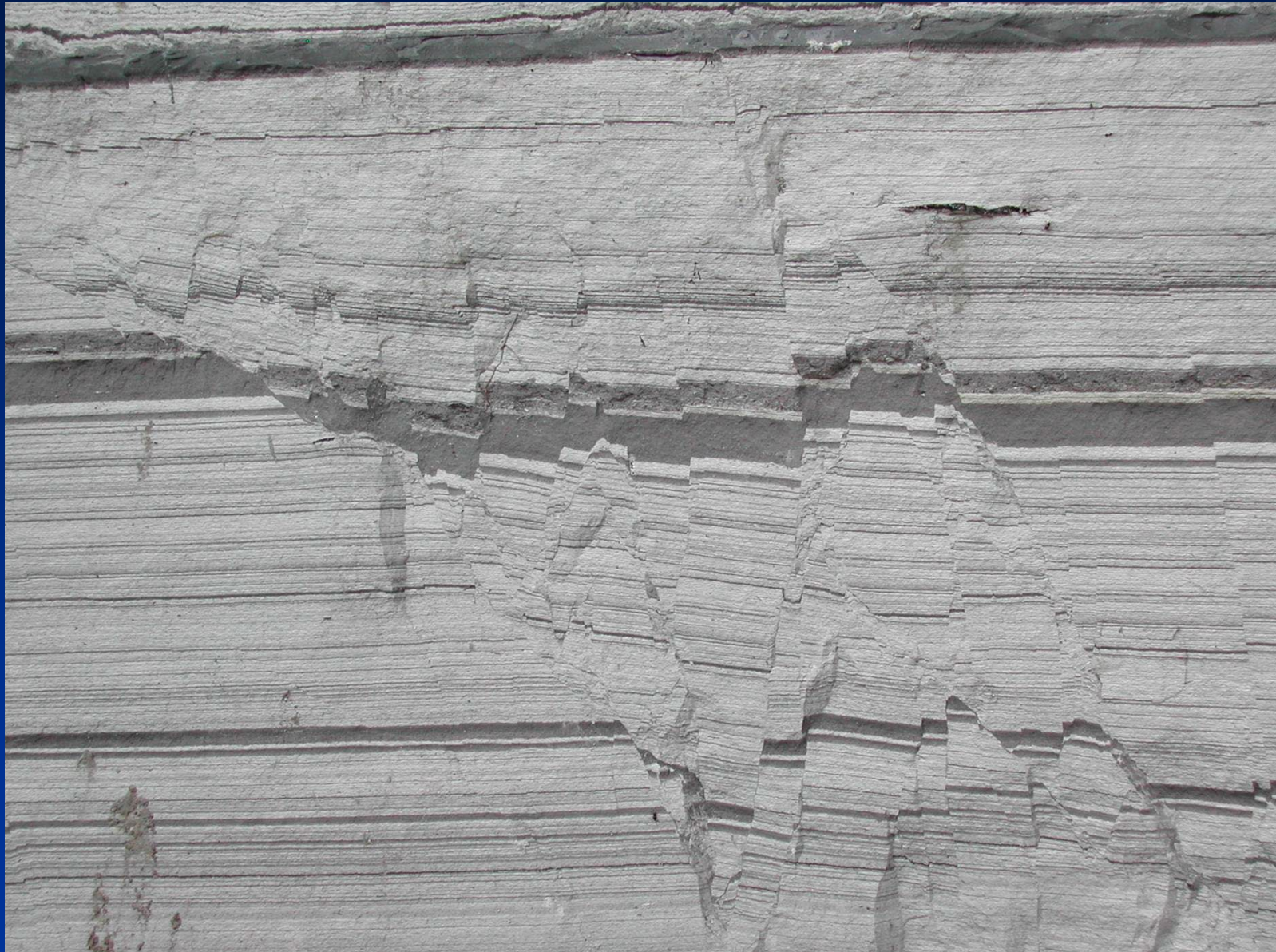
Da Ramsay and Huber, 1987

FAGLIE PIANE

Esempio di grabe (singola fossa) recentissimo e, presumibilmente, attivo



Sistemi di faglie normali: coniugate, faglia principale  
(master fault) e faglie curve!



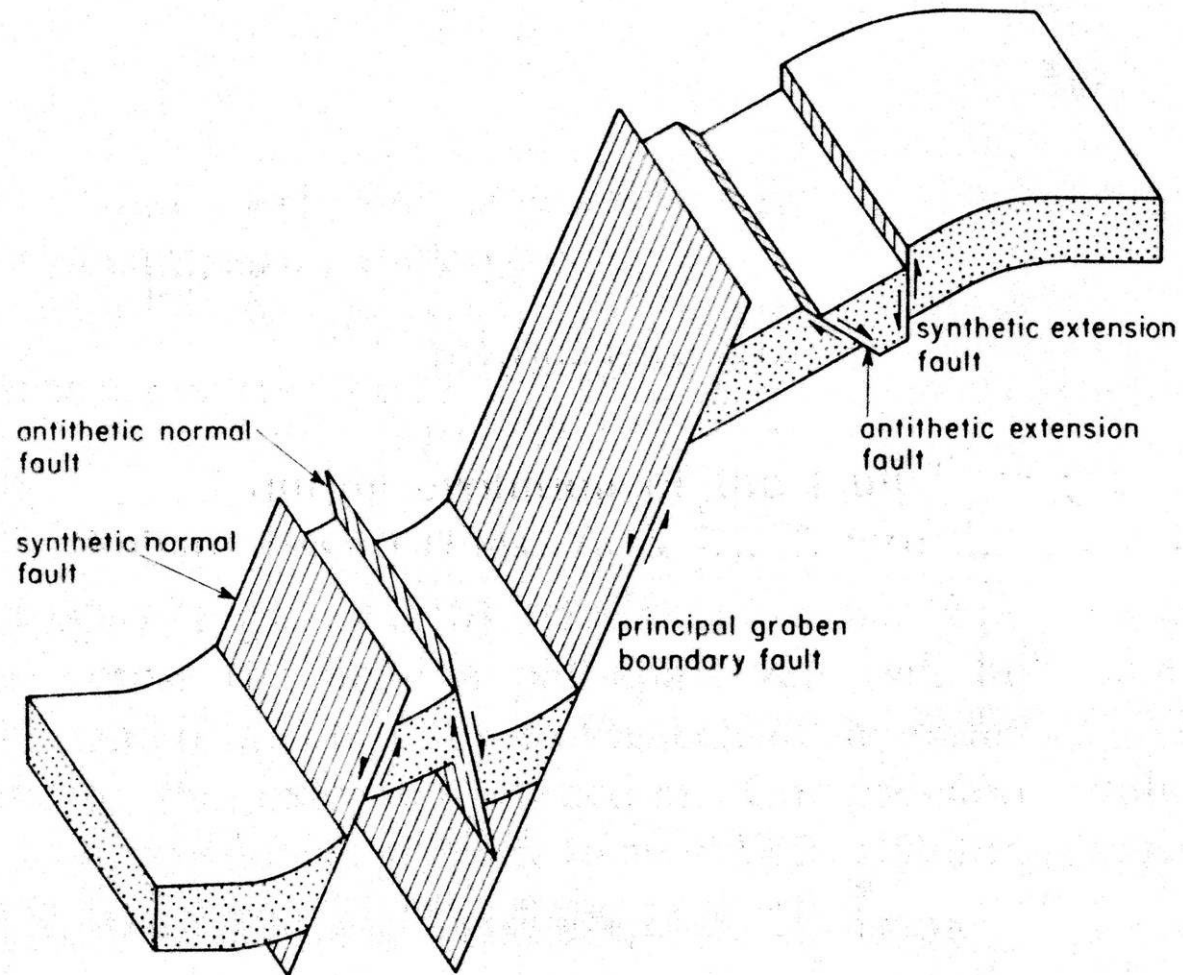


Fig. 6. Structures characteristic of planar high-angle normal fault zones such as those bounding grabens in terrains that have been inhomogeneously extended by a small percentage. After Al Kadhi & Hancock (1980, fig. 6).

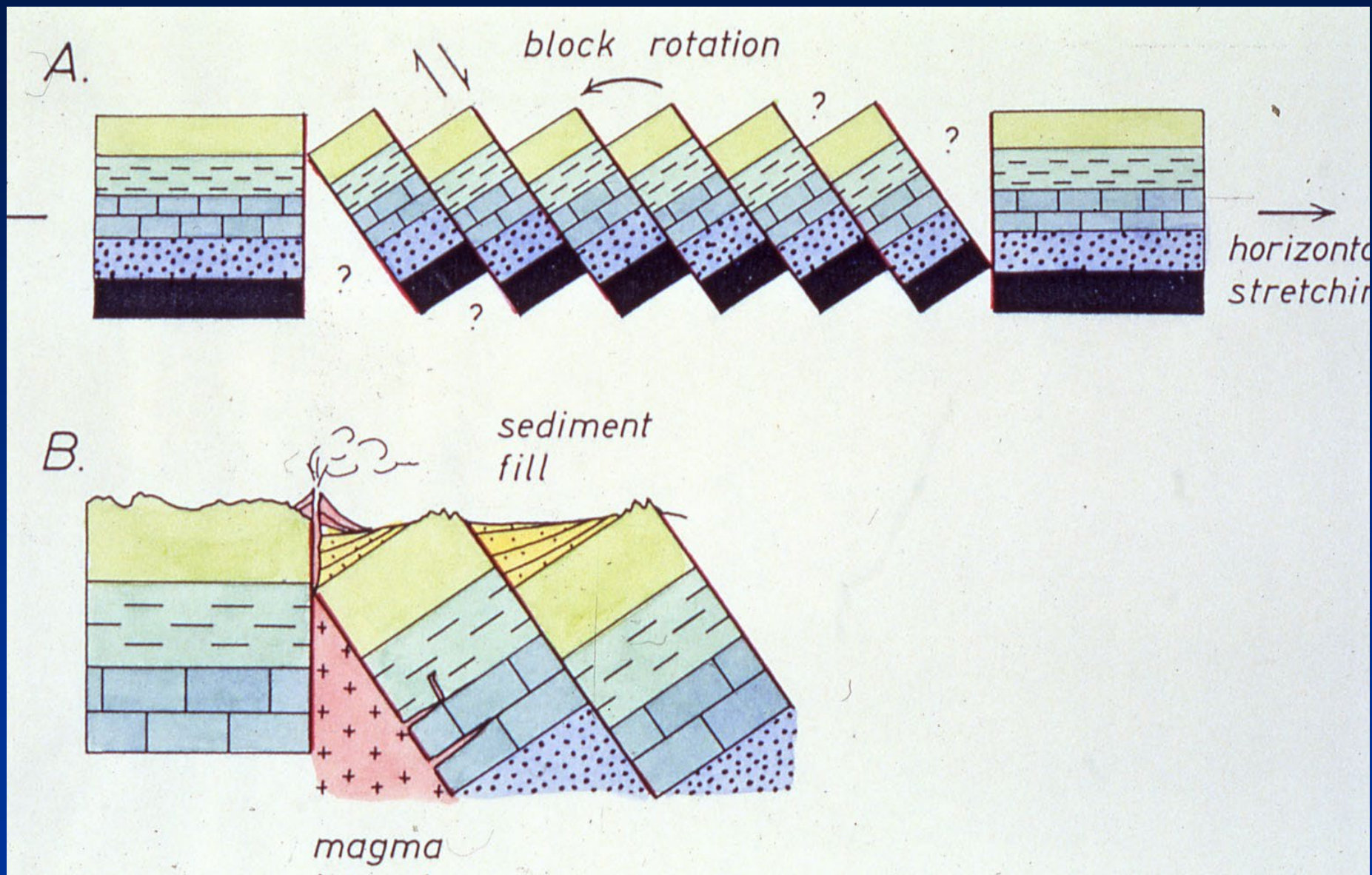
Sistemi di faglie  
normali coniugate:  
faglia principale,  
faglie antitetiche e  
sintetiche

Da Hancock, 1985

Come si vede in affioramento una faglia normale?  
(foto L. Sellì)



## Sistemi di faglie normali coniugate sintetiche; sistema a domino!



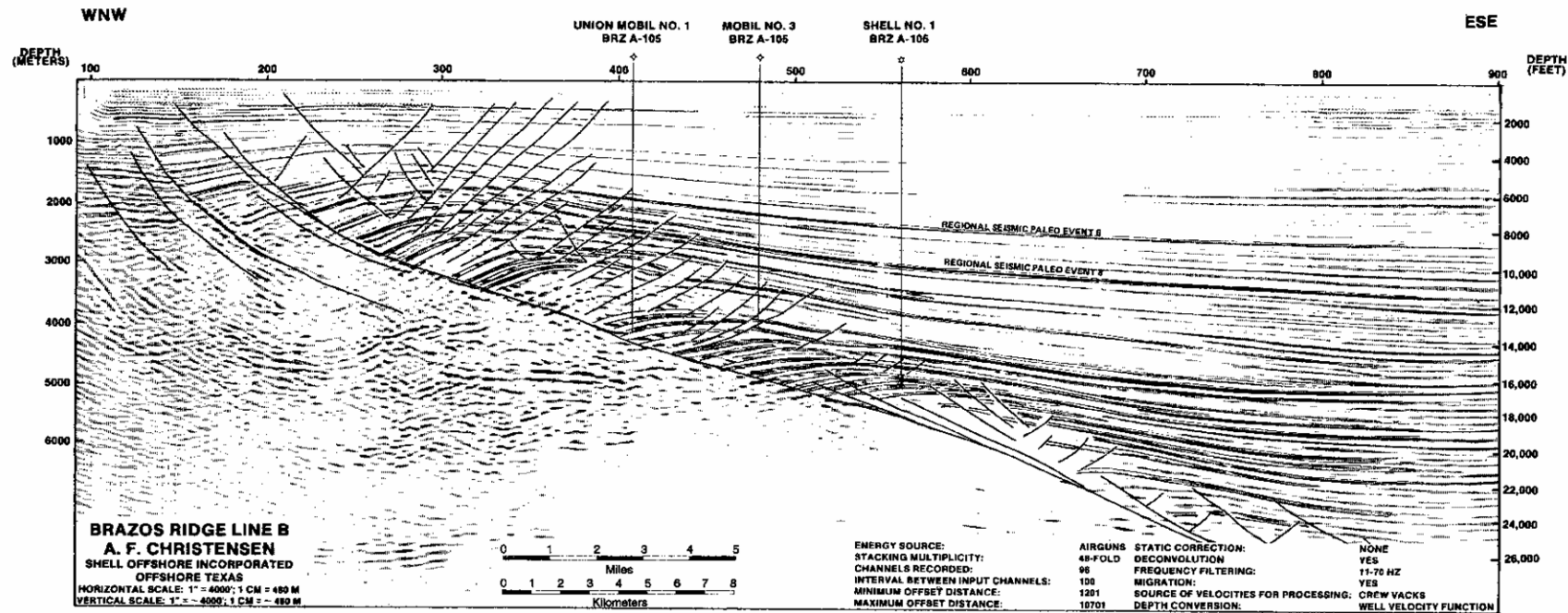
Sistemi di faglie normali coniugate sintetiche; sistema a domino!



Da Ramsay and Huber, 1987

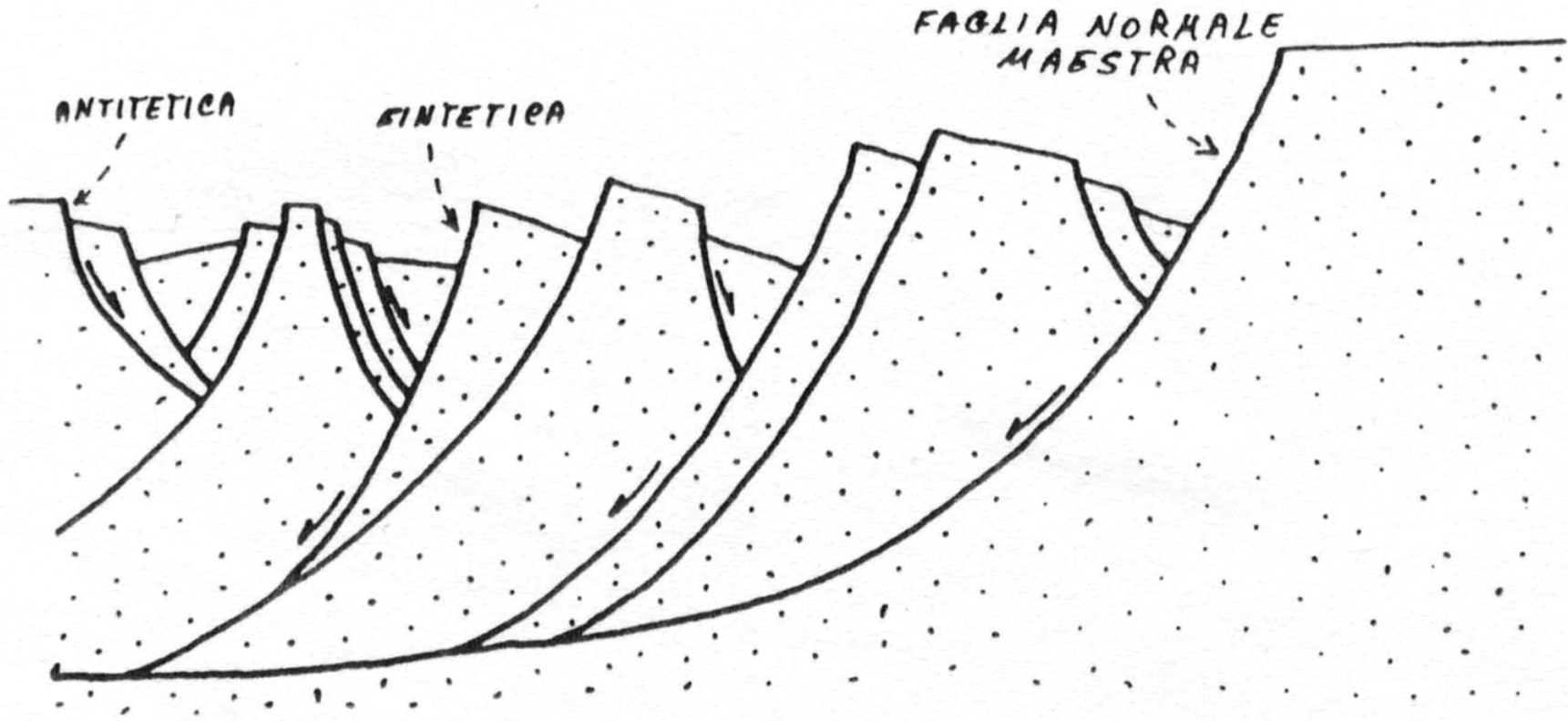


Da Ramsay and Huber, 1987

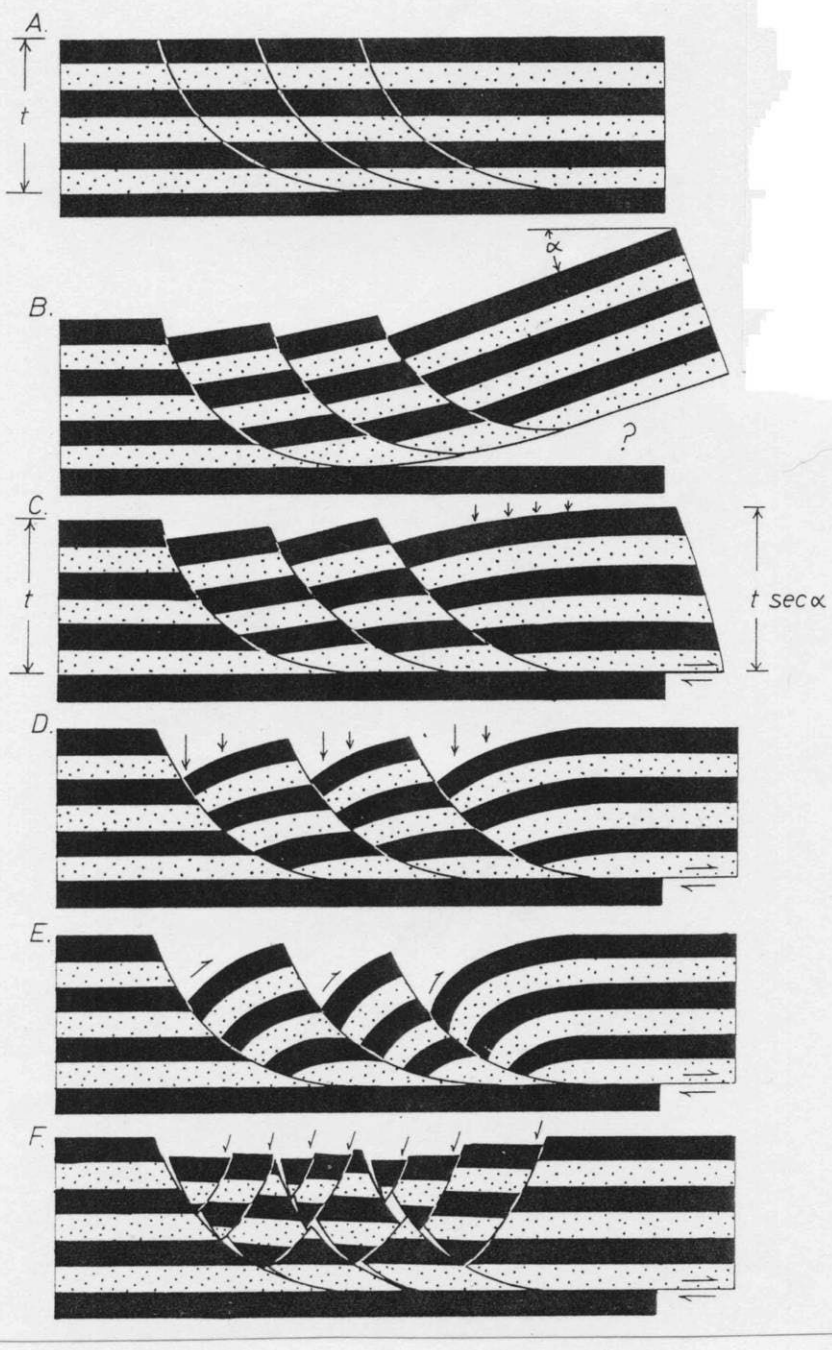


(b)

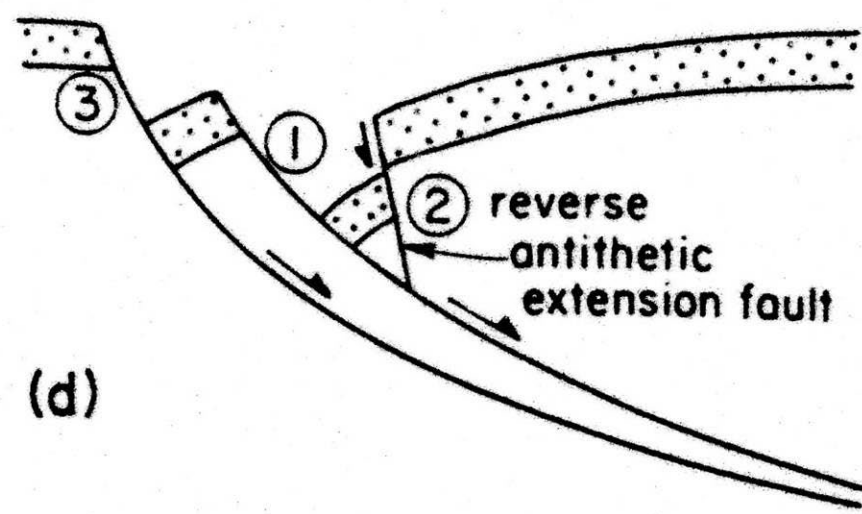
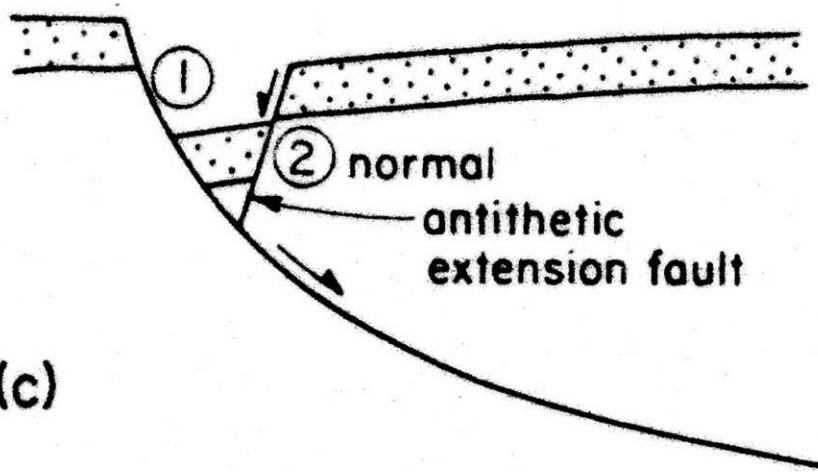
Da Hatcher, 1995



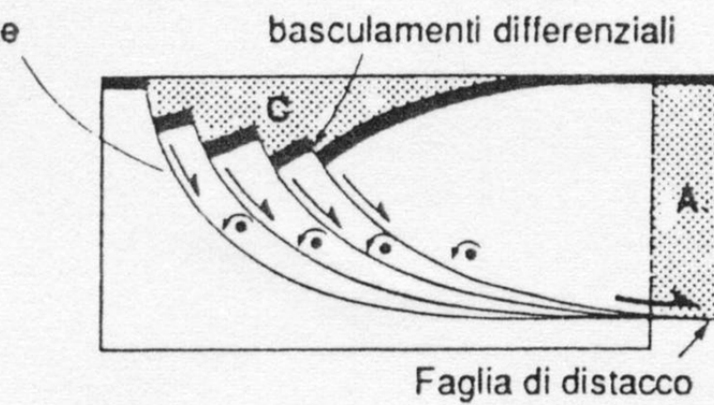
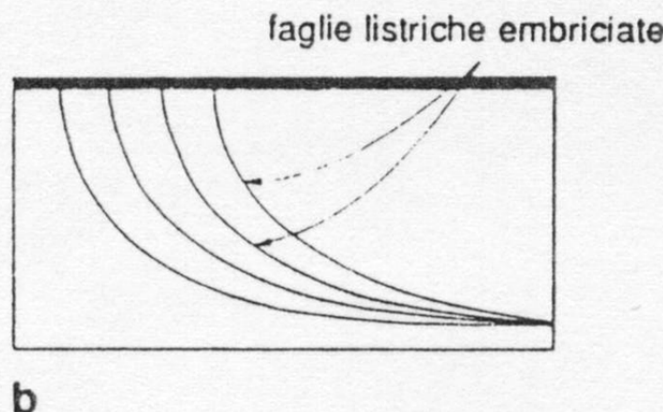
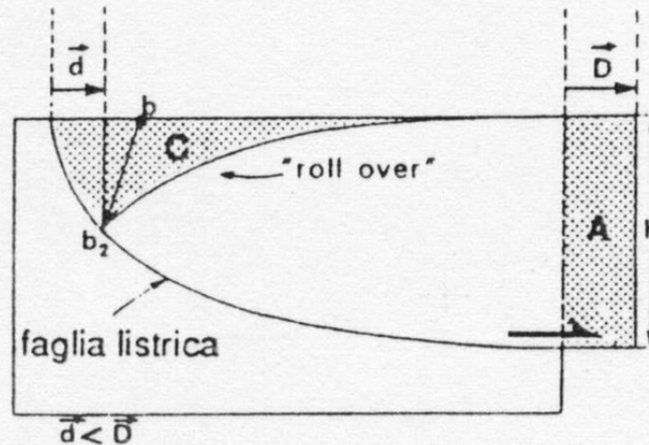
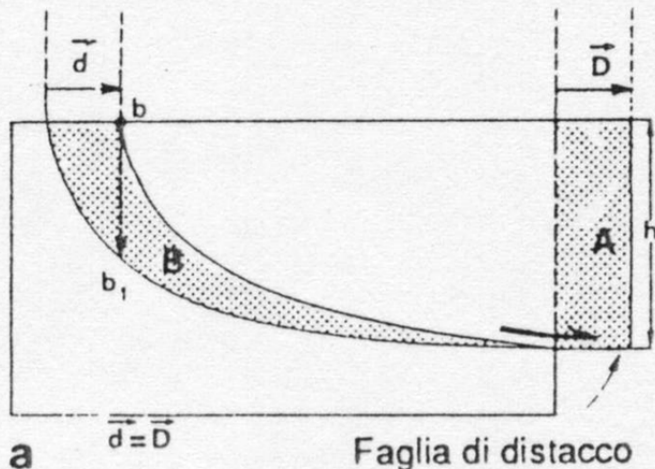
Faglia listrica



Da Ramsay and Huber, 1987

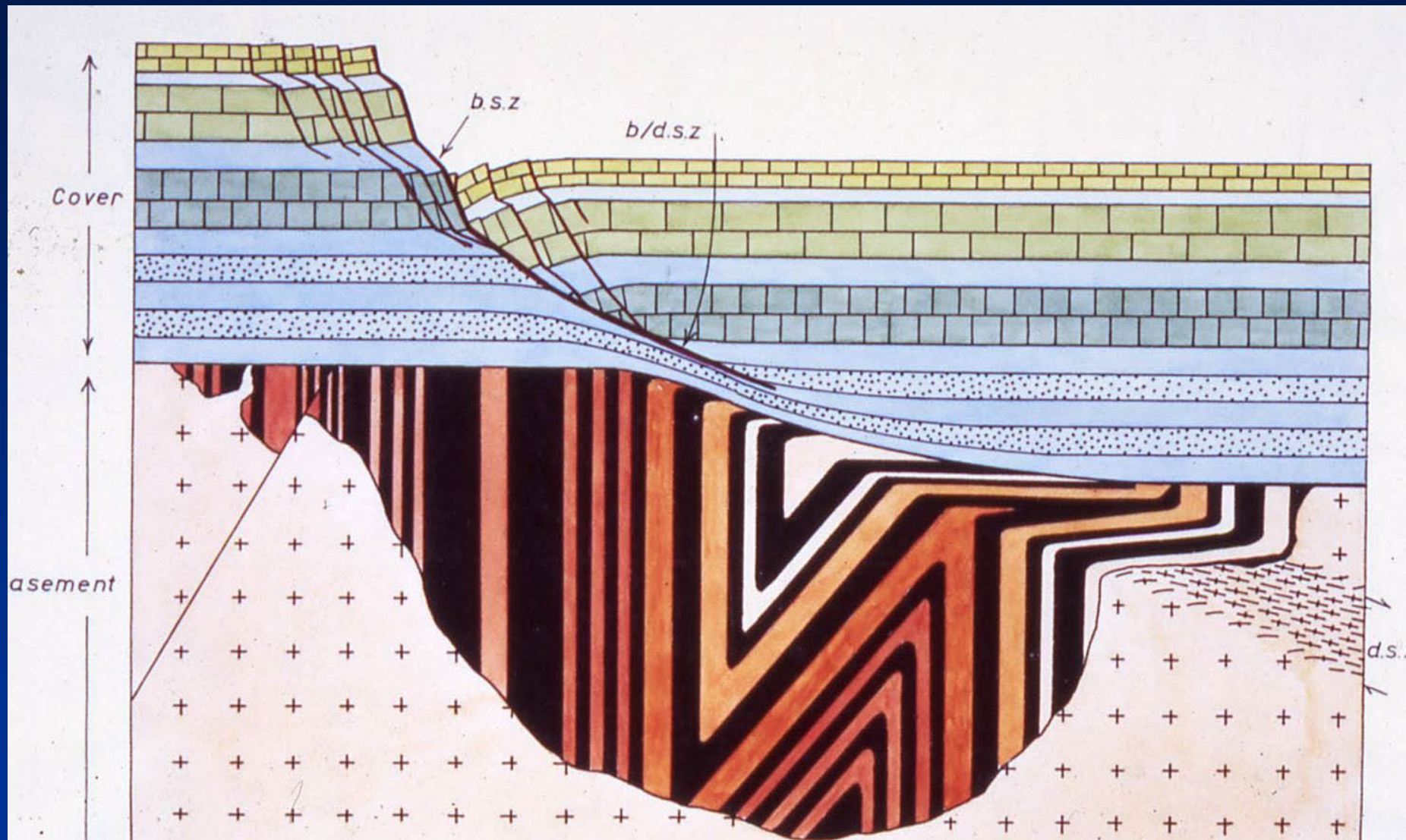


Da Hancock, 1985

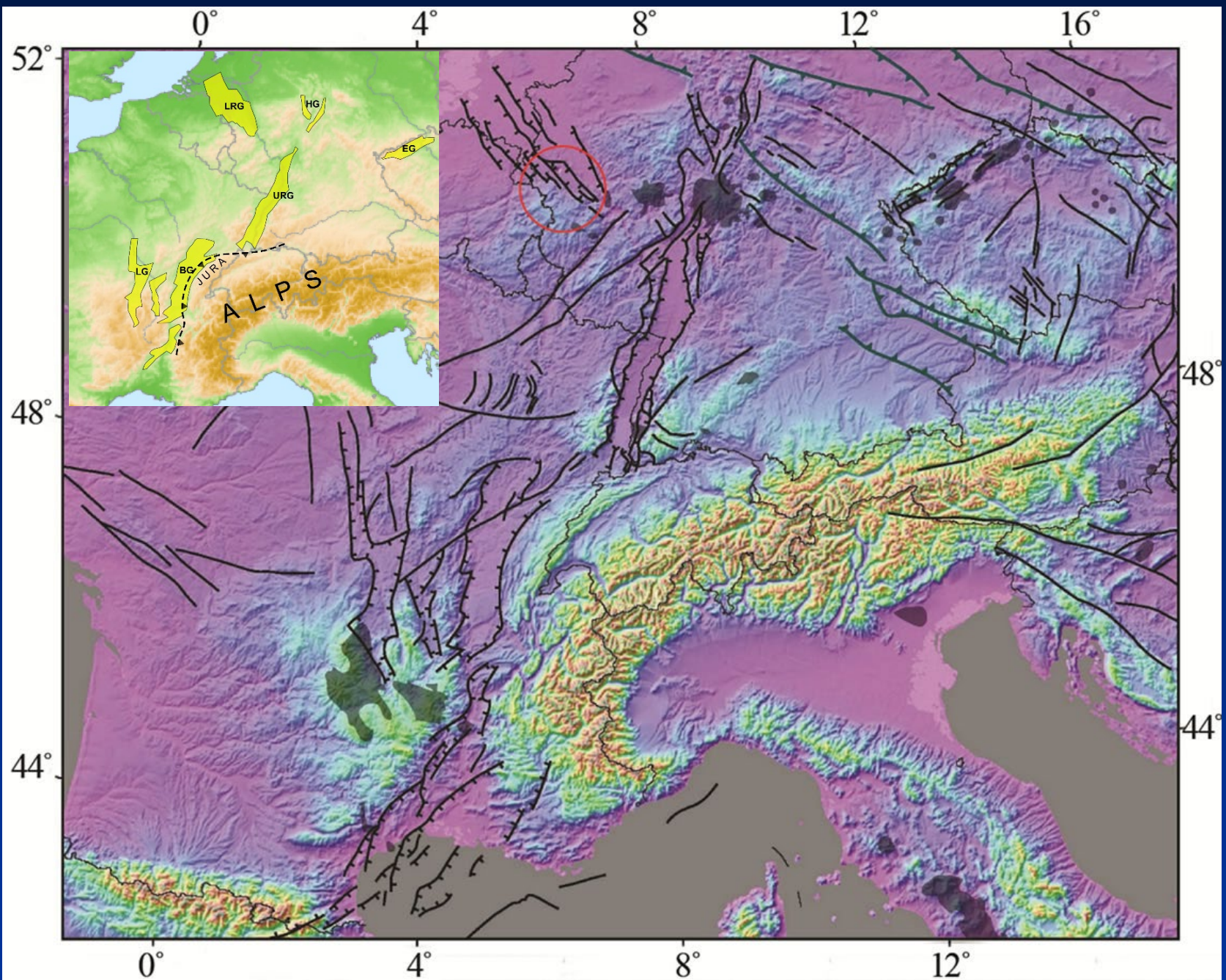


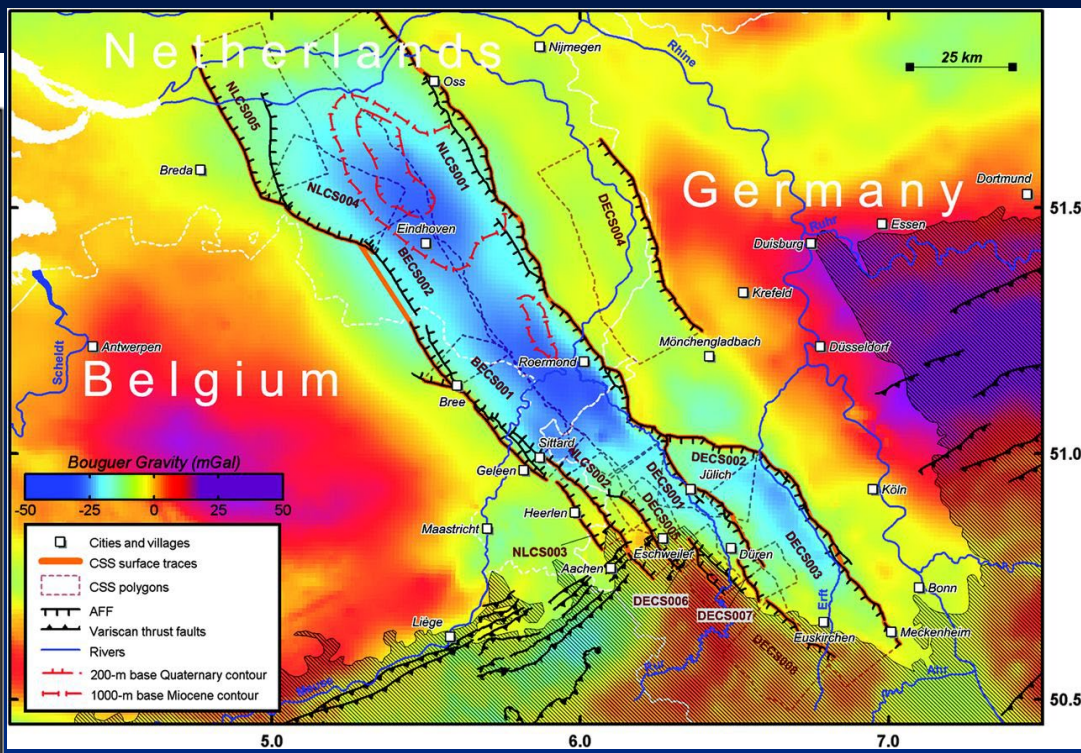
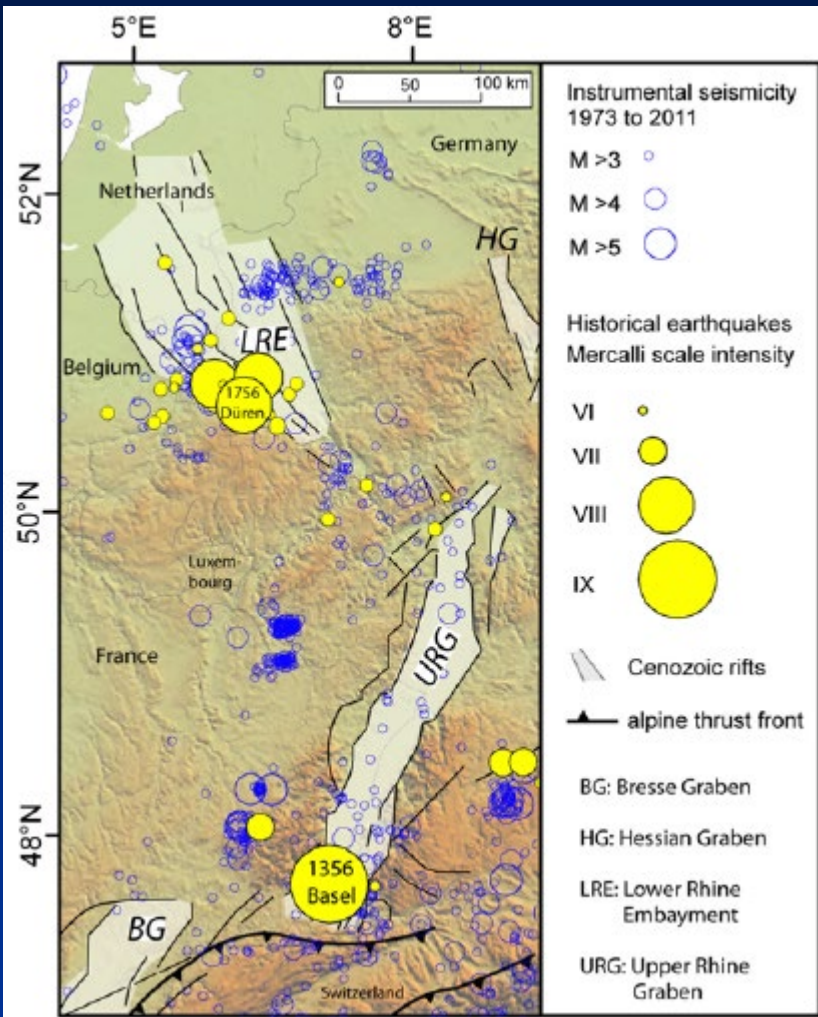
Da Mercier & Vergely, 1996

## Estensione crostale

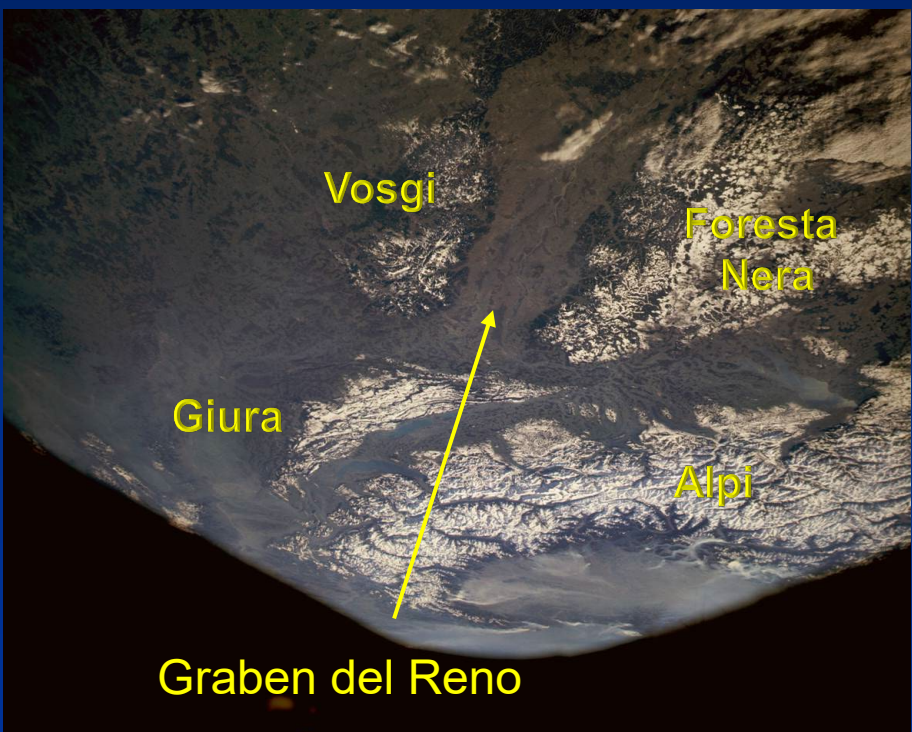


Da Ramsay and Huber, 1987

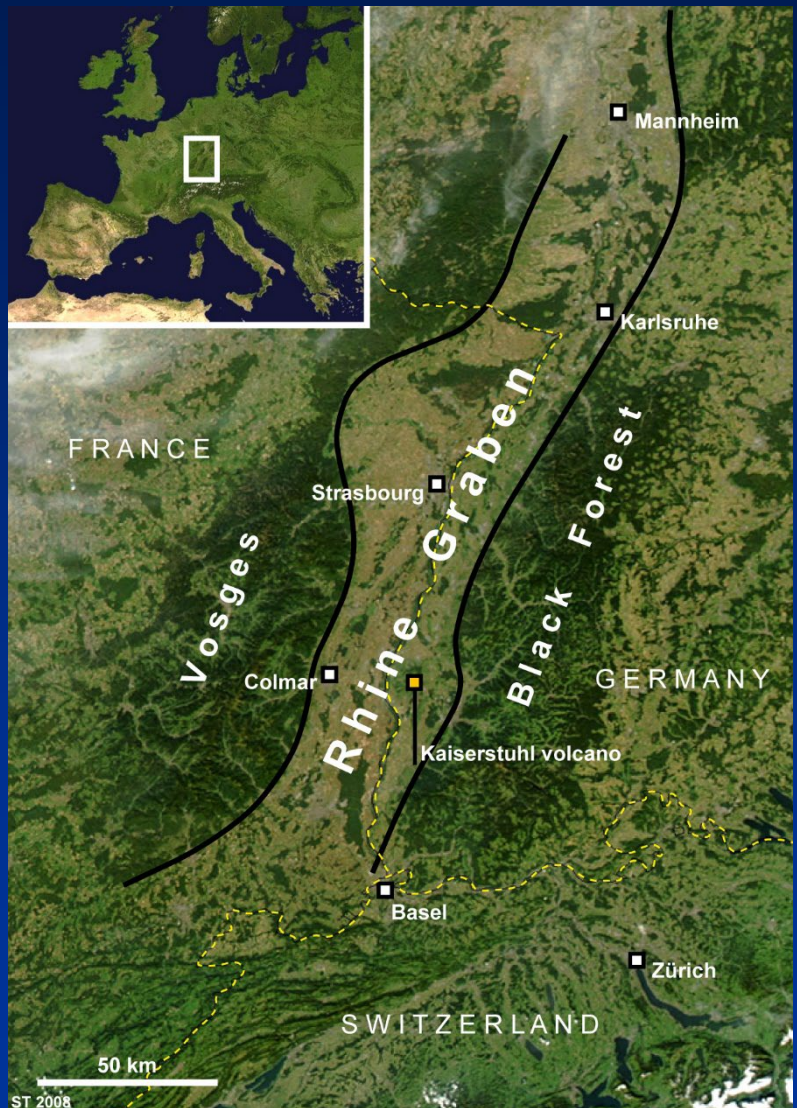


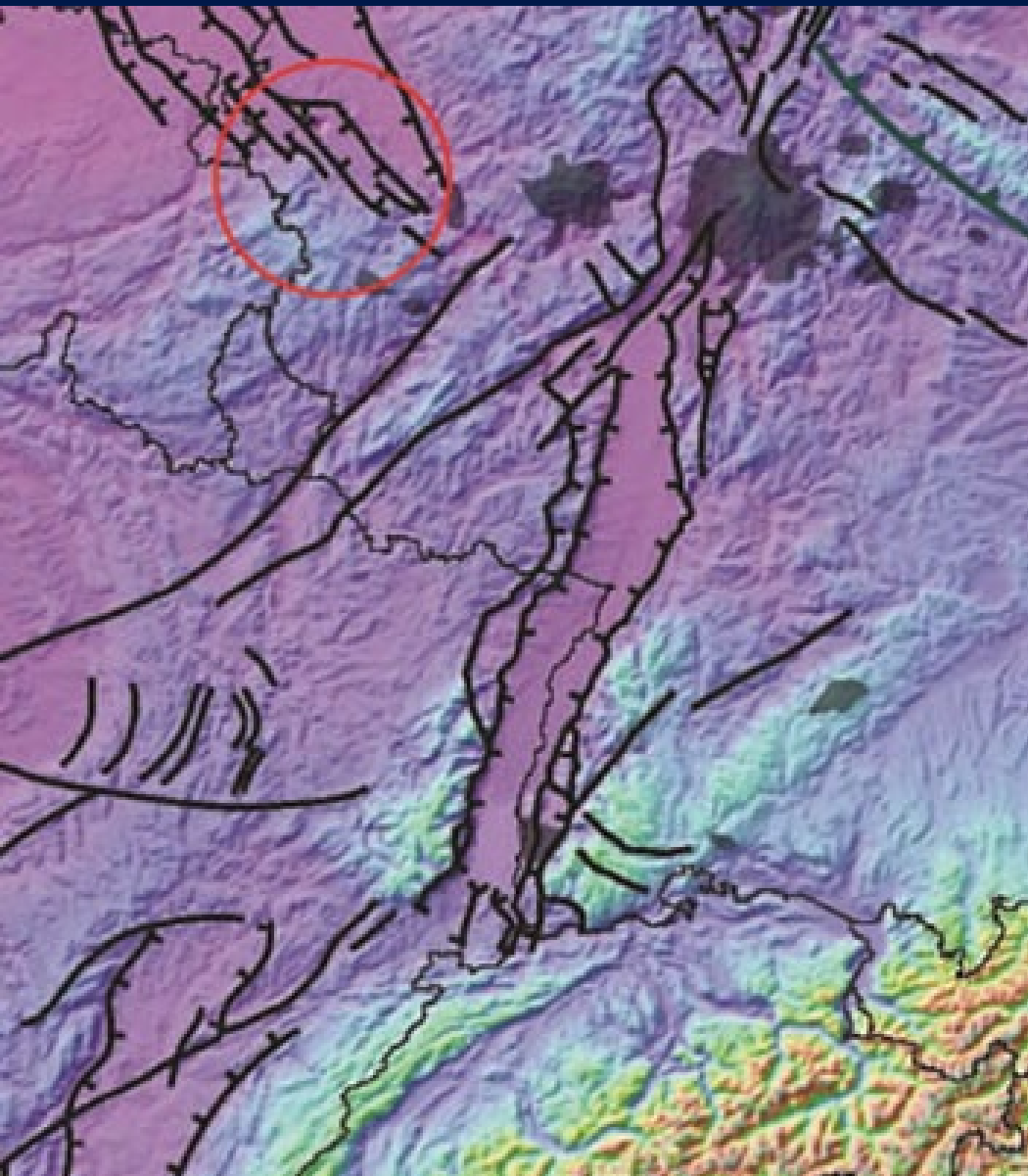


Da Kuebler, 2012

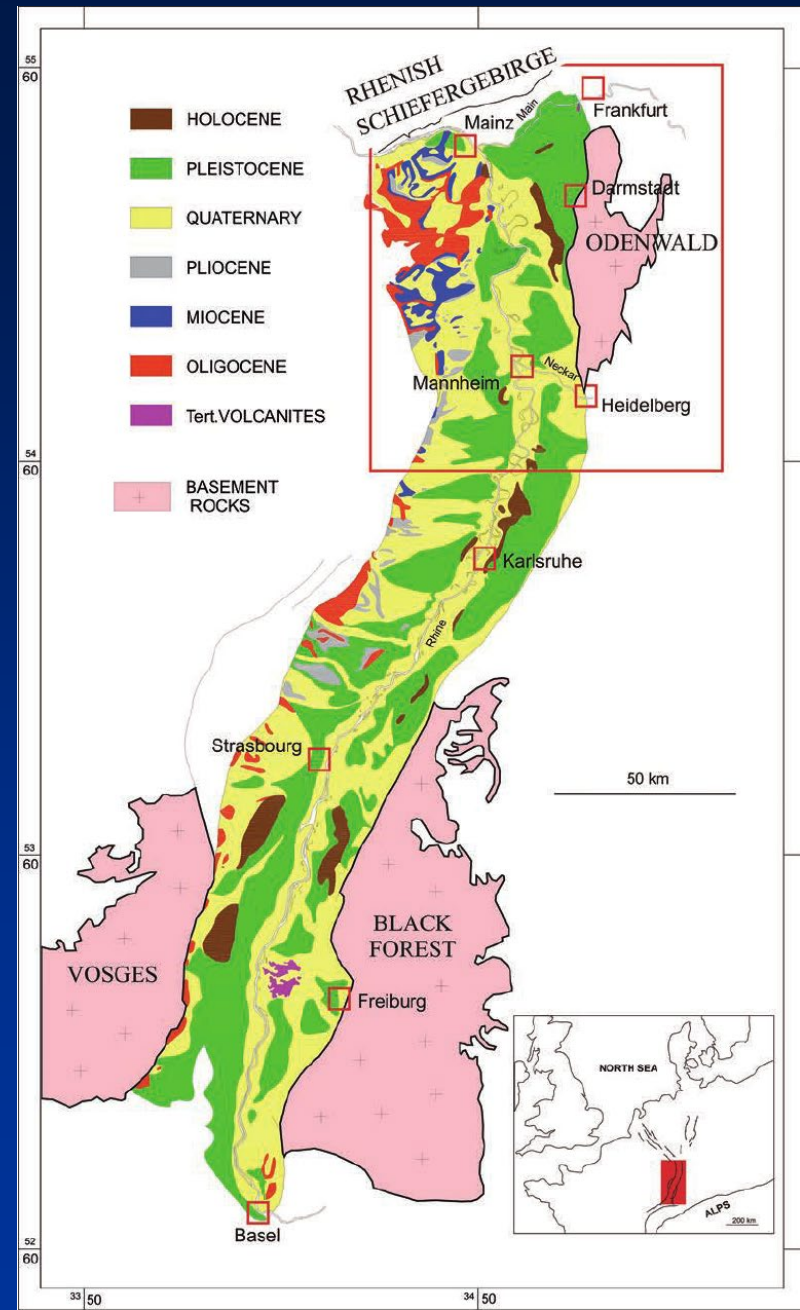


# Graben del Reno



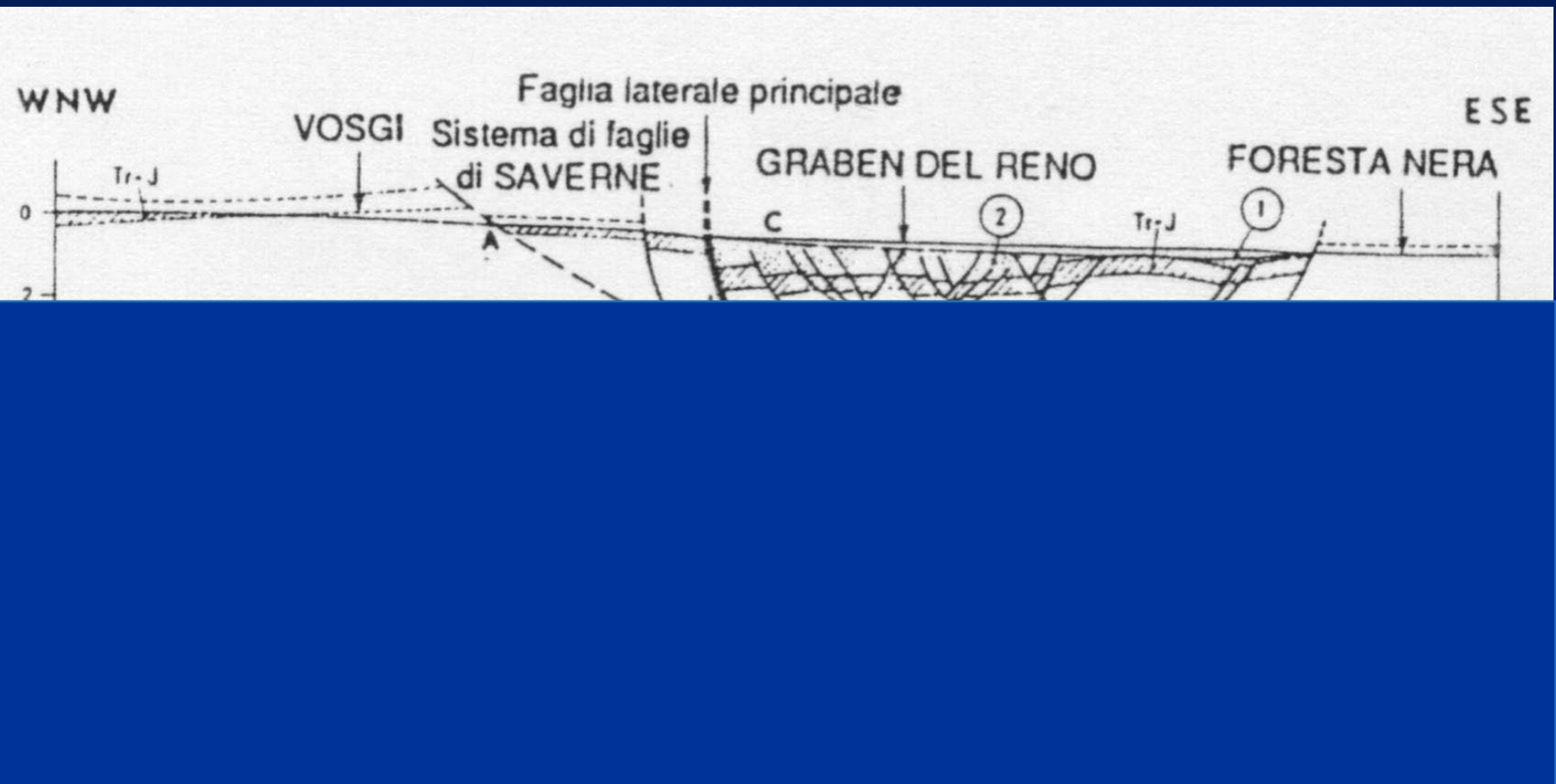


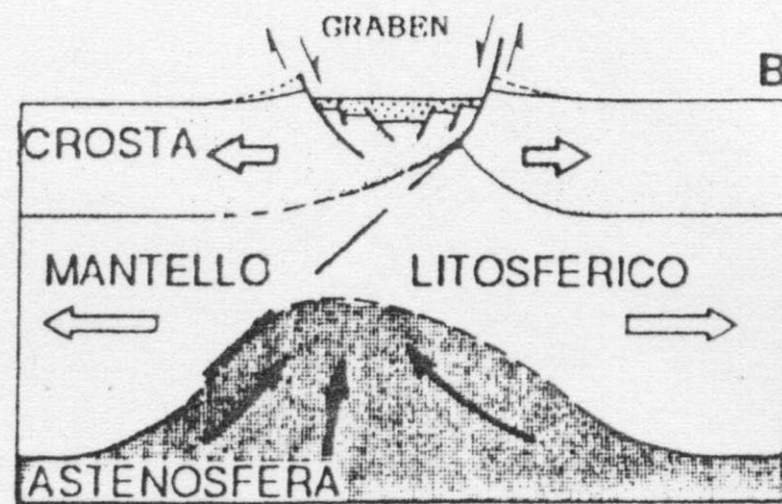
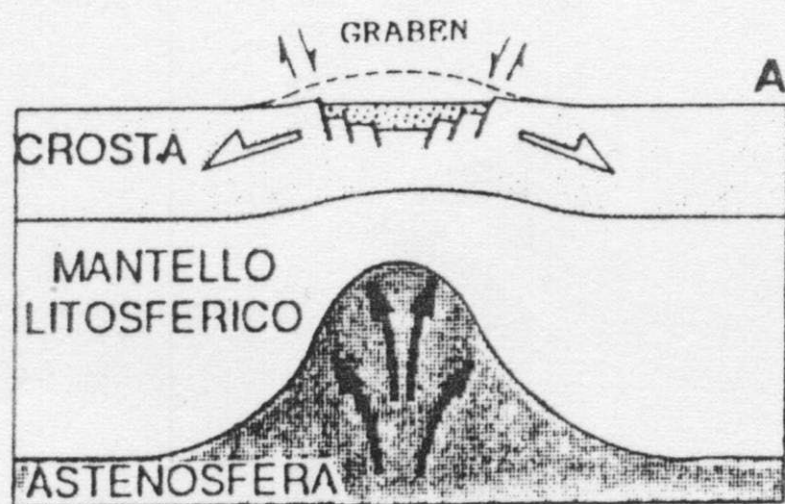
Da Dijkshoorn & Clauser, 2013



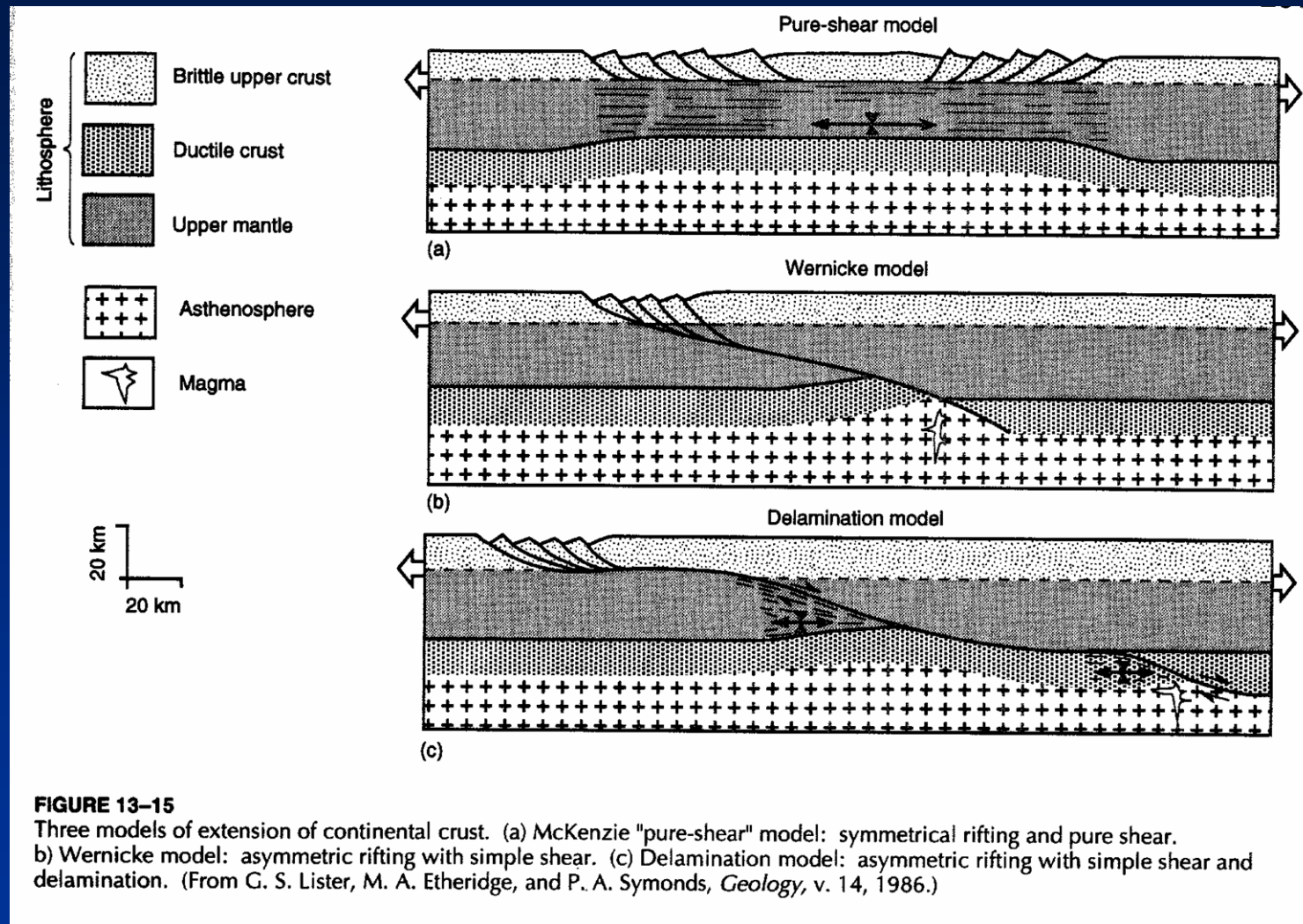
Przyrowski & Schäfer, 2015

Da Mercier & Vergely, 1996





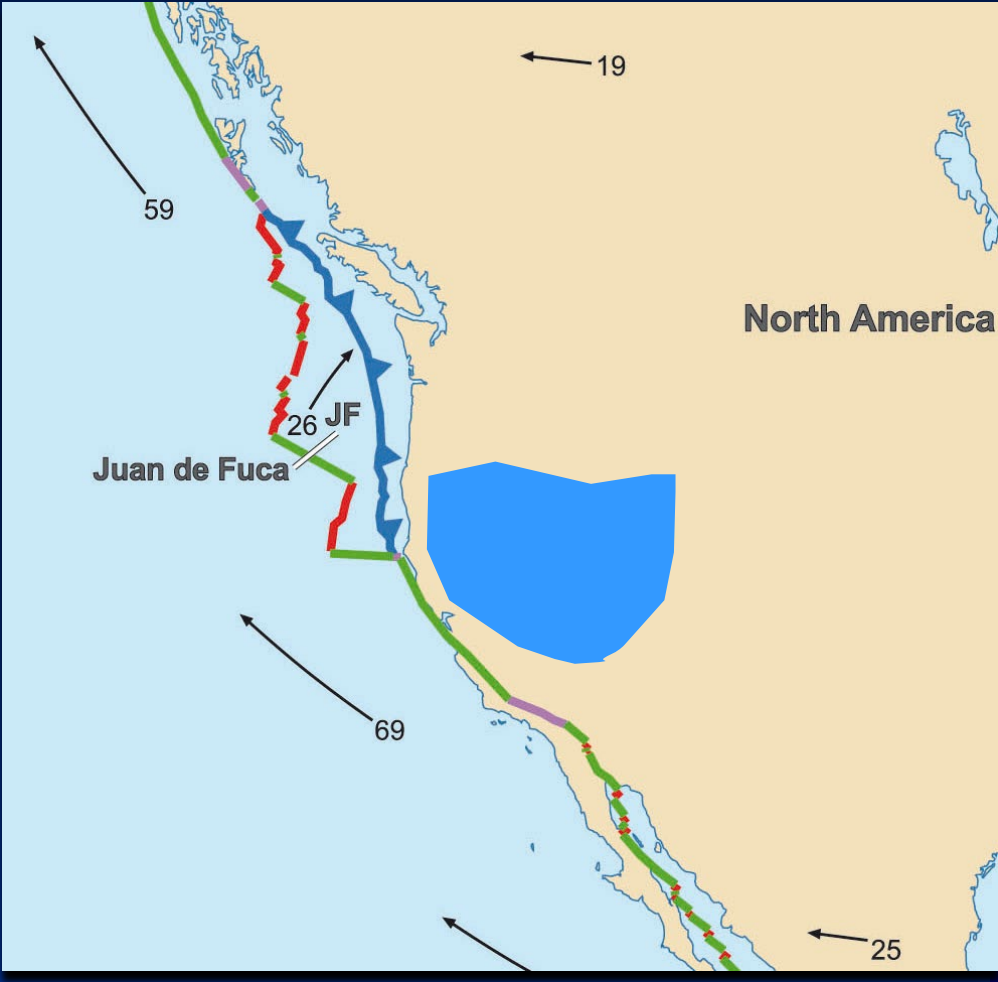
Da Mercier & Vergely, 1996



**FIGURE 13-15**

Three models of extension of continental crust. (a) McKenzie "pure-shear" model: symmetrical rifting and pure shear. b) Wernicke model: asymmetric rifting with simple shear. (c) Delamination model: asymmetric rifting with simple shear and delamination. (From G. S. Lister, M. A. Etheridge, and P. A. Symonds, *Geology*, v. 14, 1986.)

Da Hatcher , 1995

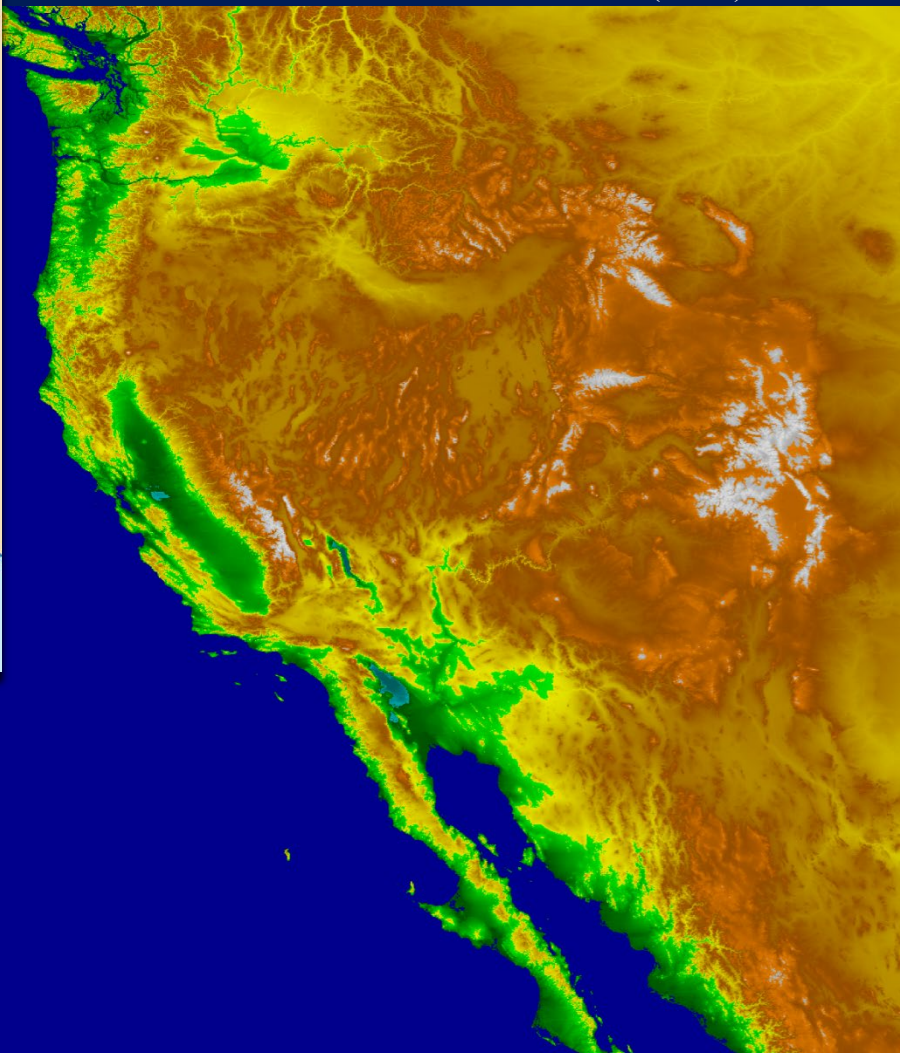


North America

Basin & Range, estensione intra-continentale

[https://commons.wikimedia.org/wiki/  
File:Tectonic\\_plates\\_boundaries\\_detailed-en.svg](https://commons.wikimedia.org/wiki/File:Tectonic_plates_boundaries_detailed-en.svg)

Shaded reliefs e batimetria da  
NOAA National Centers for  
Environmental Information  
(NCEI)

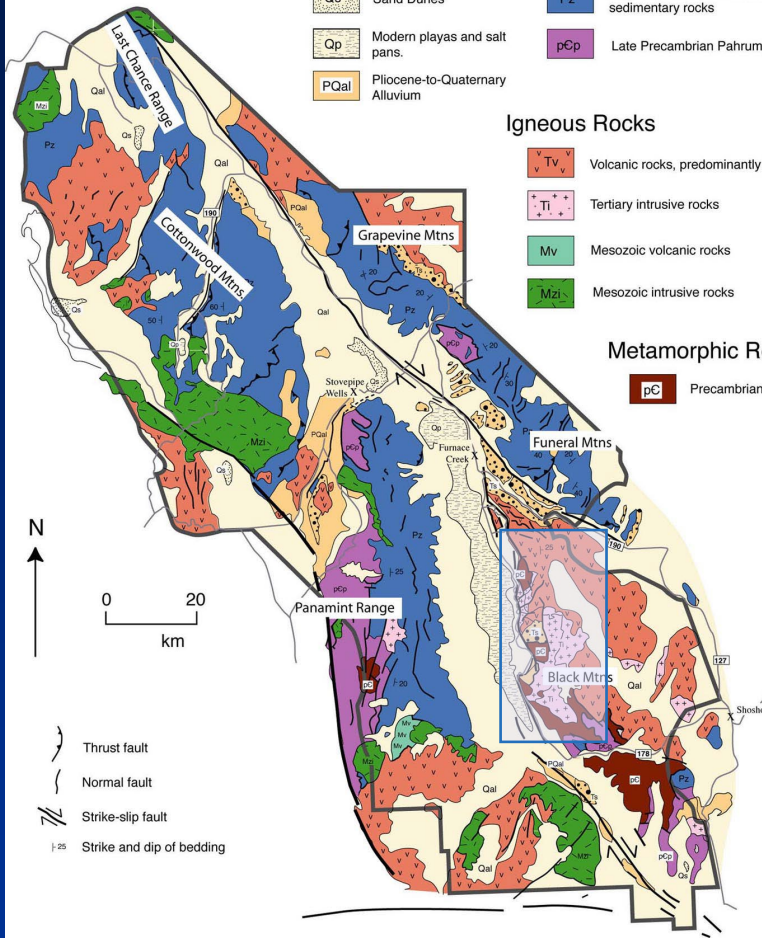


# Death Valley National Park, California

compiled by Marli Bryant Miller

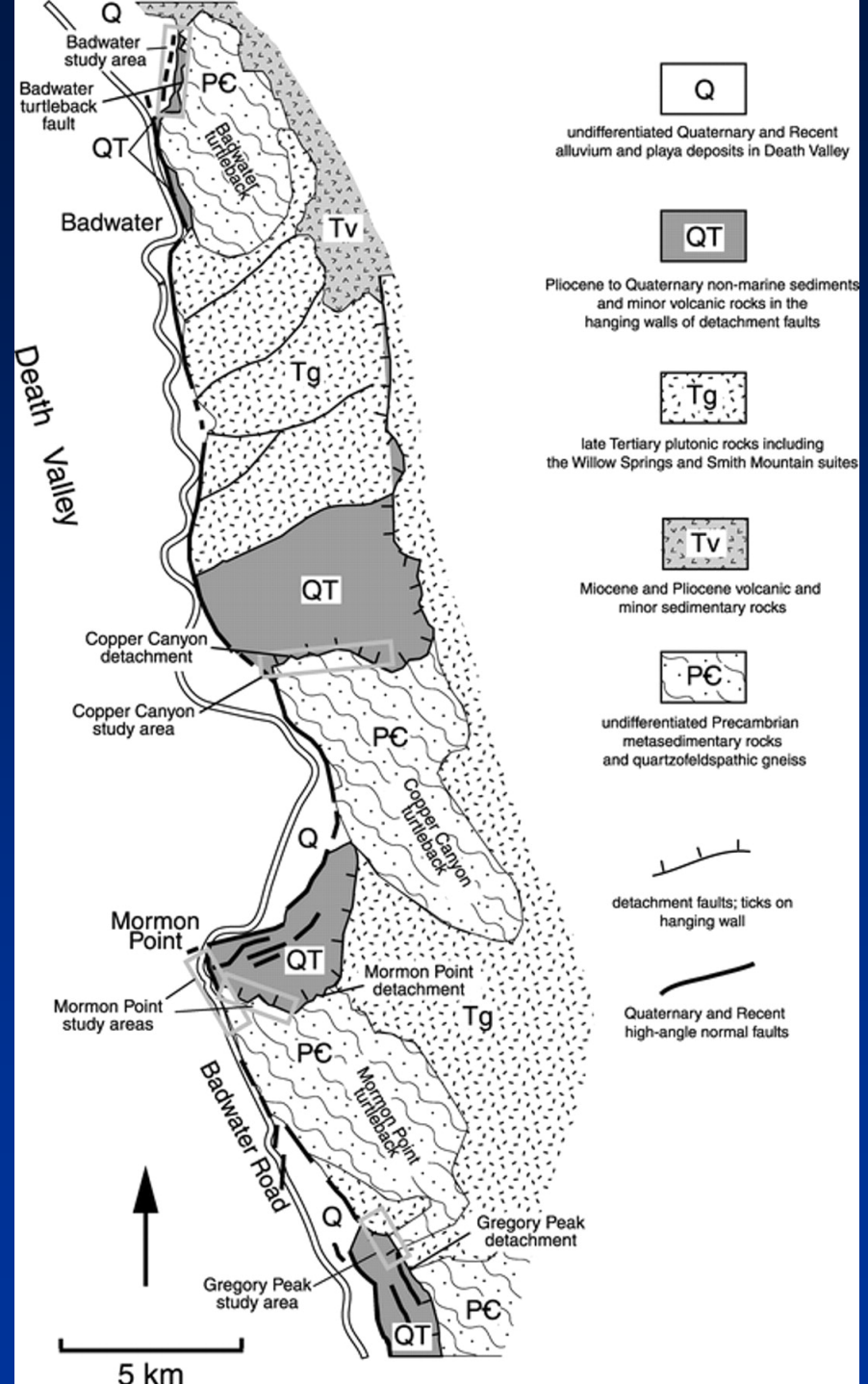
## Sediments and Sedimentary Rocks

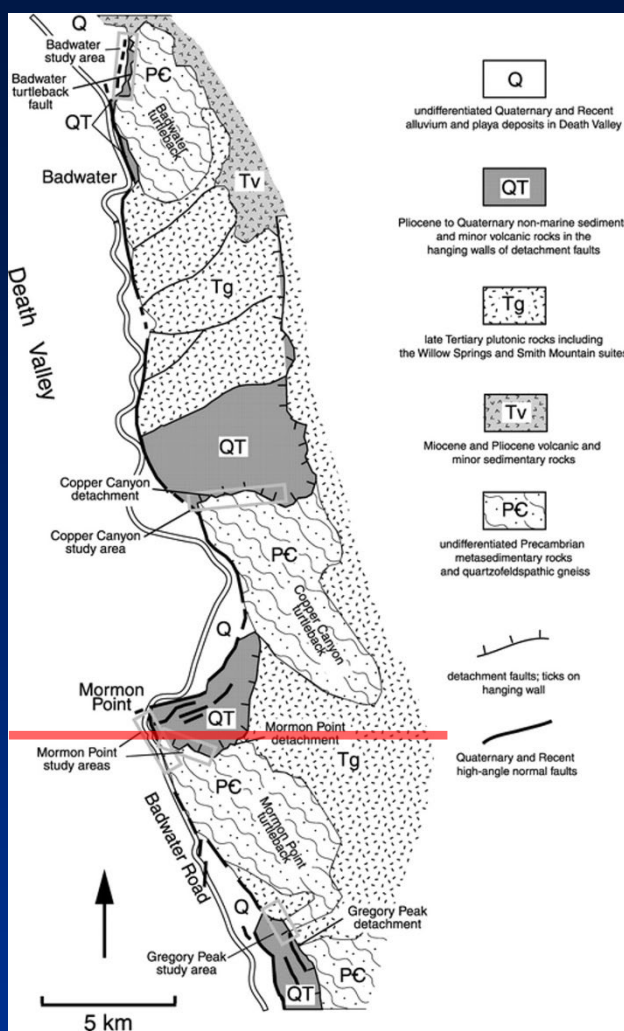
Qal	Quaternary Alluvium
Qs	Sand Dunes
Qp	Modern playas and salt pans.
PQal	Pliocene-to-Quaternary Alluvium
Ts	Tertiary sedimentary rocks
Pz	Paleozoic and Late Proterozoic sedimentary rocks
pCp	Late Precambrian Pahrump Group



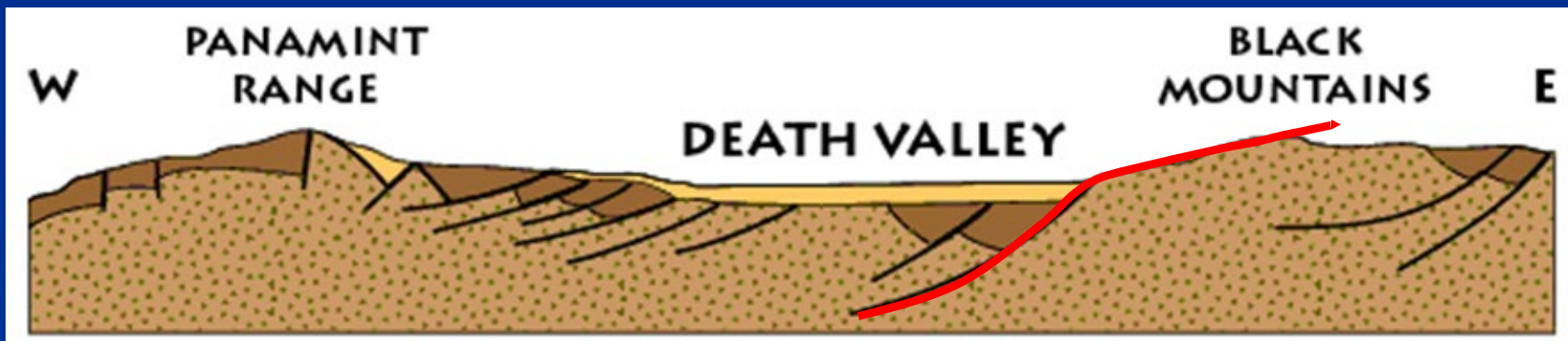
Da Bryant Miller M.

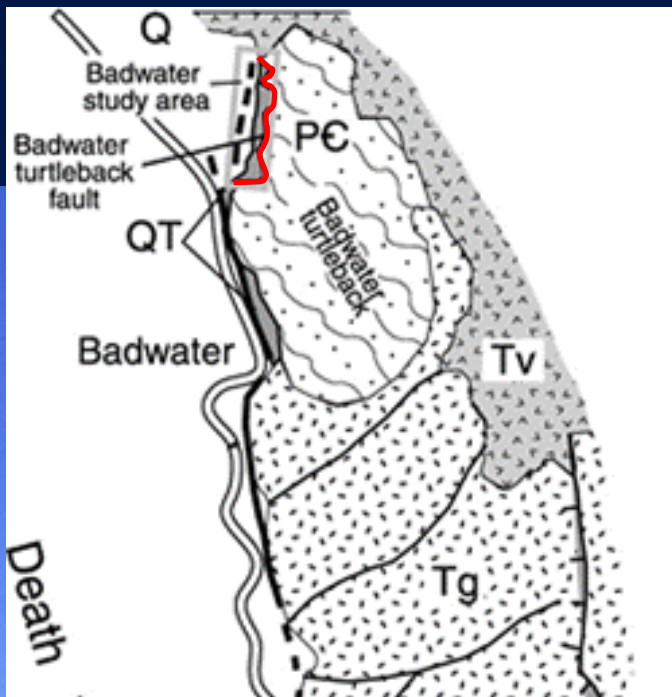
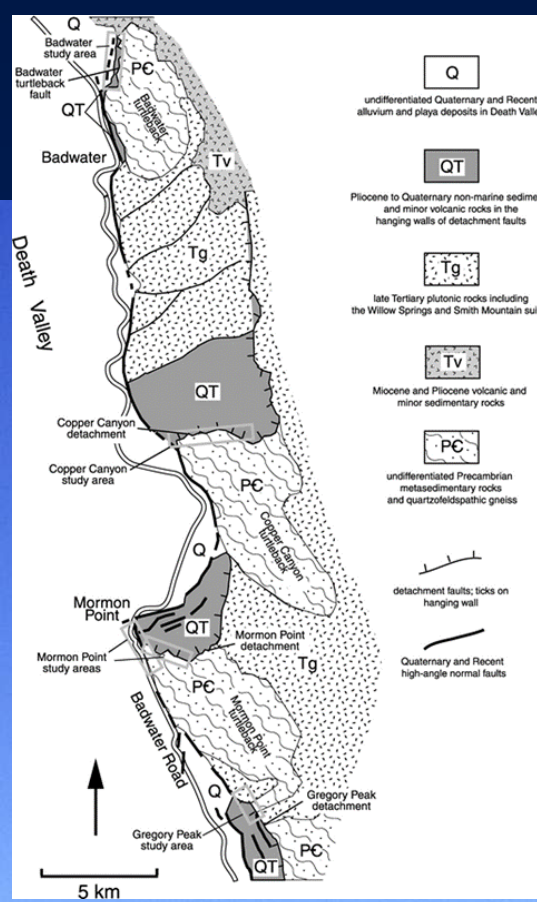
# Valle della morte (Basin & Range)



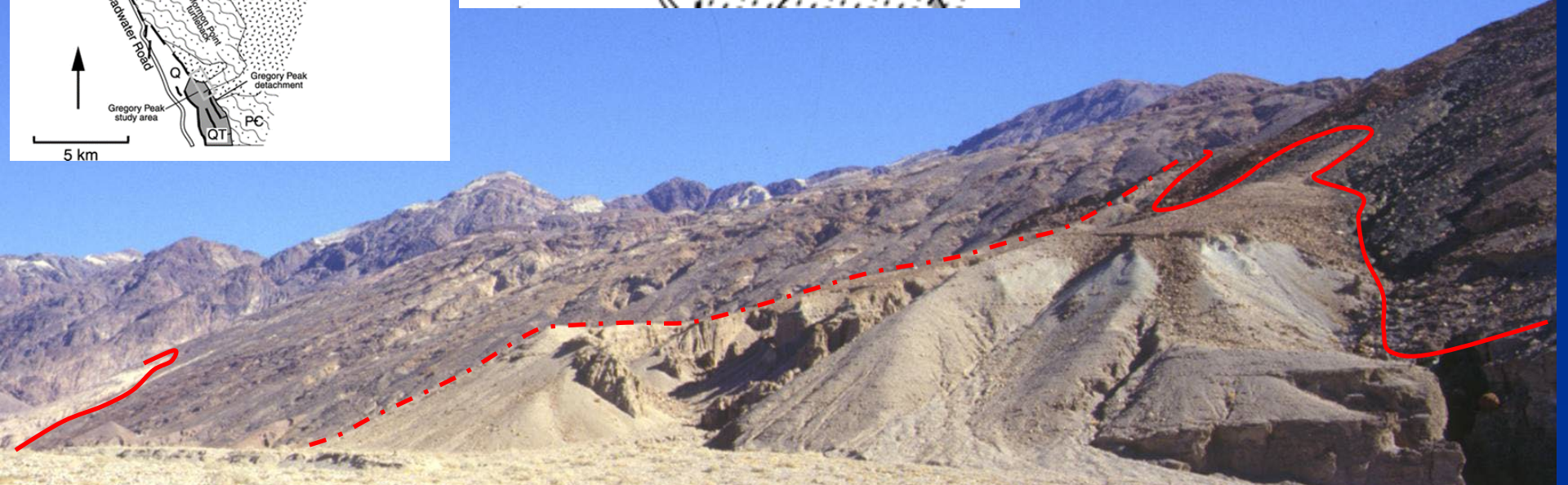


USGS Geology of Death Valley National Park

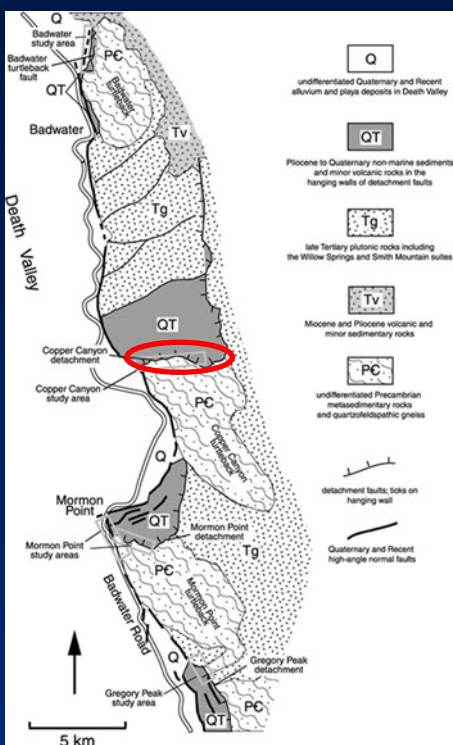




# Badwater Turtleback normal fault

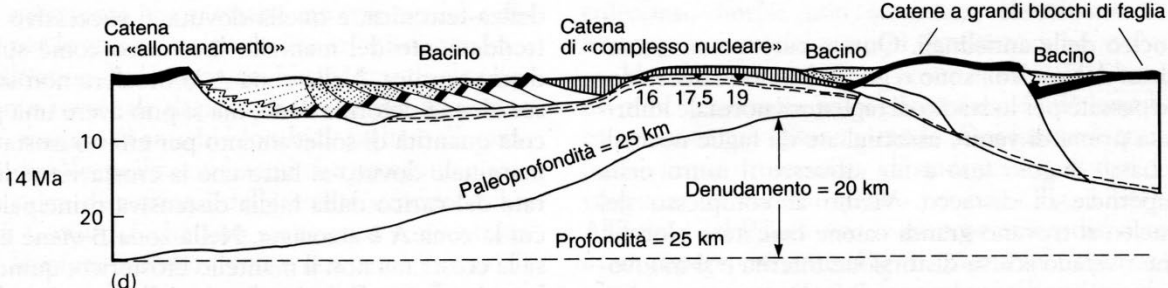
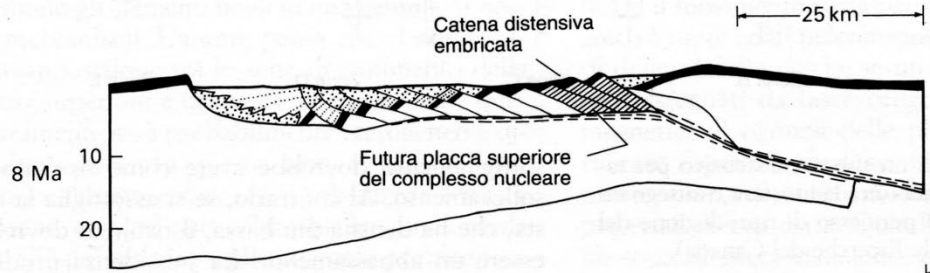
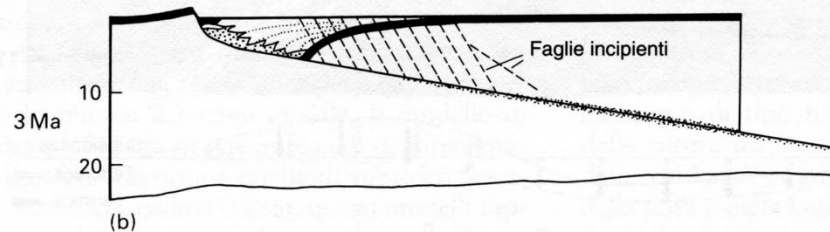


# Badwater Turtleback normal fault: Copper Canyon fault zone



GA Pini

Tempo a 5 mm a<sup>-1</sup>



Riferimento pre-orogenico

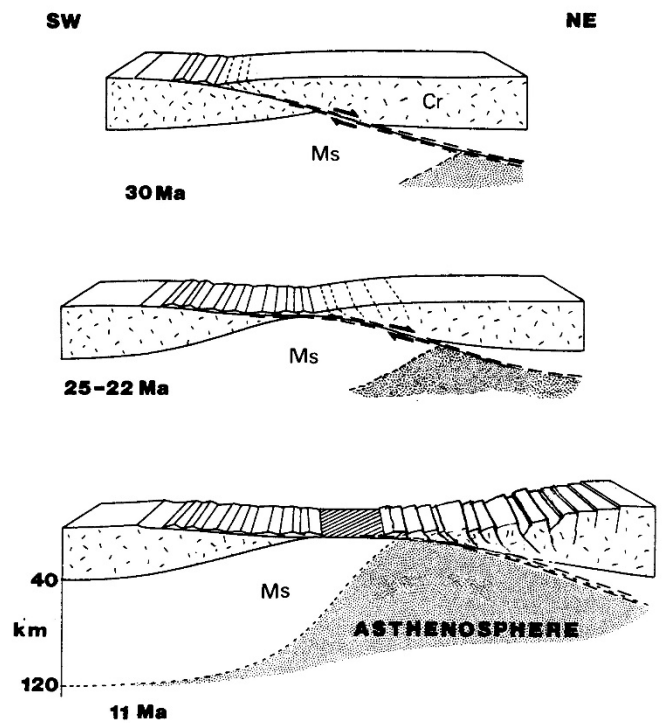
Depositi clastici orogenici: fini-lacustri grossolani

Rocce molto assottigliate e stirate

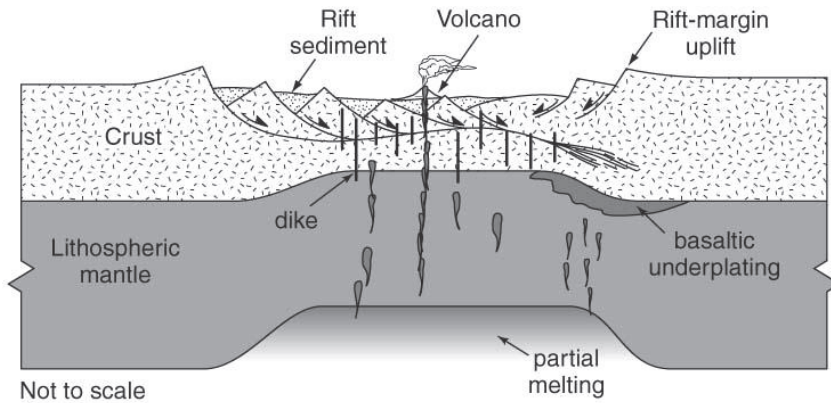
Zona di taglio duttile

16,5 Paleoprofondità della placca inferiore del <complesso nucleare>

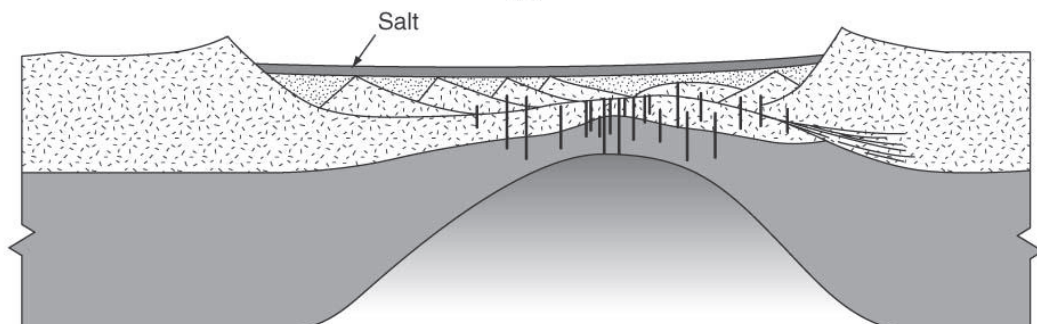
Estensione totale = 72 km (100%)



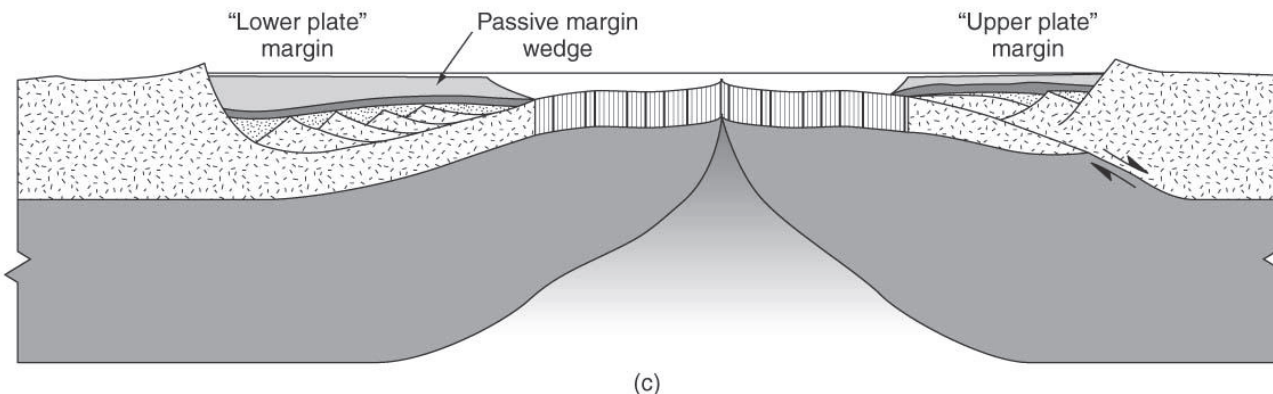
Da van der Pluijm &  
Marshak, 2004



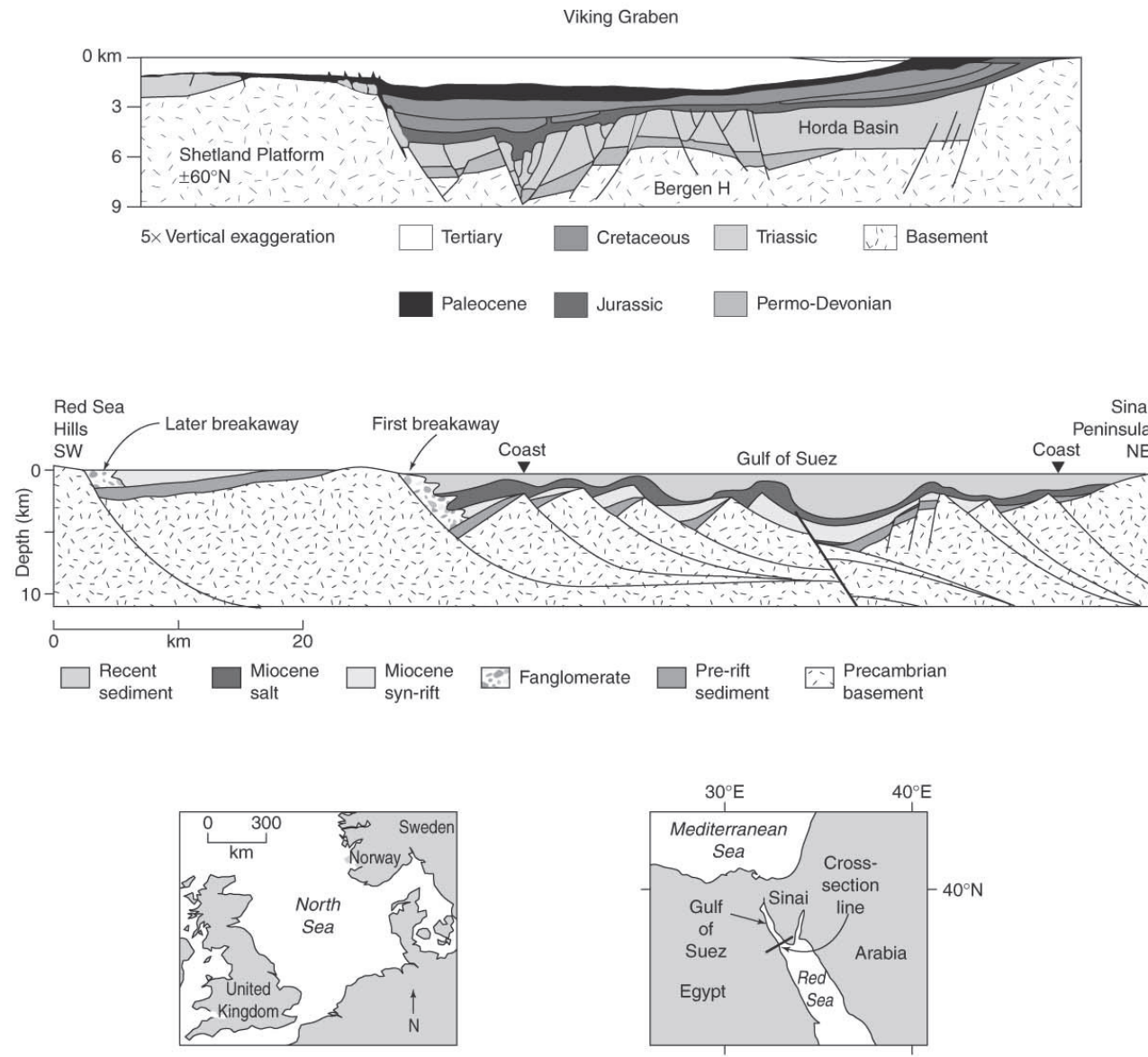
(a)



(b)



(c)



Da van der Pluijm & Marshak, 2004

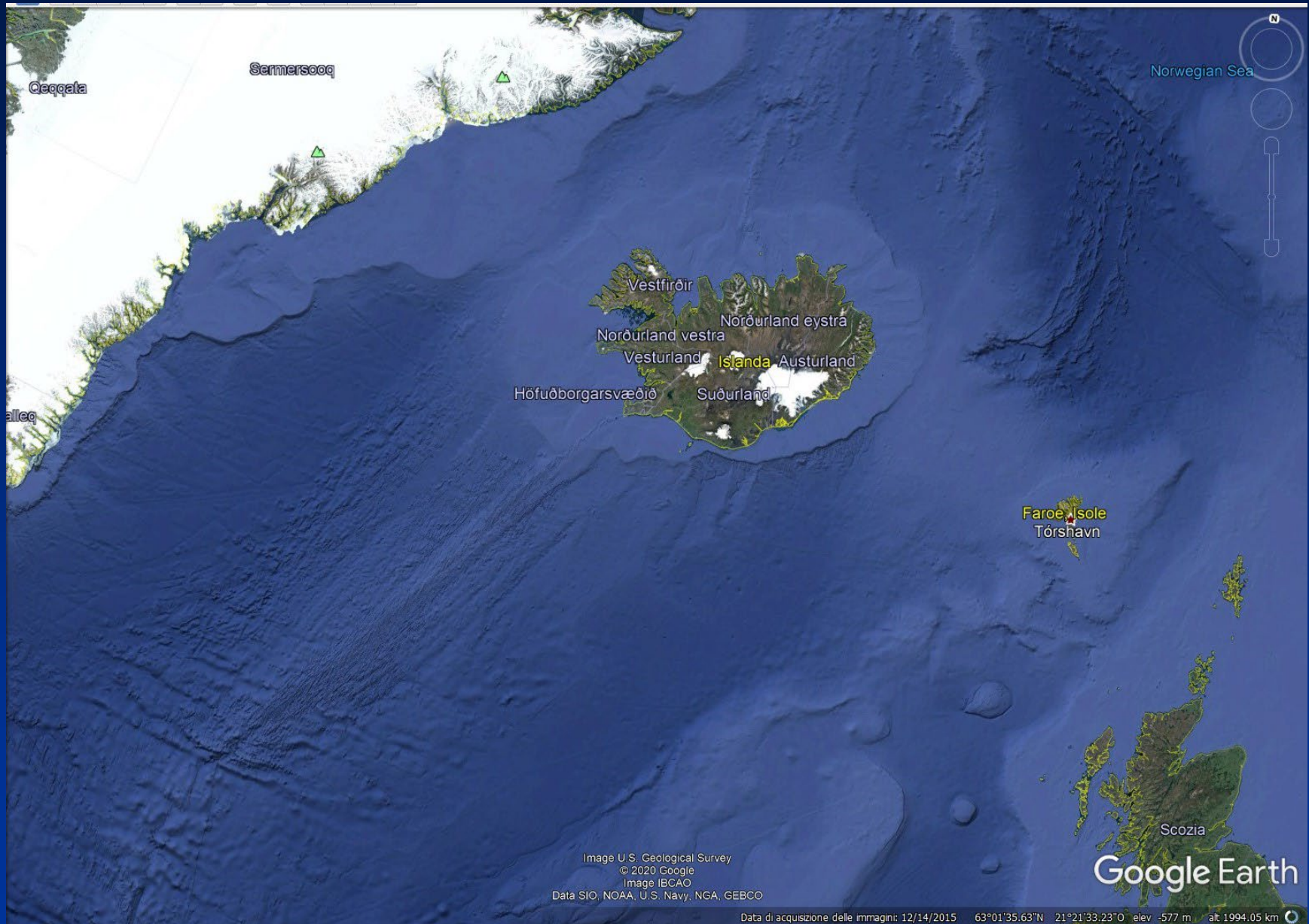
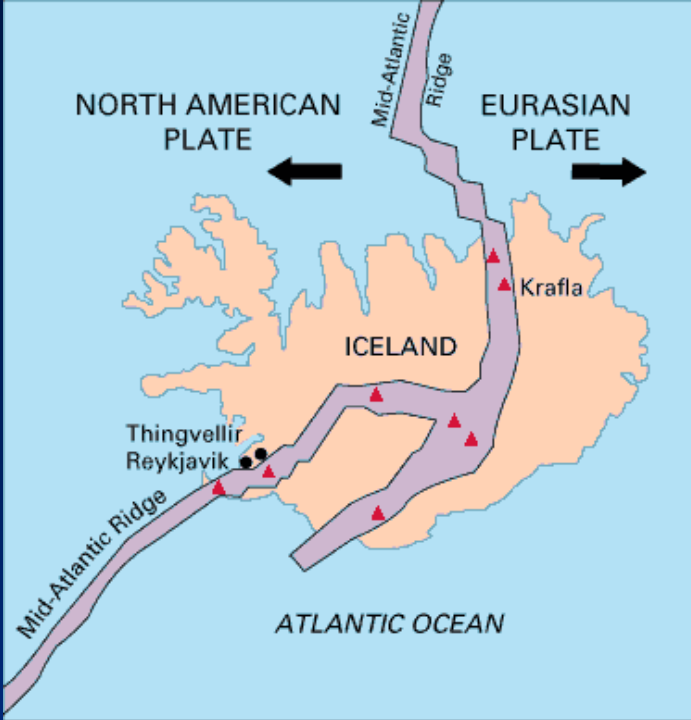


Image U.S. Geological Survey  
© 2020 Google  
Image IBCAO  
Data SIO, NOAA, U.S. Navy, NGA, GEBCO

Data di acquisizione delle immagini: 12/14/2015 63°01'35.63"N 21°21'33.23"E elev -577 m alt 1994.05 km

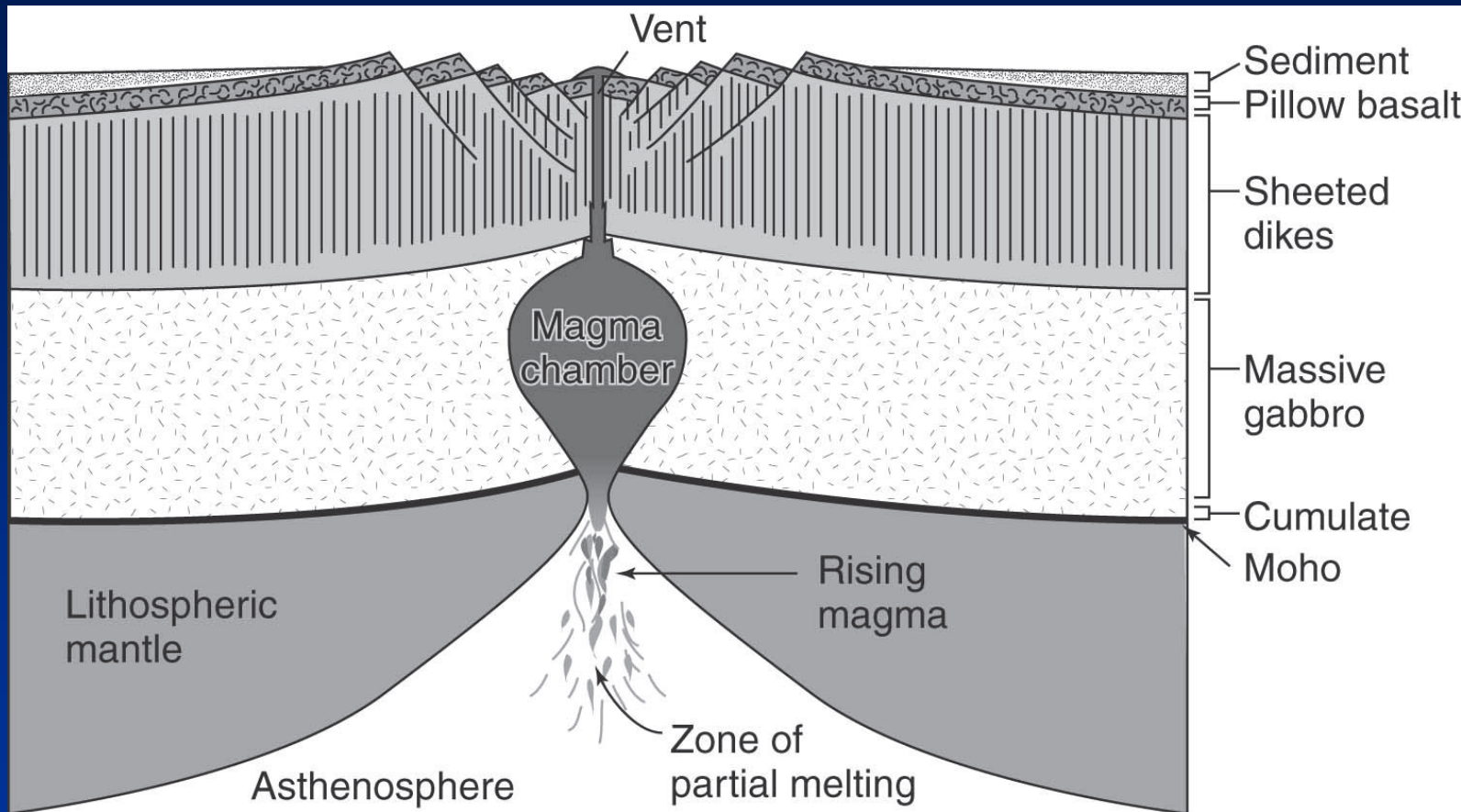


USGS:  
<https://pubs.usgs.gov/gip/dynamic/understanding.html>

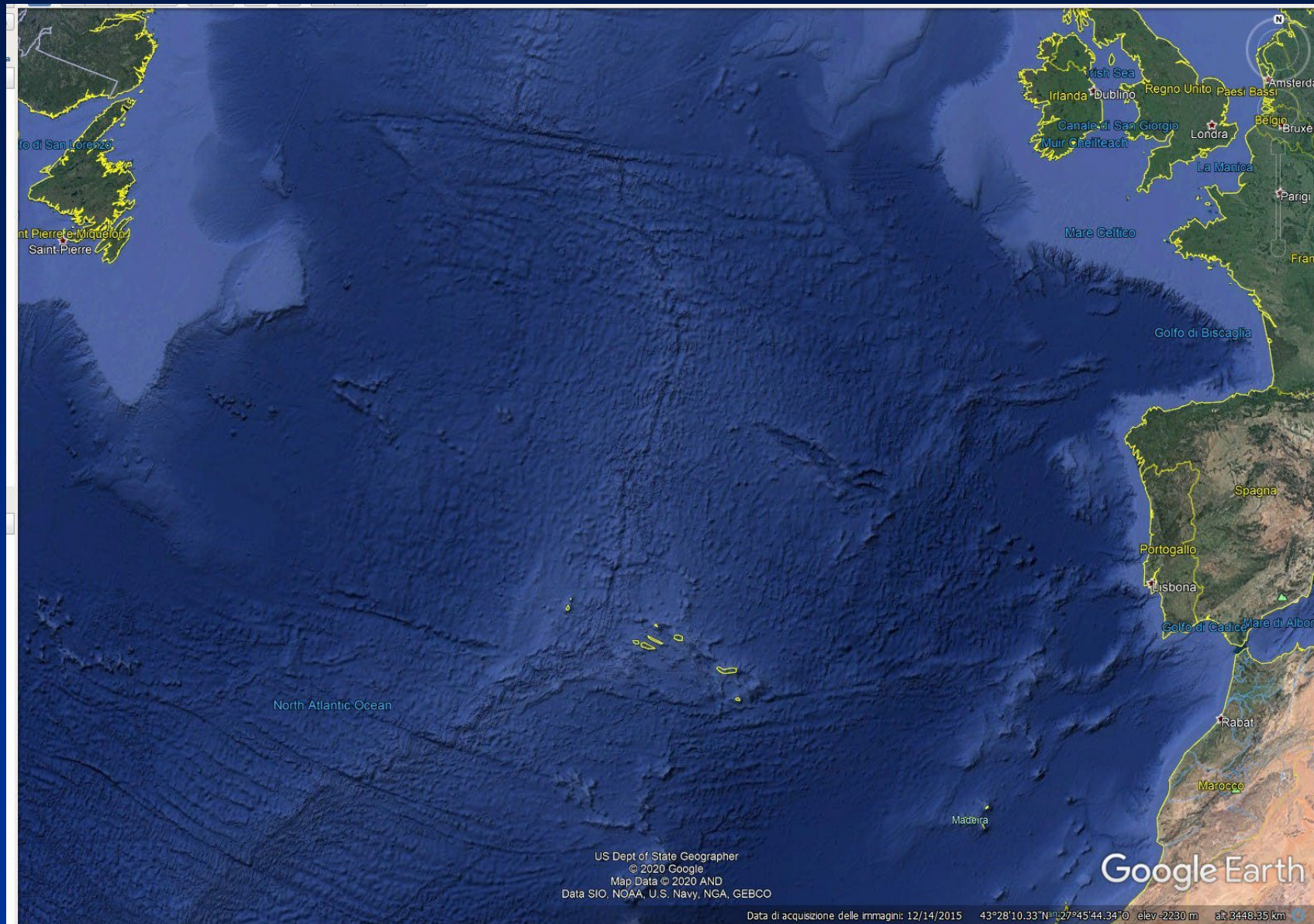


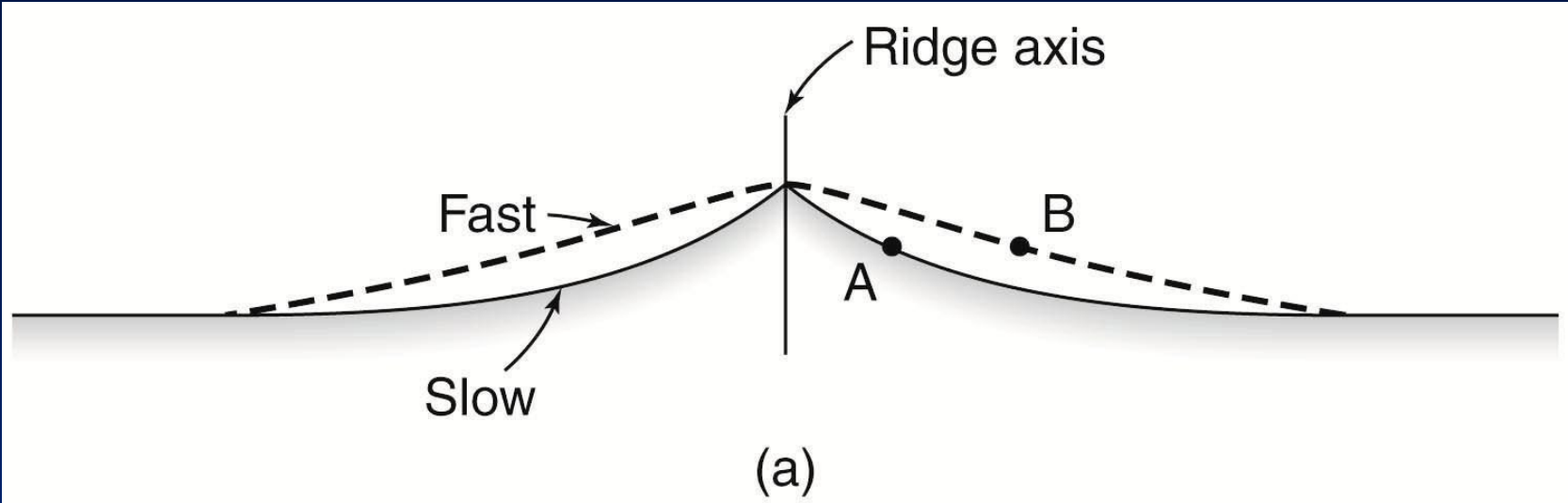
Thingvellir National Park, Iceland

[https://commons.wikimedia.org/wiki/File:Iceland\\_mid\\_atlantic\\_ridge.JPG](https://commons.wikimedia.org/wiki/File:Iceland_mid_atlantic_ridge.JPG)

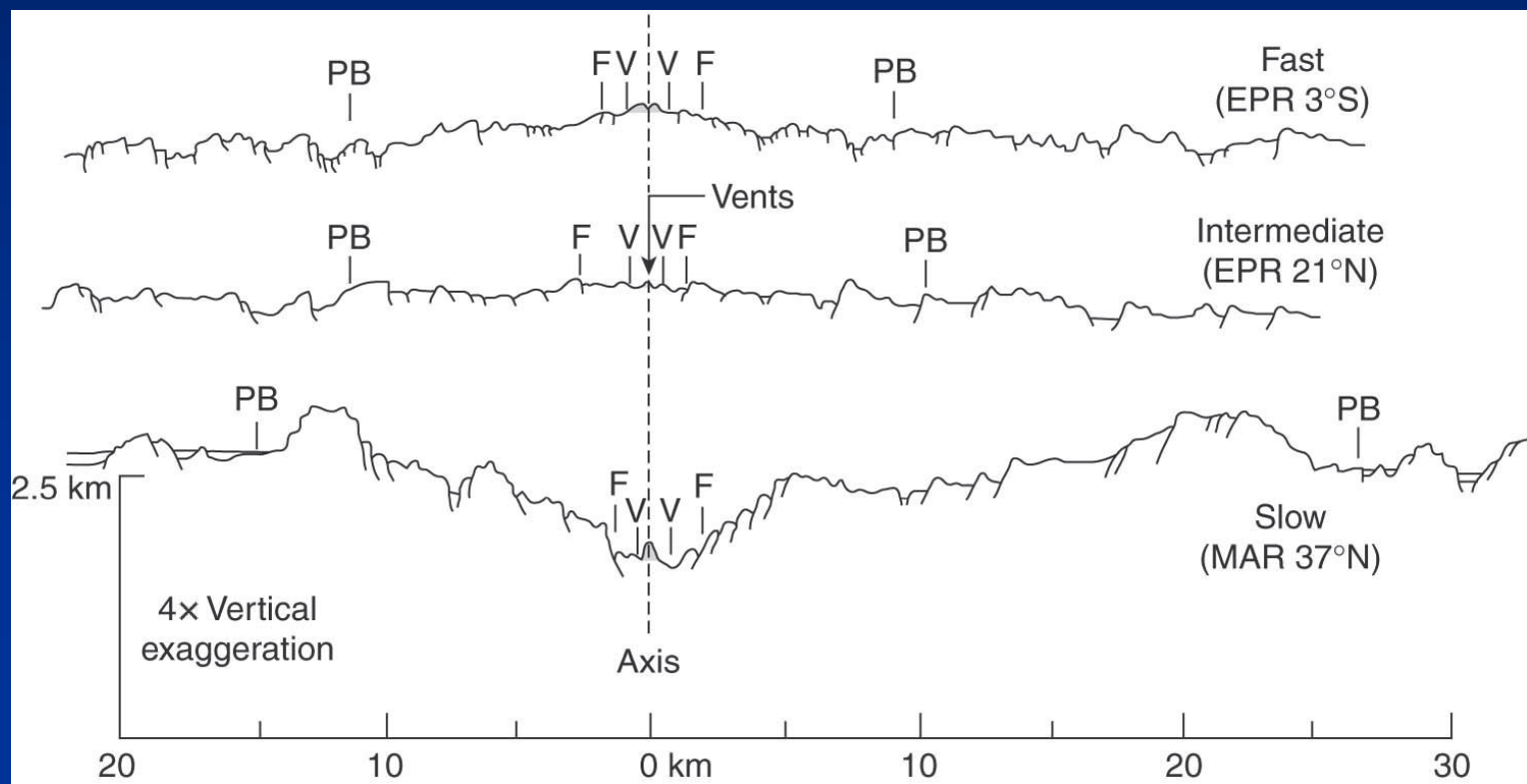


Da van der Pluijm & Marshak, 2004

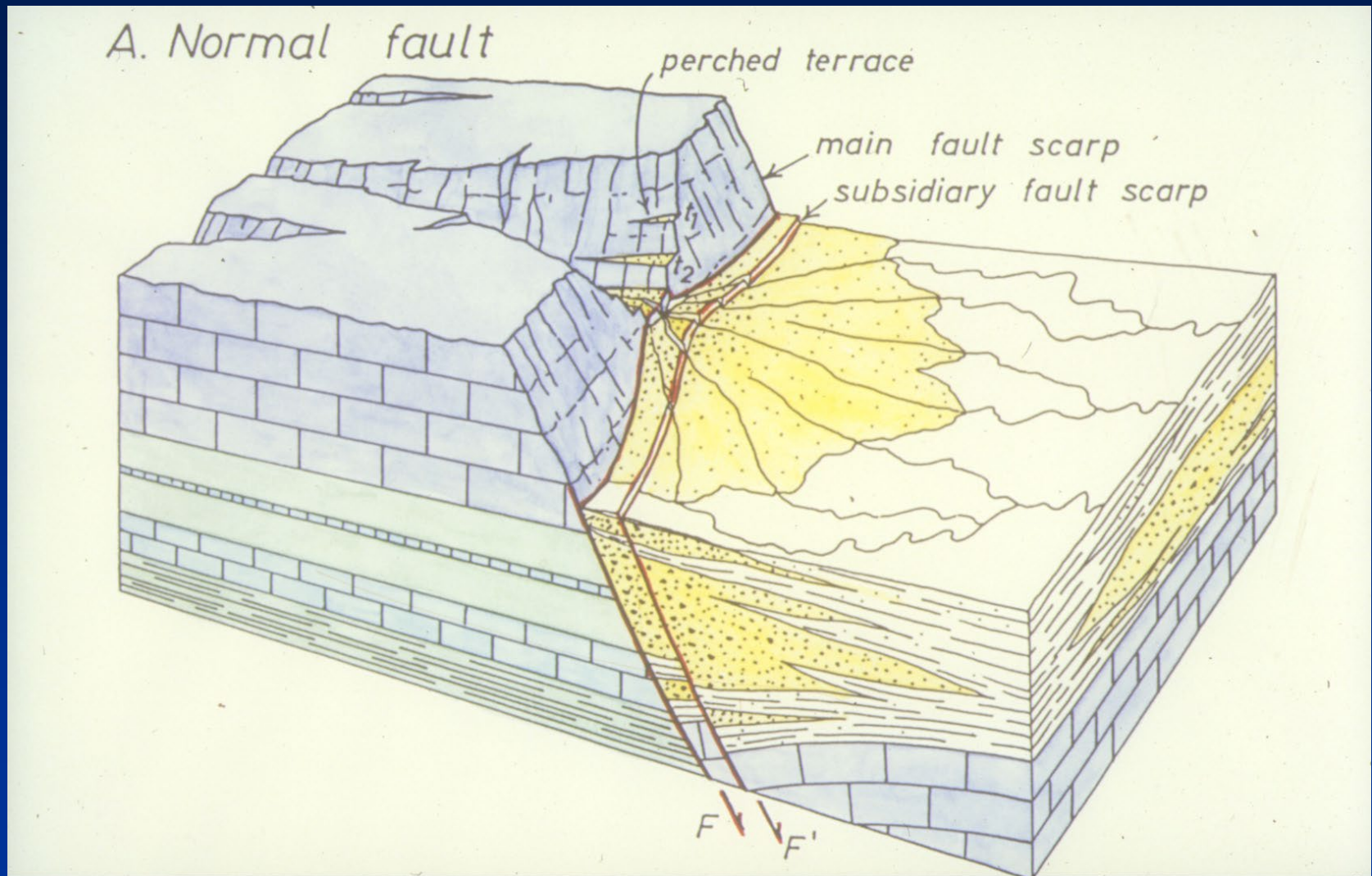


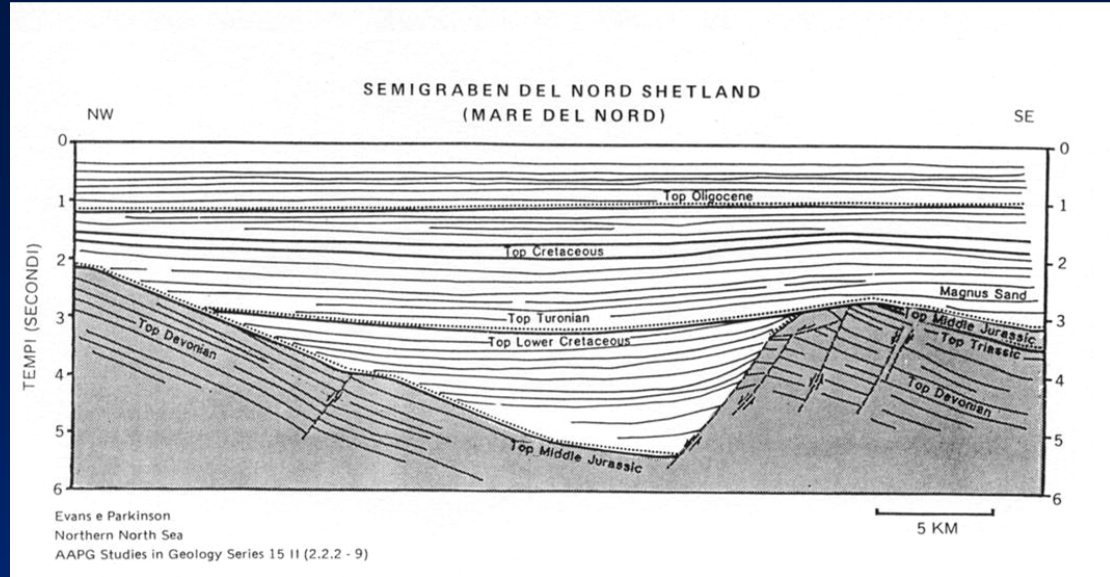


Da van der Pluijm & Marshak, 2004



Faglia normale associata ad erosione (letto) e deposizione (sul lembo di tetto). La forma del bacino sedimentario e la stratigrafia dei depositi è controllata dalla attività della faglia

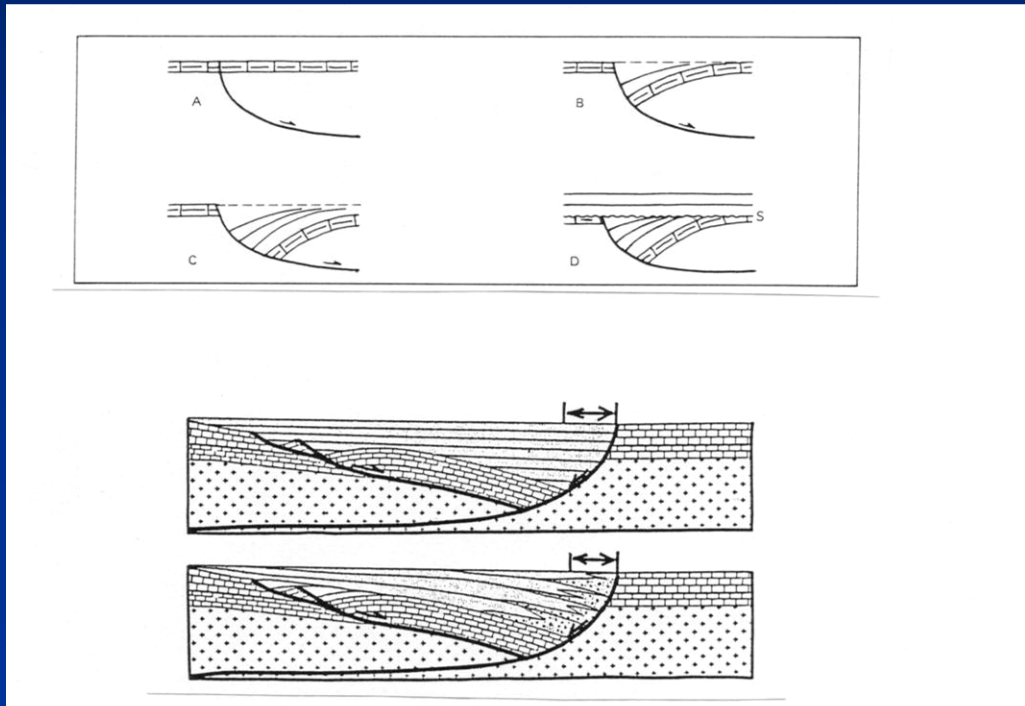




Velocità di attivazione della faglia elevata, basso tasso di sedimentazione

Da Bally et al., 1985

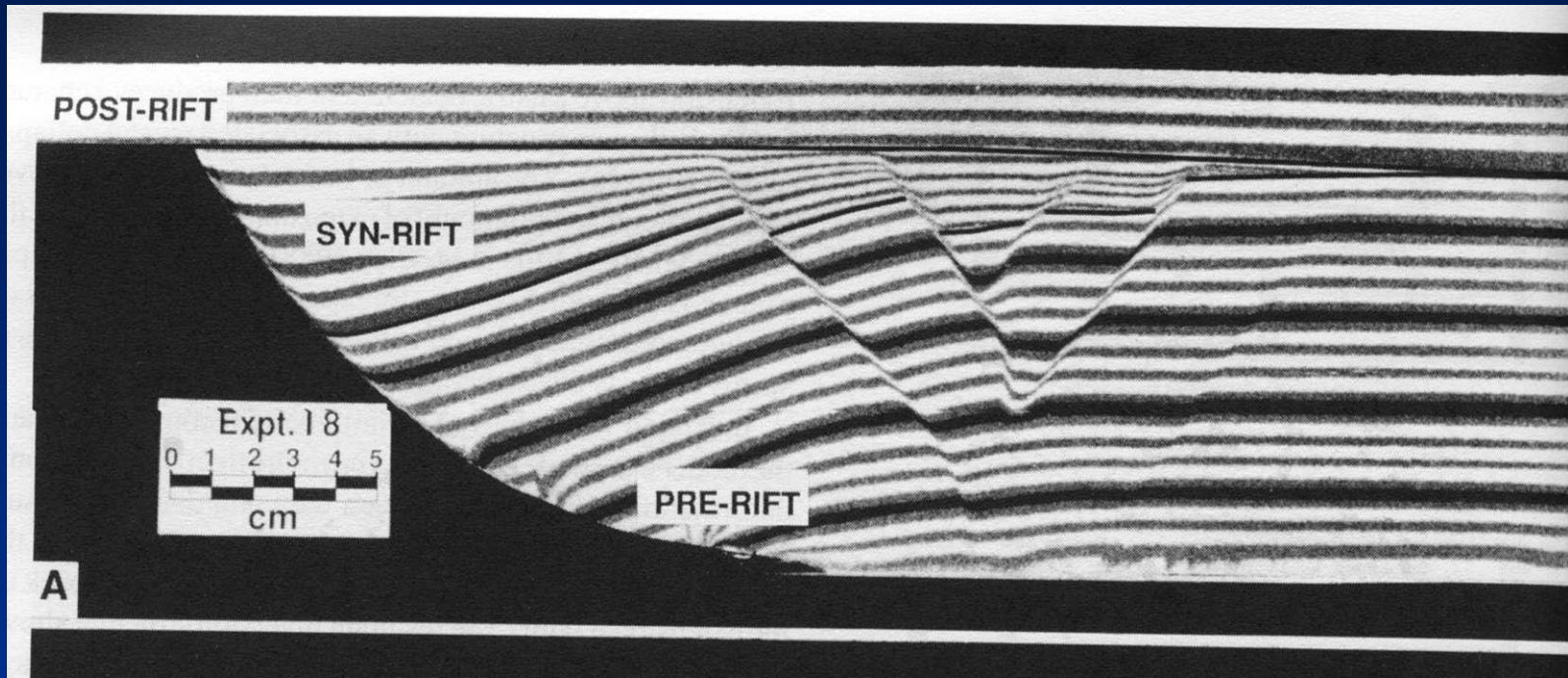
Tasso di sedimentazione elevato, movimento della faglia protratto nel tempo.



I due casi precedenti a confronto

Da Bally et al., 1985

Depositi di pre-, sin- e post-rift.



Da Buchanan & McClay, 1991